

UNIVERSIDAD NACIONAL AUTONOMA DE MEXICO
FACULTAD DE QUIMICA

USO INDUSTRIAL DE COMPRESORES

MONOGRAFIA
QUE PARA OBTENER EL TITULO DE
INGENIERO QUIMICO
P R E S E N T A

MANUEL ALBA GAMIO

MEXICO, D. F.

1968



UNAM – Dirección General de Bibliotecas

Tesis Digitales
Restricciones de uso

DERECHOS RESERVADOS ©
PROHIBIDA SU REPRODUCCIÓN TOTAL O PARCIAL

Todo el material contenido en esta tesis está protegido por la Ley Federal del Derecho de Autor (LFDA) de los Estados Unidos Mexicanos (Méjico).

El uso de imágenes, fragmentos de videos, y demás material que sea objeto de protección de los derechos de autor, será exclusivamente para fines educativos e informativos y deberá citar la fuente donde la obtuvo mencionando el autor o autores. Cualquier uso distinto como el lucro, reproducción, edición o modificación, será perseguido y sancionado por el respectivo titular de los Derechos de Autor.

	PRESIDENTE	I.Q. GUILLERMO COSTINA ANCIGLA
	VOCAL	I.Q. MARIO VELASCO MEGUANEME
JURADO AUTORIZADO ORIGINALMENTE	SECRETARIO	I.Q. JUANNE M. MARTINEZ GARCIA
	1er SUPLENTE	I.Q. GUILLERMO CARMOLIO PACHECO
	2do SUPLENTE	I.Q. ENRIQUE ALAMON MORELLO

SACIO DOMINGO DEL CUAQUERO EL TECATI CONSIGUE LA DIA PROYECTADA DE PESQUERIA

MANTUEL ALBA GANJO

AERONAUTICA MEXICANA

SUPERVISOR TECNICO J. G. DIRECTOR MIGUEL DIAZ

A mis padres

Lic. Carlos E. Alba

Sra. Margarita Camilo de Alba

A los Ingenieros Químicos

**Guillermo Cortina
Jorge Ned Martínez
Héctor Marcone**

USO INDUSTRIAL DE COMPRESORES

- I Diferentes tipos de compresores.
- II Compresores rotativos.
- III Compresores axiales y de desplazamiento positivo.
- IV Compresores centrífugos.
- V Componentes de colección de compresores.
- VI Constantancia.
- VII Bibliografía.

INTRODUCCION

Los compresores tienen el objeto de reducir el volumen de un gas o vapor, por medio de un incremento de presión.

Los compresores pueden ser accionados por motores eléctricos, máquinas de combustible térmico, turbinas de gas o de vapor.

Despues de la electricidad, el aire comprimido es el servicio que tiene mayor variedad de uso industrial. Para los procesos gaseosos tales como separaciones etra-líquido, hidrogeación, etc. que requieren gases diversos y altas presiones, los compresores son elementos indispensables que requieren de un estudio de diseño completo y exhaustivo.

El aire comprimido es usado para accionar todo tipo de herramientas neumáticas, tales como martillargas, barrenos, prensas, etc.

Esta monografía es el intento para mostrar una visión amplia de la importancia de los compresores, mediante la descripción, fundamentos, características y factores de cálculo y selección de los tipos más conocidos industrialmente.

I) Diferentes tipos de Compresores.

Los compresores se pueden agrupar en tres tipos:

- a) Compresores reciprocatos.
- b) Compresores axiales y de desplazamiento positivo.
- c) Compresores centrífugos.

a) Los compresores reciprocatos son los más antiguos y sencillos, y constan de un cilindro, un émbolo, una biela y el cigüeñal y comprimen por un movimiento de valván del émbolo. Este tipo de compresores son de desplazamiento positivo.

b) Los compresores axiales se denominan así, porque en ellos el flujo del gas es en la dirección del eje. Estos compresores operan por un aumento de la velocidad del gas en cantidad.

c) Los compresores centrífugos son aquellos que aumentan la velocidad del gas en cantidad, pero en dirección radial.

Los compresores de desplazamiento positivo son aquellos en los cuales a un movimiento de la parte compresora, ocurre un desplazamiento de volumen, con un aumento de presión, hasta llegar al punto de ruptura del metal, en caso de no haber los dispositivos de seguridad adecuados.

Equipo auxiliar de protección para sistemas de compresión.

Cualquier sistema de compresión, por más eficiente y seguro que sea, puede ser peligroso si no está protegido debidamente. Se debe instalar un equipo de accesorios adecuados para detectar un funcionamiento deficiente, evitar accidentes serios y reducir costos de mantenimiento.

Los accesorios más importantes son los cambiadores de calor o enfriadores, los enfriadores de tuberías, el recipiente de aire, las válvulas de seguridad, los filtros de aire y de aceite y el refrigerante de agua.

El cambiador de calor es uno de los accesorios más importantes en un sistema de compresión y tiene por objeto secar el aire comprimido, enfriándolo debajo del punto de rocío, eliminando el agua por condensación.

ación. Esta acción del cambiador también reduce la condensación en el sistema de distribución.

Además de reducir la humedad, el cambiador puede considerarse un dispositivo de seguridad. Es conocido que el carbón acumulado en las paredes interiores se hace incandescente y se incendie, el fuego será extinguido en el momento de entrar el cambiador. Esto excluye la posibilidad del punto del fuego al recibidor de aire, donde el hay peligro debido al aceite que puede existir. Por este mismo, el cambiador deberá instalarlo lo más cerca posible del compresor. En el caso de instalar una válvula automática, esta deberá estar en un lugar interior, pues en un lugar exterior existe la posibilidad de que se congele el agua de crecida y esto impedirá que funcione la válvula automática.

Enfriadores de tuberías. Los enfriadores de tuberías se han venido usando últimamente en compresores pequeños y medianos. Estos enfriadores no siempre se han instalado con derivación, debido a su fácil limpieza y mantenimiento.

Recibidor de aire. El recibidor de aire tiene por objeto que el aire comprimido fluya uniformemente a través de las líneas, reduciendo las pulsaciones. También sirve para separar la humedad que el aire tiene. Por este mismo, se instala una válvula de drenaje, manual o automática. La humedad puede causar serios daños dentro de un cilindro de alta presión.

Filtro de aire. Es muy importante instalar un filtro de aire adecuado con el objeto de evitar la entrada de arena, basura, polvo y de otras impurezas que dañan las partes internas del cilindro y las válvulas del compresor.

Filtro de aceite. Es importante instalar este filtro en cualquier sistema de compresión, para evitar contaminación del aire comprimido.

Válvulas de seguridad. El recibidor de aire, los inter-enfriadores y la línea de descarga deberán ser equipados con válvulas de seguridad para evitar sobrepresiones en el equipo. Los post-enfriadores que estén instalados en la línea no requieren válvulas de seguridad, siempre y cuando estén instalados cerca del recibidor, estando protegidos por la válvula del mismo.

Nunca se deberá instalar una válvula de cierre entre el postenfri-

ader y el recubridor, y si se deberá instalar entre el compresor y el postenfriador, siendo esta última parte de la derivación.

Refrigerante de agua. Con el objeto de tener agua de enfriamiento a la temperatura deseada, se debe instalar un termostato combinado con resistencia. Es importante que la temperatura del agua no sea mayor de 15°F (6°C) arriba de la temperatura de entrada del aire, pues de otro modo, se formaría humedad dentro del cilindro, evitando una lubricación correcta.

Sobrevelocidad. Los compresores accionados por motores de combustible interno, turbinas y engranajes de vapor, deberán estar equipados con un generador de control de carga, y en caso de que esto falle, deberá tener un equipo para criticar altas velocidades, pues estas son muy perjudiciales.

Cálculo de la potencia de compresión.

La potencia de compresión de un gas se puede calcular muy fácilmente por la diferencia de entalpías, las que se leen en un Diagrama Mollier, pero no siempre es posible disponer de este diagrama, por lo tanto este método es poco usado.

La potencia se calcula por la siguiente ecuación:

$$P = \frac{W_{\text{net}}}{\eta_{\text{comp}}} (h_2 - h_1)$$

donde h_2 = entalpía de descarga.

h_1 = entalpía de succión.

Potencias y eficiencias de los compresores.

La potencia al freno es la requerida en la flecha del compresor, y se determina con un freno de Prony. La ecuación que da la potencia al freno es:

$$P_F = 2 \pi r F N$$

donde r = distancia del centro de la polea al dinamómetro.

F = fuerza registrada en el dinamómetro.

N = velocidad de la polea en rpm.

$F = F_1 - F_2$ = fuerza neta.

F_1 = fuerza del freno en funcionamiento

P_i = Poder en el motor

La potencia indicada del compresor se mide con un indicador de Watt, que es un instrumento de precisión, el cual traza mecánicamente en diagrama PV, obteniéndose bastante exactitud en la medición. La potencia indicada es una cifra que la potencia al freno.

Una vez trazado el diagrama PV (fig. 1), se calcula el área del mismo y como se expone la longitud, se puede entonces determinar la altura del cilindro. Esta altura se corresponde a una presión media indicada.

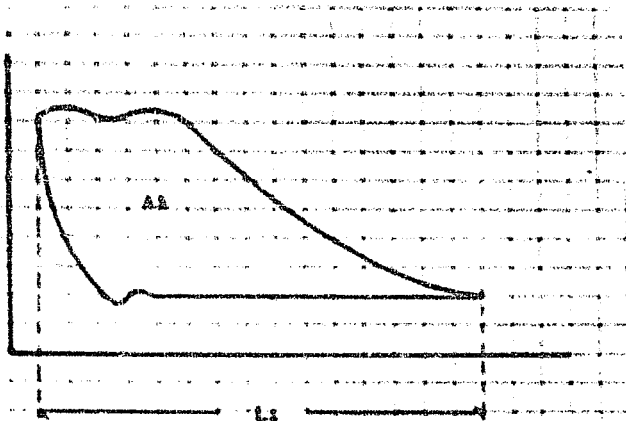


FIG. 1

A_1 = Área indicada

L_1 = Longitud del diagrama

$$b = \frac{A_1}{L_1} = \text{Altura media indicada}$$

Es necesario conocer el módulo del indicador.

Las unidades del módulo son $F \cdot L^{-3}$

Las ecuaciones para calcular la potencia indicada son:

$$P_i = p_i L A N$$

$$P_i = g \frac{A_1}{L_1} v_D N$$

donde P_i = potencia indicada.

P_i = presto media indicada.

L = longitud del cilindro.

A = área del cilindro.

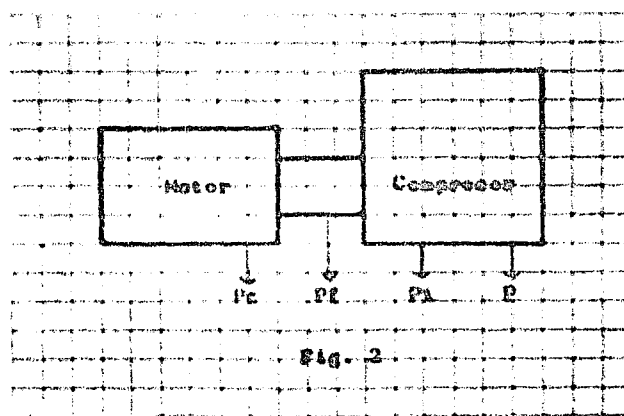
n = rpm.

σ = número.

V_d = volumen desplazado.

Cuando se tenga que calcular la potencia indicada en un compresor recíproco de doble efecto, se debería hacer dos mediciones con el indicador, una de cada lado y cuadre, pese en el lado del vástago o á menor el volumen desplazado y también el área indicada.

En un compresor accionado por un motor (fig. 2), tendríase que la potencia ideal de compresión será la menor y que la potencia combinada será la mayor. En las máquinas de combustión interna sucede inversamente, la potencia ideal es la mayor.



También tenemos las eficiencias, que son cocientes de potencias.

$\eta_p = \frac{\text{Potencia útil}}{\text{Potencia al freno}}$ • Eficiencia mecánica

$\eta_{mc} = \frac{\text{Potencia útil}}{\text{Potencia combinada}}$ • Eficiencia mecánica combinada

$\eta_c = \frac{\text{Potencia útil}}{\text{Potencia restante}}$ • Eficiencia de compresión

$\eta_{at} = \frac{\text{Potencia útil}}{\text{Potencia aditabática}}$ • Eficiencia de compresión aditabática

$\eta_{cf} = \frac{\text{Potencia útil}}{\text{Potencia al freno}}$ • Eficiencia de compresión al freno

$\eta_{cc} = \frac{\text{Potencia útil}}{\text{Potencia combinada}}$ • Eficiencia de compresión combinada

II) Compresores reciprocatos.

El compresor reciprocativo (fig. 3) es una máquina de desplazamiento positivo que aumenta la presión de un volumen definido de gas, reduciendo al mismo tiempo el volumen del mismo.

El compresor es accionado por un motor, mediante una biela que transfiere el movimiento angular del motor en un movimiento de vaivén.

El compresor puede ser de simple y doble efecto, si se que comprime por una o por las dos lados del émbolo.

El compresor puede ser de un paso o de varios pasos, esto es, si después de haber comprimido el gas en cuestión, este se lleva a otro cilindro, de volumen menor que el anterior y se efectúa una segunda compresión de la misma masa gaseosa.

Los distintos pasos de compresión pueden estar en paralelo o en tandem, según sea la posición de los pistones.

Este tipo de compresores presenta la desventaja de las vibraciones mecánicas y acústicas, las cuales siempre han sido un problema. Las vibraciones mecánicas son debidas al movimiento de vaivén del émbolo y a la rotación del cigüeñal. Las vibraciones acústicas son debidas a las pulsaciones de presión originadas en las tuberías conectadas a los sistemas de compresión reciprocativo. Las vibraciones acústicas abarcan la gama de 0 - 100 ciclos por segundo. Aunque las vibraciones se pueden minimizar mediante un diseño adecuado, suelen aparecer en los sistemas de compresión.

El funcionamiento del compresor se puede apreciar en el diagrama PV (fig. 4).

Se tiene:

- 1 - 2 Compresión del gas (adiabática o politrópica).
- 2 Se abre la válvula de descarga.
- 2 - 3 Descarga (isobárica).
- 3 Se cierra la válvula de descarga.
- 3 - 4 Expansión de los gases del claro (adiabática o politrópica).
- 4 Se abre la válvula de admisión.
- 4 - 1 Admisión (isobárica).
- 1 Se cierra la válvula de admisión.
- Se repite el ciclo.

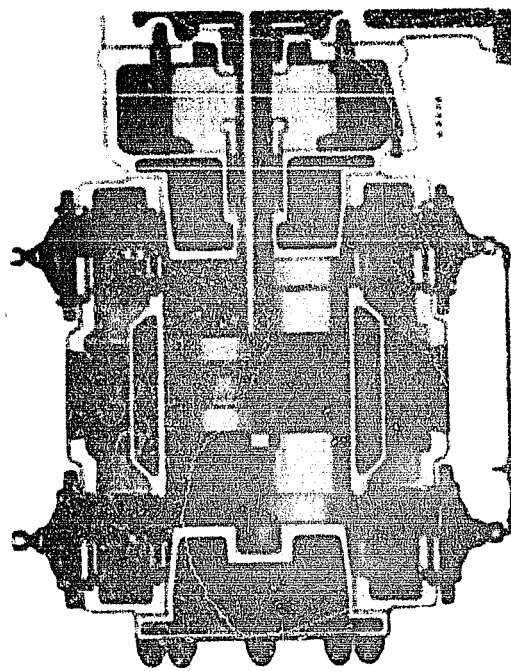


Fig. 3

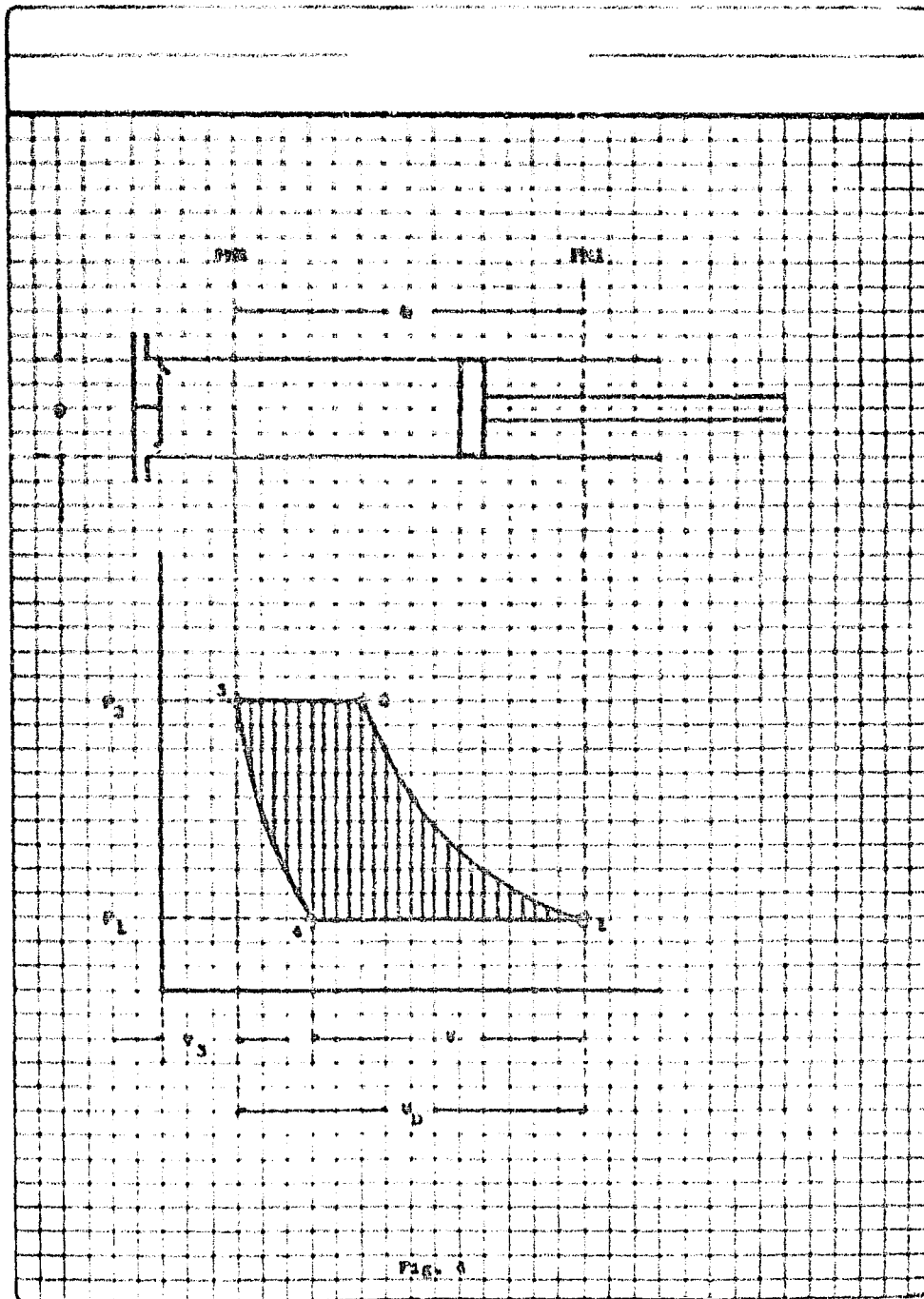


FIG. 3

En la figura 4 se tiene que:

V = volumen admitido.

V_D = volumen desplazado.

V_3 = volumen del clavo.

P_1 = presión de succión.

P_2 = presión de descarga.

En un compresor rectificante, los conceptos más importantes son:

1.- El volumen desplazado.

2.- El volumen admitido.

3.- La eficiencia volumétrica.

4.- La potencia al freno.

1.- El volumen desplazado es el volumen neto del cilindro. En un compresor de varios pasos el volumen desplazado es el del primer paso e igual para los demás pasos. El volumen desplazado está dado por la ecuación:

$$V_D = (\pi/4) D^2 L$$

El volumen desplazado por unidad de tiempo es el volumen del cilindro multiplicado por la velocidad de la máquina y multiplicado además por dos en caso de ser la máquina de doble efecto:

$$V_D = (\pi/4) D^2 L N$$

2.- El volumen admitido es el volumen real de gas que maneja el compresor y se expresa normalmente en pies cúbicos o litros por minuto a las condiciones de entrada del compresor. Si volumen admitido es menor que el volumen desplazado debido a que el gas comprimido que queda en el clavo de la máquina se expande hasta la presión de succión.

3.- La eficiencia volumétrica es la relación del volumen admitido entre el volumen desplazado.

4.- La potencia al freno está explicada en el capítulo anterior.

Aspecto termodinámico del compresor. No obstante que el cilindro tiene una canica de enfriamiento, ya sea por agua o por aire, es usual considerar la compresión como un proceso adiabático reversible, o sea, un proceso sin cambio de calor o lo que es lo mismo, isentropíco.

Entonces, la compresión y la expansión siguen la ley de:

$$PV^k = \text{constante} \quad n = \frac{P_2}{P_1} = \frac{V_1}{V_2}$$

donde n es el exponente adiabático igual a la relación de los calores del gas.

En un proceso polítrópico, la compresión y la expansión siguen la ley de:

$$PV^n = \text{constante} \quad n = \frac{\log(P_2/T_2)}{\log(V_2/V_1)} = \frac{\log(P_2/P_1)}{\log(T_2/T_1)} = \frac{\log(P_2/P_1)}{\log(T_2/T_1)}$$

La relación de compresión es igual a la relación de descarga entre la presión de succión. Este término es diferente en compresores y máquinas de expansión latentes, pues en estos no la relación de los volúmenes del cilindro.

La relación del volumen del espacio muerto entre el volumen desplazado se conoce como relación del clavo

$$C = \frac{V_3}{V_0}$$

La eficiencia volumétrica en función del clavo es :

$$\eta_v = 1 - (r^{\frac{1}{C}} - 1) C \quad \text{donde } r \text{ es la relación de compresión.}$$

Prácticamente se puede calcular la eficiencia volumétrica real dada por la ecuación:

$$\eta_v = 0.97 - (r^{\frac{1}{C}} - 1) C - L$$

En esta ecuación el valor de 1.00 ha sido reducido a 0.97 con el objeto de corregir inefficiencias, tales como un llenado incompleto del cilindro durante la succión. El valor de L es una corrección práctica para las condiciones de una aplicación particular que afectan a la eficiencia volumétrica para la cual la ecuación ideal sea insuficiente.

En caso de tener altas presiones dentro del cilindro, habrá ligeramente pequeñas fugas de gas y por este mismo se deberá corregir el factor L .

También servirá este factor en el caso de usar gases ligeros, tales como hidrógeno, helio y otros, para los cuales será más difícil sellar el cilindro. Lo mismo sucede en el caso de un compresor no lubricado donde el pistón tenga anillos de carbón o teflón y no sea

posible sellar completamente.

El valor de ϵ varía con cada aplicación, pero se le puede considerar como 0.01 para compresores lubrificados y como 0.07 para compresores no lubrificados.

La eficiencia volumétrica será diferente para cada gas.

La eficiencia volumétrica disminuye con el valor de n y aumenta con la relación de compresión. Cada la eficiencia volumétrica disminuye cuando el cloro aumenta, cuando se trate de bombas de vacío, se deberá hacer lo posible para disminuir el valor del cloro a un mínimo.

No importa conocer la presión máxima que se pueda obtener con un compresor, la cual depende del cloro y del exponente polítrópico

$$P_{max} = P_1 \left(\frac{V_1}{V_2} \right)^{\frac{n-1}{n}}$$

esto se da en que la curva de compresión llegará a coincidir con el volumen del espacio suerto y ya no se podrá obtener una presión mayor (fig. 5).

La temperatura final de compresión de un gas se calcula por las ecuaciones:

$$T_2 = T_1 \left(\frac{P_2}{P_1} \right)^{\frac{n-1}{n}} \quad T_2 = T_1 \left(\frac{V_1}{V_2} \right)^{\frac{n-1}{n}}$$

La temperatura de salida de los gases se puede leer rápidamente en la gráfica 1, y también en los diagramas temperatura entropía específicos para cada gas.

La potencia de compresión se calcula por las siguientes ecuaciones:

$$P = \frac{Q}{H} n \frac{n}{n-1} (T_2 - T_1) \quad P = \rho V \frac{n}{n-1} \left(r^{\frac{n-1}{n}} - 1 \right)$$

el factor $\frac{n}{n-1} (r^{\frac{n-1}{n}} - 1)$ se puede leer rápidamente en la gráfica 2.

El volumen de descarga se calcula por la ecuación:

$$V_2 = \frac{V_1}{r^{\frac{n-1}{n}}}$$

El diagrama real de un compresor reciproco se obtiene con un indicador de Watt (fig. 6).

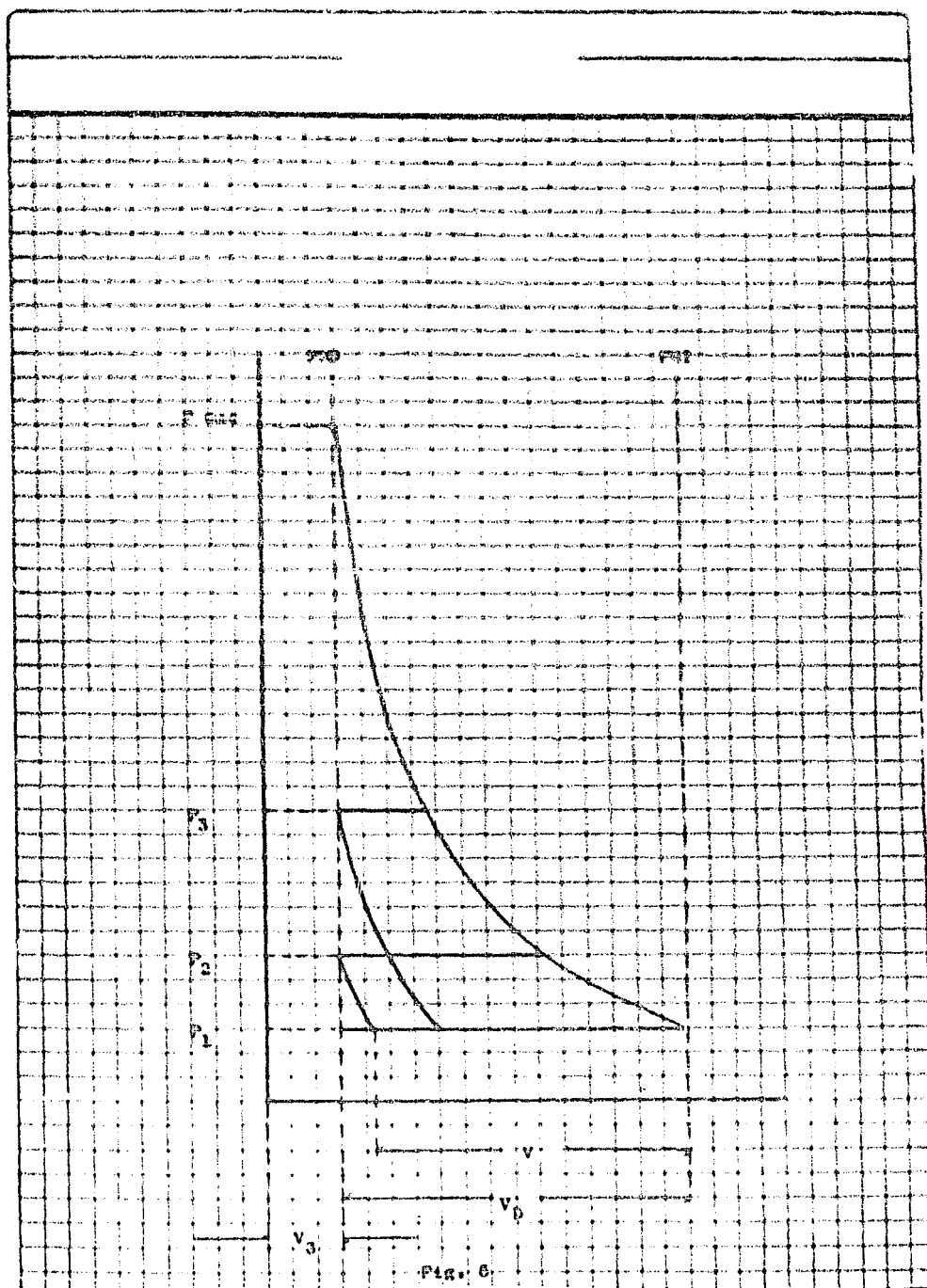


FIG. 6

~~Verdadera per fricción~~

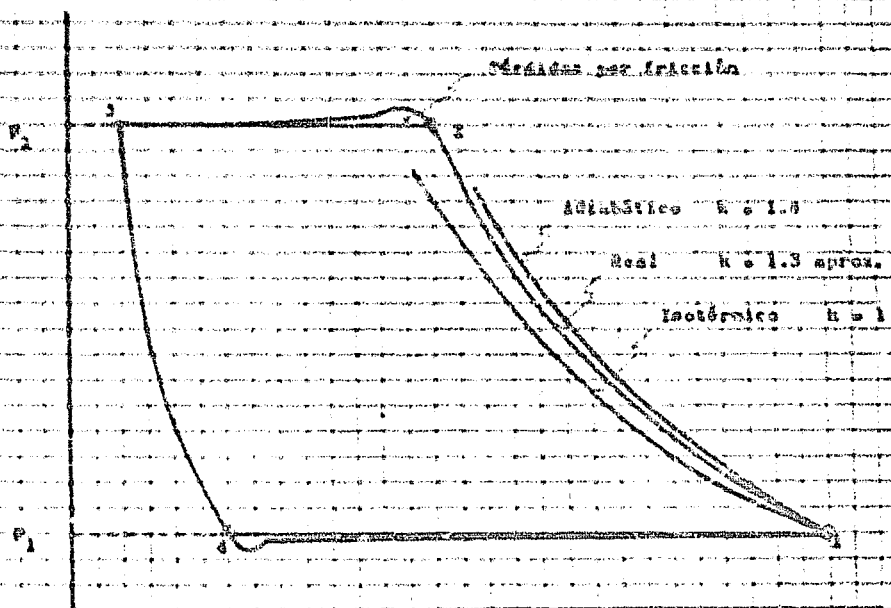


Fig. 8

Compresión múltiple. La compresión múltiple o escalonada consiste en hacer pasar la misma masa de gas a través de un segundo y tercer cilindro y a veces más, si es necesario (fig. 7), para obtener una presión más alta. Cuando el gas sale del primer paso, se deberá hacer pasar por un intercambiador, con el objeto de enfriar el gas hasta la temperatura de entrada al primer paso, para obtener un ahorro de trabajo. Así mismo, se obtendrá un ahorro por el enfriamiento en la cierre del cilindro.

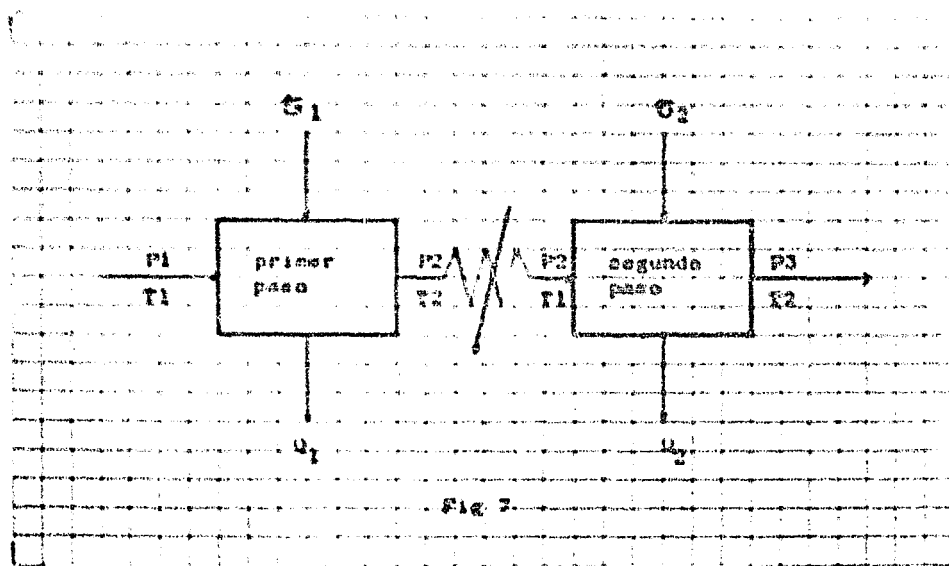


Fig. 7.

Las potencias para los diferentes pasos están dadas por las siguientes ecuaciones:

$$P_1 = \frac{n \cdot m \cdot R}{(1-\alpha) \cdot M} \cdot T_1 \left[\left(\frac{P_2}{P_1} \right)^{\frac{n-1}{n}} - 1 \right]$$

$$P_2 = \frac{n \cdot m \cdot R}{(1-\alpha) \cdot M} \cdot T_1 \left[\left(\frac{P_3}{P_2} \right)^{\frac{n-1}{n}} - 1 \right]$$

el subíndice 1 indica las condiciones de entrada al primer paso,
el subíndice 2 indica las condiciones de salida del primer paso,
el subíndice 3 indica las condiciones de salida del segundo paso.

Para que la potencia suministrada sea mínima, la presión

intermedia deberá ser la media geométrica de la presión inicial y de la final, entonces para dos pasos se tendrá:

$$P_2 = P_1 P_3$$

Para el caso de tres pasos se tendrá:

$$\frac{1}{3} \sqrt[3]{\frac{1}{3}} \\ P_2 = P_1 P_3$$

donde P_1 = presión de succión del primer paso

P_3 = presión final de salida.

Para el caso de tener un número mayor de pasos se tendrá:

$$P_N^N = P_1^{N-n} P_f^n$$

donde N = número total de pasos

n = número del paso a cuya salida se quiere calcular la presión.

De este modo, se tendrá que la potencia requerida para el primer paso será igual a la de cada uno de los otros pasos.

Igualmente, el calor que se debe quitar en el primer paso, es el que se tiene que quitar en cada uno de los otros pasos.

El calor quitado en el intercambiador es:

$$Q = m cp (T_2 - T_1)$$

El calor quitado en la caja se:

$$Q = m cv \frac{k-a}{1-a} (T_2 - T_1)$$

En la figura 6 se puede apreciar que el volumen desplazado del segundo paso coincide con la isotermia que pasa por el volumen desplazado del primer paso y por la presión inicial, por lo tanto, dicho volumen se podrá calcular por la ley de Boyle:

$$V_{D2} = V_{D1} \frac{P_1}{P_2}$$

$$V_{D3} = V_{D2} \frac{P_2}{P_3}$$

V_1 = volumen desplazado del primer paso.

V_2 = volumen desplazado del segundo paso.

Interior

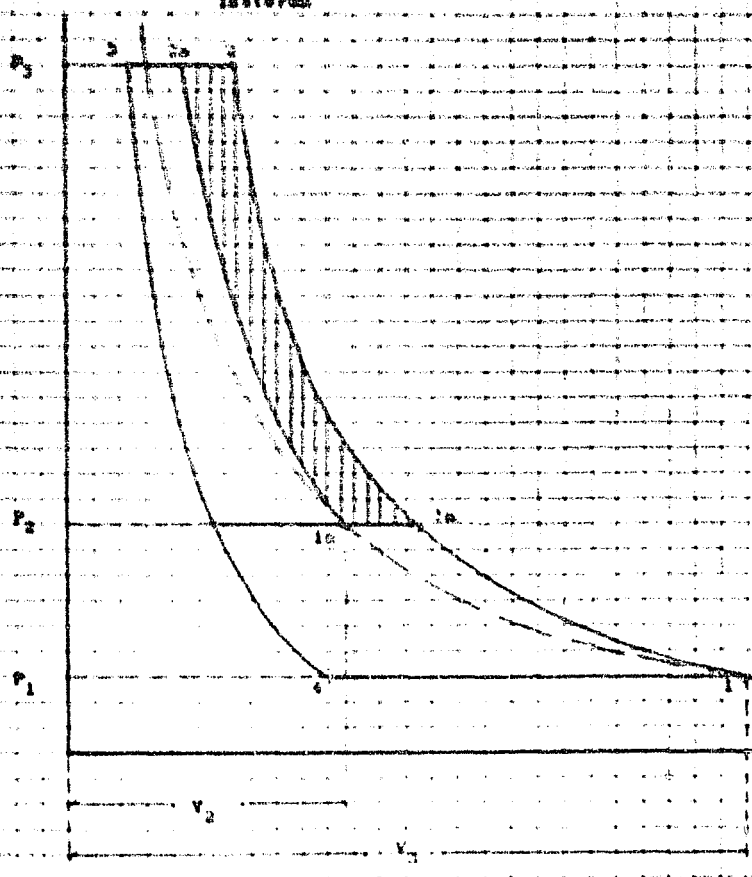


FIG. 8

$$T_{Dn} = T_{Dn-1} \frac{P_1}{P_n}$$

Igualmente se puede apreciar el ahorro de trabajo por haber efectuado una compresión múltiple. En este caso, el ahorro se debe al interenfriador y está representado por el área 1a-2-2a-1b.

En la figura 6 se puede apreciar el trabajo de compresión, así como las pérdidas por fricción y el ahorro debido al enfriamiento en los canales y en los interenfriadores.

En la figura 6, el punto 1 corresponde a la temperatura de succión del primer paso y el punto 1b corresponde a la temperatura de succión del segundo paso, lo cual deberá ser lo mismo que en 1, y esto se puede lograr con un buen refrigerante. La compresión en el primer paso es 1-a y en el segundo paso es 1b-2a. El gas sale del interenfriador en el punto 1b y se lleva al segundo paso.

Más allá del ahorro de trabajo, existen otras ventajas en la compresión múltiple, tales como la eliminación, debido a los interenfriadores, de los problemas de lubricación, depósitos de carbón y calentamiento excesivo, disminuyendo los riesgos de una explosión.

Existe la ventaja de que se reduce la presión diferencial entre los cilindros, disminuyendo las cargas y prestaciones que soportan las válvulas y los anillos, aumentando la vida útil de los mismos.

También, la compresión escalonada reduce algunas veces el diámetro y la longitud de los cilindros, obteniéndose así una disminución en el costo de la máquina y en su mantenimiento.

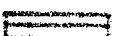
No obstante, se tiene la desventaja algunas veces, de que al aumentar el número de los cilindros, el efecto del aumento de presiones puede aumentar las pérdidas en las válvulas y anillos, y estas pérdidas equivaldrán al trabajo ahorrado por haber aumentado el número de los cilindros. Así, se tendrá que para ciertas condiciones es más efectivo el uso de seis pasos que el de siete pasos, aunque esto sucede pocas veces.

Sucede que a presiones altas, aproximadamente a 60 atmósferas, los gases ya no se comportan según la ecuación general del estado gaseoso, pues el volumen disminuye en proporción diferente.

A esta desviación se la conoce como factor de compresibilidad.

 Trabajo desarrollado por intercambio

Trabajo desarrollado por intercambio per intercambiadore

 Trabajo desarrollado per el enfrumento en los contactos

deslizante

Trabajo per frotis

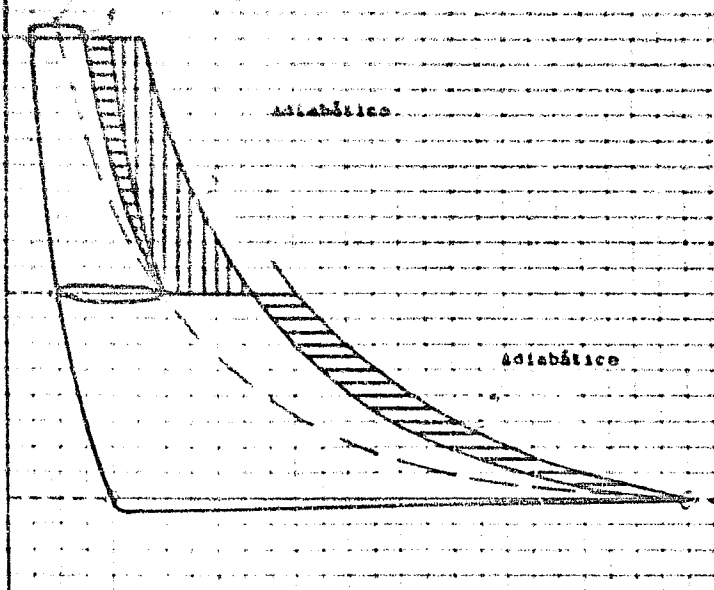


Fig. 9

y se expresa con el símbolo Z.

La ecuación general del estado gaseoso quedará entonces:

$$\frac{P_1}{T_1} \frac{V_1}{Z_1} = \frac{P_2}{T_2} \frac{V_2}{Z_2}$$

$$Z = \frac{P_1 V_1}{RT_1}$$

El factor de compresibilidad es pues, una corrección que se puede aplicar con exactitud a cualquier gas o mezcla de gases. El valor de Z puede ser mayor o menor que la unidad.

Una forma sencilla de obtener el valor de Z, es por medio de la ley de los estados correspondientes. Esta ley indica dicho valor por medio de la presión y temperatura actuales del gas y también por medio de las constantes críticas de dicho gas, o dicho de otra forma, por medio de las constantes reducidas del gas. Así pues, se tendrá:

$$Z = \frac{P_r}{P_c}$$

$$Z = \frac{T_r}{T_c}$$

donde los subíndices r indican las constantes reducidas y los subíndices c indican las constantes críticas.

La temperatura crítica es la temperatura misma a que se puede licuar un gas.

La presión crítica es la presión requerida para licuar un gas, a su temperatura crítica.

Cuando varios gases se encuentran a diferentes condiciones de presión y temperatura, pero tienen las mismas constantes reducidas, los valores de Z serán iguales para estos gases.

Las constantes críticas se encuentran en la literatura técnica relativa.

El valor de Z se puede leer con bastante exactitud en las gráficas 3, las cuales tienen graficadas líneas de temperatura reducida en un diagrama presión reducida contra valores de Z.

También se puede leer el valor de Z en las gráficas , las cuales son específicas para cada gas.

El valor de Z se deberá leer a las condiciones de succión y descarga de cada paso.

El valor de Z va a afectar:

- a) El volumen admitido.
- b) La eficiencia volumétrica.
- c) La potencia al freno.

En las figuras 10 y 11 se puede apreciar el efecto producido por Z cuando es menor y mayor que la unidad y en la figura 12 cuando es la desviación extrema y mayor que la unidad. Los diagramas ideales son los I-C-S-t y los diagramas reales son los I-dn-S-ta.

La eficiencia volumétrica quedaría entonces como:

$$\eta_v = 0.07 \cdot \left(\frac{Z}{\frac{Z_1}{Z_2}} - 1 \right) C + L$$

donde el subíndice 1 es en la succión y el subíndice 2 es en la descarga.

El volumen final se calcula por la ecuación:

$$V_2 = \frac{V_1}{\left(\frac{P_2}{P_1} \right)^{\frac{1}{Z}} \frac{Z_2}{Z_1}}$$

En el caso de tener una mezcla de gases, el factor de compresibilidad se puede calcular por medio de las constantes pseudo-reducidas, las cuales se calculan como sigue:

$$P_{pr} = z_1 P_{r1} + z_2 P_{r2} + \dots$$

$$T_{pr} = z_1 T_{r1} + z_2 T_{r2} + \dots$$

donde z_1 , z_2 son las fracciones mol de los componentes gaseosos.

El valor de Z para estos casos, se puede leer en la gráfica 5, en donde están graficadas líneas de presión pseudo-reducida en un diagrama temperatura pseudo-reducida contra valores de Z.

Cuando se tengan gases de bajas constantes críticas, tales como el hidrógeno y el helio, entonces será preferible usar las condiciones reducidas modificadas, según las ecuaciones:

FIG. 12

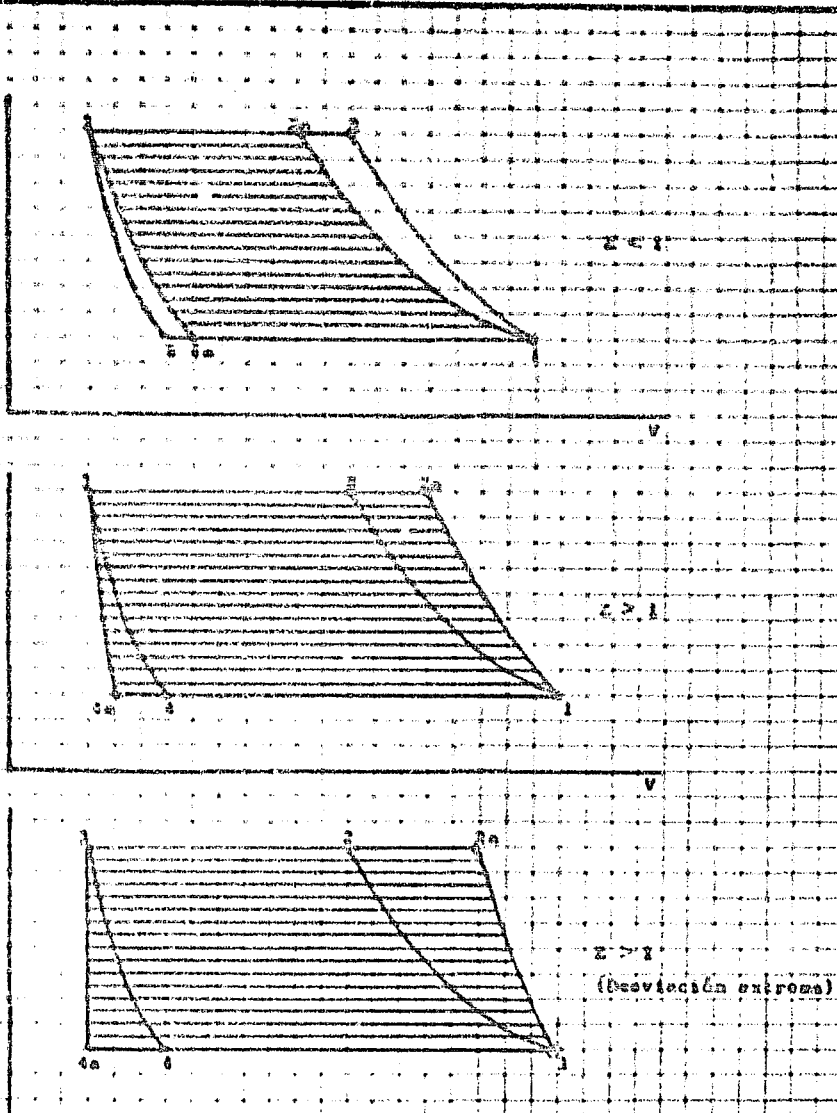


FIG. 11

$x > 1$

$y > 1$

$x > 1$

(Desviación extrema)

V

$$T_R = \frac{T}{T_0 + 273.15} \quad \text{si } T \text{ en } ^\circ\text{C} \quad T_R = \frac{T}{T_0 + 273} \quad \text{si } T \text{ en } ^\circ\text{K}$$

$$P_R = \frac{P}{P_0 + 101325} \quad \text{si } P \text{ en } \text{mbar} \quad P_R = \frac{P}{P_0 + 101} \quad \text{si } P \text{ en atm}$$

El factor de compresibilidad de una mezcla se puede calcular también por medio de las siguientes ecuaciones:

$$T_{\text{mezcla}} = T_{\text{el}} F_1 + T_{\text{es}} F_2 + \dots$$

$$P_{\text{mezcla}} = P_{\text{el}} F_1 + P_{\text{es}} F_2 + \dots$$

La ecuación de la potencia quedará corregida por el factor de compresibilidad como sigue:

$$P = \frac{P}{f-1} \cdot \frac{P_1 V}{P_1 - 1} \left[\left(r^{\frac{n-1}{n}} - 1 \right) (r - f) + \frac{(n-1)(f-1)}{2n-1} \left(r^{\frac{2n-1}{n}} - 1 \right) \right]$$

$$\text{donde } f = \frac{P_2}{P_1}$$

La diferencia del valor obtenido con la ecuación anterior y el obtenido con la ecuación de potencia ideal es una desviación y está dada por:

$$D = \frac{P_{\text{gas real}} - P_{\text{gas ideal}}}{P_{\text{gas ideal}}}$$

$$p_{\text{gas real}} = (1 + D) p_{\text{gas ideal}}$$

La desviación D estará dada por la ecuación:

$$D = (f - 1) \left[\frac{\frac{n-1}{n} r^{\frac{n-1}{n}} f(r-1) - 2n - 1}{(2n-1)(r-1)(r^{\frac{2n-1}{n}} - 1)} \right] \quad D = (f - 1) C$$

A Así pues, la potencia real está dada por la ecuación:

$$P_{\text{real}} = P_{\text{ideal}} (f - 1) C$$

El factor C se puede calcular por la ecuación, o leer en la gráfica 6.

La potencia al freno de un compresor reciproco se puede calcular con el factor de pérdida por fricción:

$$P = \frac{n}{n-1} \rho_1 V (r^{\frac{n}{n-1}} - 1) L \gamma z_1$$

Donde L = factor de pérdida por fricción (Gráfica 7).

V = factor de pérdida para compresores accionados por motor. V varía de 1.0 a 1.05.

La potencia al freno requerida para mover 1,000,000 de pies cúbicos al día, se puede leer en las gráficas 8, accediendo a las condiciones de la atmósfera y a la temperatura de succión.

Selección de compresores reciprocos:

- a) Compresores horizontales de un paso.
- b) Compresores verticales no lubrificados.
- c) Compresores en V de dos pasos.
- d) Compresores gemelos horizontales de dos pasos.
- e) Compresores apuntes balanceados.

Todos estos compresores son enfriados por agua.

a) Los compresores horizontales tienen gran aplicación en herramientas neumáticas, producción de equipo, pintura por pulverización, plantas químicas, transmisión neumática, espladeros de arena, embotellamiento, minería, construcción y humidificación.

Los compresores horizontales de un paso tienen la ventaja de eliminar los problemas de alineamiento y las vibraciones son minimizadas debido al contrapeso doble.

Gráfica 9-1, Tabla VI.

b) Los compresores verticales no lubrificados tienen una gran aplicación donde se requiere aire o gas libres de aceite. Están específicamente diseñados para minimizar el uso del pistón y para ocupar menos espacio. Por otro lado, permiten una instalación rápida y facilitan el mantenimiento.

Gráfica 9-2, Tabla VII.

c) Los compresores en V de dos pasos, tienen las mismas aplicaciones de los compresores horizontales y son de construcción muy

compacta y sus costos de instalación son muy bajos. Este tipo de compresores pueden trabajar con motores y turbinas.

Gráfica 9-3, Tabla VIII.

d) Los compresores gemelos horizontales tienen una gran aplicación donde se necesitan grandes cantidades de aire y son muy usados en las industrias de automóvil, acero, vidrio, servicios públicos e industria de manufactura.

Este tipo de compresores, están específicamente para ser accionados por un motor eléctrico y para trabajar continuamente a bajas velocidades.

Gráfica 9-4, Tabla IX.

e) Los compresores ejesetas tienen las mismas aplicaciones que los compresores gemelos.

Estos compresores tienen la ventaja de eliminar los problemas de vibración en su origen, aumentando su duración y requiriendo un mínimo de mantenimiento.

Estos compresores pueden ser accionados por motores eléctricos o de combustible.

Gráfica 9-5, Tabla X.

Considerando los puntos anteriores se procederá como sigue:

A) Cuando se conocen la presión de descarga y el volumen desplazado por minuto.

1º Con la presión de descarga se sube verticalmente hasta la línea correspondiente de eficiencia volumétrica y se lee este eficiencia hacia la izquierda en el eje de las ordenadas, se calcula entonces el volumen admitido.

2º Con la línea correspondiente, se lee el factor BHP/100 cfm hacia la derecha en el eje de las ordenadas y se calcula la potencia al freno:

$$\text{BHP} = \text{BHP}/100 \text{ cfm} \times \text{cfm calculados.}$$

B) Cuando se conocen la presión de descarga y el volumen real:

1º Se calcula el volumen desplazado.

2º Se calcula la potencia al freno BHP.

III) Compresores axiales y de desplazamiento positivo.

Los compresores axiales. En este tipo de compresores, el flujo del gas comprimido se efectúa en la dirección del eje, siendo el sentido hacia la parte convergente. Este tipo de compresor es el de los turbinas de gas.

El compresor axial (fig. 13) es una unidad de enfriado, que consta de un rotor y un casco fijo o estator. Ambos cuerpos tienen sus respectivas series de paletas, rotativas y estacionarias, en forma alterna.

El principio básico de operación de los compresores axiales consiste en alternar el incremento con el decrecimiento de velocidad del gas fluyendo. Durante cada incremento de velocidad, la energía cinética se incrementa y durante cada decremento de velocidad, la energía cinética se disminuye y convertida en un aumento de presión.

La mitad de la presión es aumentada por las paletas estacionarias y la otra mitad por las paletas rotativas.

La presión aditiva y la energía cinética aumentan a medida que el gas entra en la máquina.

La comparación análoga entre los máquinas axial y centrífuga es la de las paletas al difusor y diafragma y las paletas rotativas a la rueda impulsora.

El tamaño de este tipo de compresores es mayor que el de los centrífugos, pero los materiales de construcción y los sistemas de sellado son similares.

Las velocidades indicadas de los gases son de 300 a 450 pie/seg (90 a 140 m/seg) para aire. Para otros gases, el rango de velocidad axial es en proporción directa a la velocidad del sonido en el gas comparado con la velocidad cónica en el aire.

En virtud de que la temperatura aumenta con el número de pasos, no es recomendable tener más de diez y seis pasos.

La eficiencia axial es de un 8 a un 10% mayor que la centrífuga.

Algunos compresores axiales tienen tres sistemas de control disponibles:

- 1.- Control por ajuste de velocidad.



2.- Control por turbinas de recuperación.

3.- Control por ajuste de las paletas del estator.

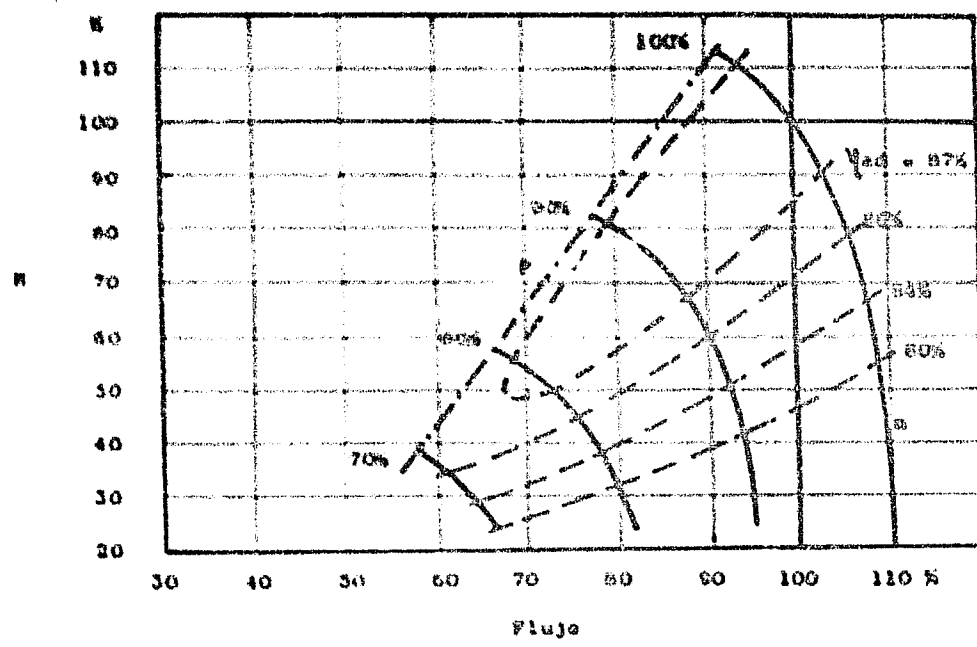
1.- El control por ajuste de velocidad se aplica cuando el accionador permite variaciones de velocidad, para mejorar la economía del proceso. (fig. 14).

2.- La turbina de recuperación se aplica cuando se tiene un accionador de velocidad constante, tal como un motor eléctrico. La diferencia entre el flujo de gas enviado por el compresor axial y el flujo requerido para el consumo, se expande en la turbina y así la potencia recuperada es retornada al árbol a flecha (fig. 15). Ver la figura 16.

3.- El control autónomo de las paletas del estator está siendo usado para aumentar el campo de aplicación del compresor cuando se tiene un accionador de velocidad constante. Si ajuste de las paletas del estator permite que la característica del compresor sea desplegada sobre un amplio rango de flujo, a una eficiencia casi siempre constante (fig. 17).

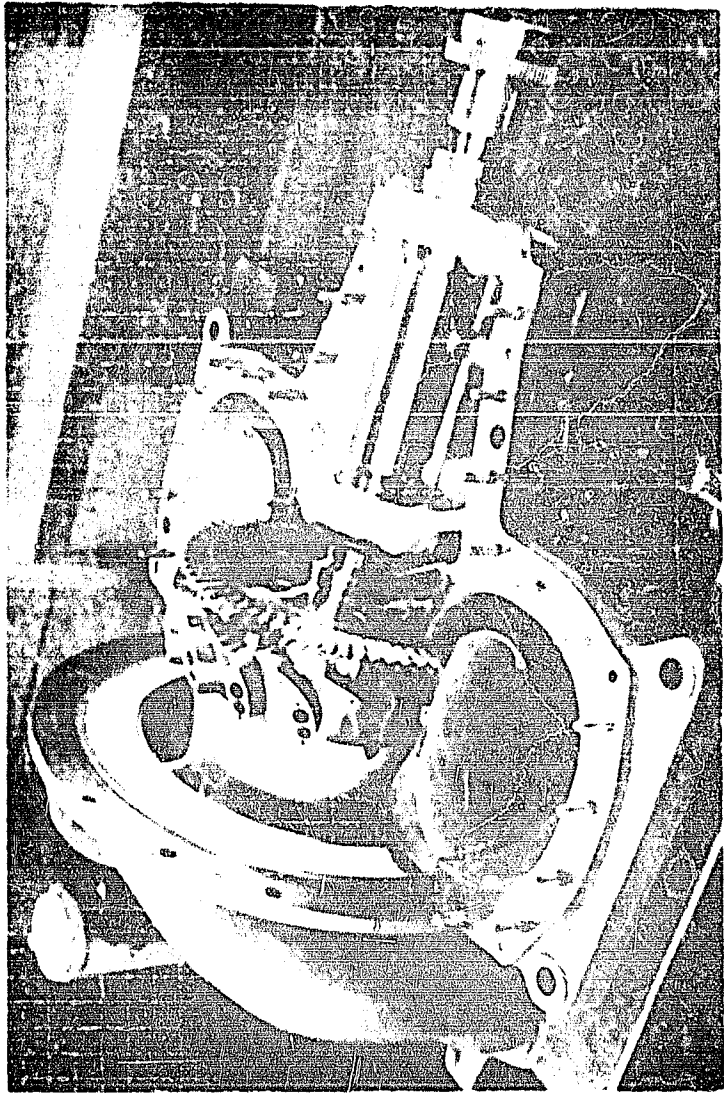
Los compresores axiales manejan flujos desde 600 a 6000 m^3/min , a relaciones de presión de 3 en un compresor simple.

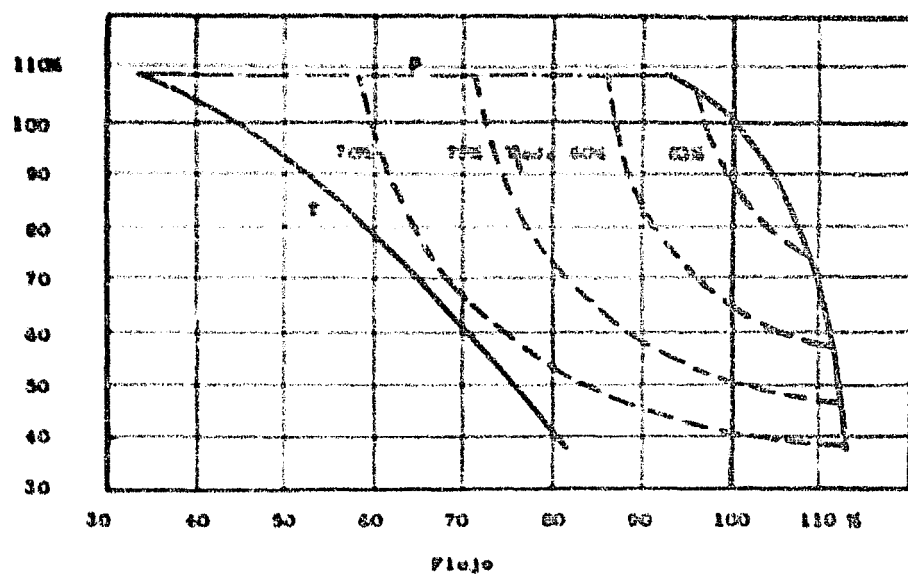
Actualmente un gran número de máquinas están en servicio continuo, asegurando el suministro de aire en altos hornos, esfírnas, y los requerimientos de oxígeno en las industrias metalúrgicas. Para esta última aplicación, cada vez mayor, el aire es comprimido en dos compresores axiales en serie, con interrefrigeramiento. El desarrollo de la industria petroquímica ha aumentado las posibilidades de aplicación de los compresores axiales y centrífugos.



P_s = límite del asoglo
 n_c = velocidad del compresor

Fig. 14

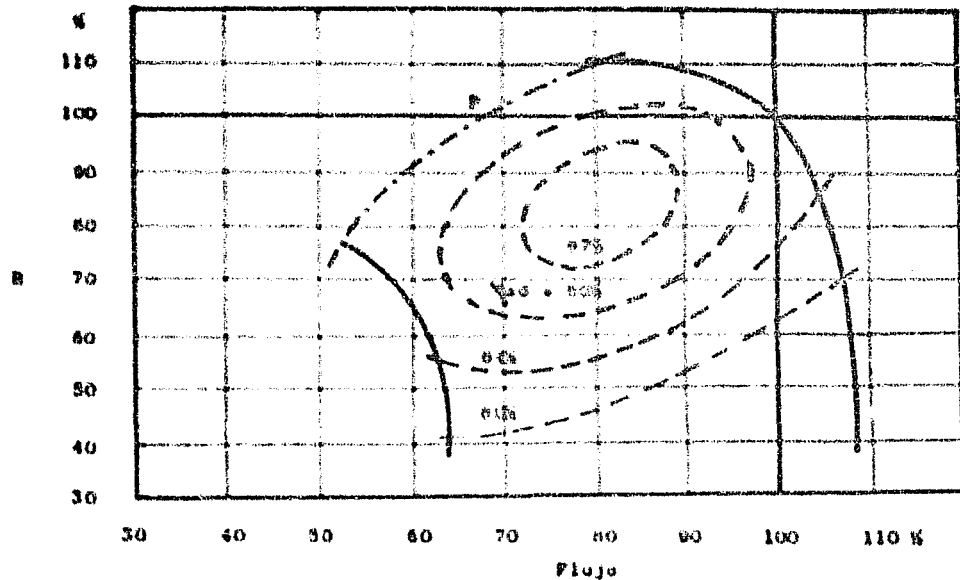




P = límite del chage

T = curva de abertura máxima de la turbina

Fig. 16



$P = \text{límite del auge}$

Fig. 17

Los compresores de desplazamiento positivo. En este tipo de compresores sucede que, a un movimiento de la parte compresora ocurre un desplazamiento del volumen del gas, comprimiéndolo constantemente con incremento de presión limitado por el punto de ruptura del metal, en caso de no existir los dispositivos de seguridad adecuados.

Son constructores de desplazamiento positivo:

- a) Los compresores reciprocatores.
- b) Los compresores de tornillos helicoidales.
- c) Los compresores cono-rotores o de paletas deslizables.
- d) Los compresores reciprocatores ya fueron descritos anteriormente.
- e) Los compresores de tornillos helicoidales constan de dos tornillos macho y hembra que están encerrados en un envolvente que los contiene (fig. 18). dichos tornillos giran sin tocarse y sin tocar al casete que los envuelve, efectuando la compresión del gas.

La operación tiene lugar de la siguiente manera:

1° Al girar las espiras, el gas es arrastrado por la entrada de admisión a las espiras hembras, las cuales giran continuamente. Al quedar las entradas llenas de aire, quedan aisladas de las entradas de admisión.

2° Al seguir girando, las espiras macho engranan con las correspondientes hembra y el volumen inicial empieza a ser comprimido.

3° Simultáneamente el aire es empujado hacia la salida, obteniéndose una compresión uniforme.

4° La presión continúa hasta que las entradas de la espira alcanzan el borde de la salida; al continuar la rotación, el aire comprimido fluye a través de la salida a los tubos de impulsión. Antes de que una entrada de espira quede completamente vacía, la otra ya ha comenzado a vaciarse, asegurando así una corriente continua de aire comprimido. Este tipo de compresores pueden ser o no ser lubricados, en estos últimos, esto es posible debido a que no existe rozamiento entre los tornillos y entonces no obtendrá un aire 100% libre de aceite.

El enfriamiento en este tipo de compresores es doble, es decir, la carcasa se refrigerará con agua y los tornillos interiormente con aceite. Esta refrigeración doble es muy efectiva.

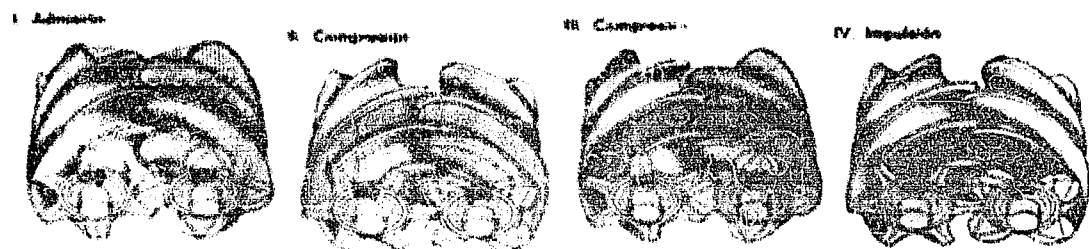


Fig. 18

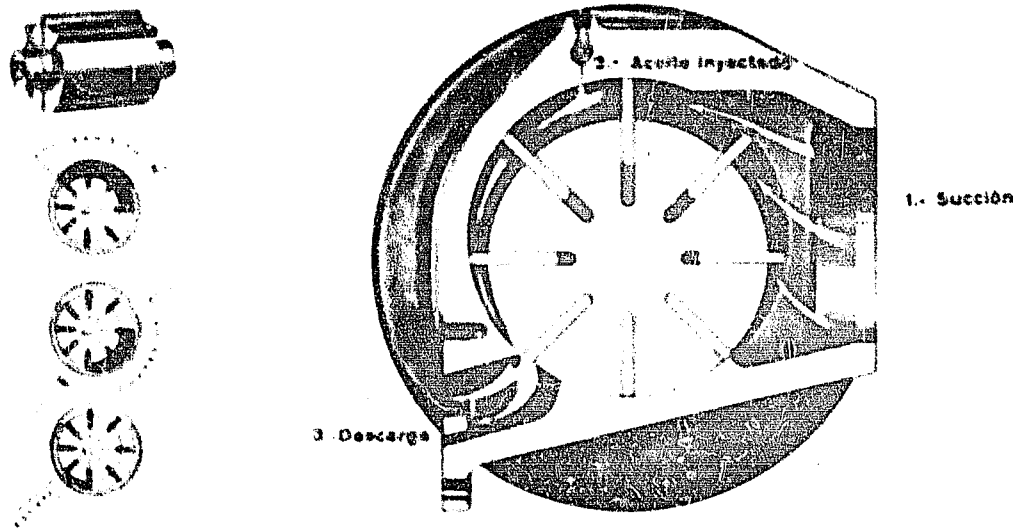


Fig. 19

Fig. 20

El aumento de temperatura por la compresión es adiabático.

La capacidad total está dada por la ecuación:

$$V_t = V_0 + V_1$$

donde V_t = capacidad interna deseada.

V_0 = pérdidas por escape.

V_1 = volumen de entrada.

Las pérdidas de escape dependen de la presión diferencial a través de la unidad y de la densidad del gas, siendo independiente de la velocidad y de la magnitud del rotor.

La eficiencia de estas unidades es normalmente de 75%, con variaciones entre 60 y 80%. La eficiencia aumenta en las unidades mayores y aumenta con una mayor velocidad de operación.

El rango de velocidades de trabajo varía de 1750 a 3600 rpm.

El rango de capacidades es aproximadamente de 11,000 cfm ($330 \text{ m}^3/\text{min}$) de entrada a una presión de salida de 3 a 20 psig ($15,3 \text{ cm Hg}$ a $1,4 \text{ kg/cm}^2$). Las unidades especiales dan de 60 a 100 psig ($6,2 \text{ a } 7 \text{ kg/cm}^2$). En el caso de vacíos, dan capacidades de 500 a 10,000 cfm ($14 \text{ a } 300 \text{ m}^3/\text{min}$) de 3 a 23 pulgadas de mercurio ($13 \text{ a } 64 \text{ cm}$). En estos casos, se deberá pulverizar agua para mantener temperaturas bajas a 123°F (52°C).

La gráfica 10 es una curva de funcionamiento de este tipo de compresores.

c) Los compresores mono-rotor, conocidos también como compresores de paletas deslizables, son de forma muy sencilla. Consisten en un rotor de forma cilíndrica de una sola pieza. El rotor tiene varias incisiones y en estas van las paletas. La compresión se efectúa al girar el rotor dentro del cilindro que lo contiene. (fig. 19).

La operación es como se indica a continuación:

1º El gas es succionado dentro del cilindro y avanza entre la pared de este y las paletas, las cuales lo desplazan y a los cuales la fuerza centrífuga ejerce contra la superficie interna del cilindro exterior (fig. 20).

2º Una vez iniciada la compresión, se inyecta una niebla de

aceite dentro del cilindro, con el triple objeto de sellar, lubri-
car y absorber el calor generado por la compresión.

3º La mezcla aire comprimido-aceite se hace pasar por un se-
parador de aceite, quedando el aire comprimido libre de aceite.

Este tipo de máquinas trabajan con motor eléctrico o de com-
bustible interna y a velocidades de 450 a 3600 rpm.

Este tipo de compresor es sencillo, pues tiene un mínimo de
piezas móviles y no tiene engranes ni transmisiones de cadena.

Los gráficos 11 son curvas de funcionamiento de estos com-
presores.

IV) Compresores centrífugos.

Principios básicos:

Los compresores centrífugos (fig. 21), al igual que los compresores axiales, son más eficientes dinámicamente en comparación con los de desplazamiento positivo, en los cuales la cantidad de gas que se comprime queda atrapada por la acción de la parte compresora, teniendo lugar una disminución del volumen.

En los compresores centrífugos y axiales se lleva a cabo la compresión aplicando fuerzas de impacto al gas, tales como aceleración, deceleración etc., por medio de paletas impulsoras. En el compresor axial el gas fluye en la dirección del eje. En el compresor centrífugo el gas entra por el centro del impulsor y el flujo es impulsado en dirección radial y acelerado en dirección periférica mientras fluye a través del impulsor. En un compresor de un paso el gas es descargado en el proceso y en un compresor múltiple el flujo es llevado al centro del siguiente impulsor. Aproximadamente dos tercios del aumento de presión ocurren en el impulsor, teniendo lugar el resto durante el proceso de difusión o reducción de velocidad. Las caídas del flujo están completamente abiertas; no hay medios mecánicos para preventir el flujo opuesto y esto puede ocurrir en un compresor de baja velocidad o en una pausa, o no ser que se use una válvula exterior. Es importante saber que el impulsor es el único medio para suministrar energía al gas y todo el trabajo sobre el gas es efectuado por este elemento. Los componentes estacionarios, tales como difusores, guías y canales de retorno, pueden únicamente convertir la energía de velocidad en energía de presión e incurrir en pérdidas.

Capacidad de los compresores centrífugos. Los compresores centrífugos y axiales pueden manejar volúmenes muy grandes de gases en contraste con los de desplazamiento positivo. Pueden manejar los gases a altas velocidades y pueden manejar volúmenes grandes a través de pequeños ductos. Es decir, el proceso de compresión dinámica tiende a ser menos eficiente a altas presiones que el proceso de los compresores de desplazamiento positivo. Las consideraciones económicas favorecen entonces a los compresores centrífugos para grandes flujos y bajas presiones y a los compresores de desplazamiento positivo

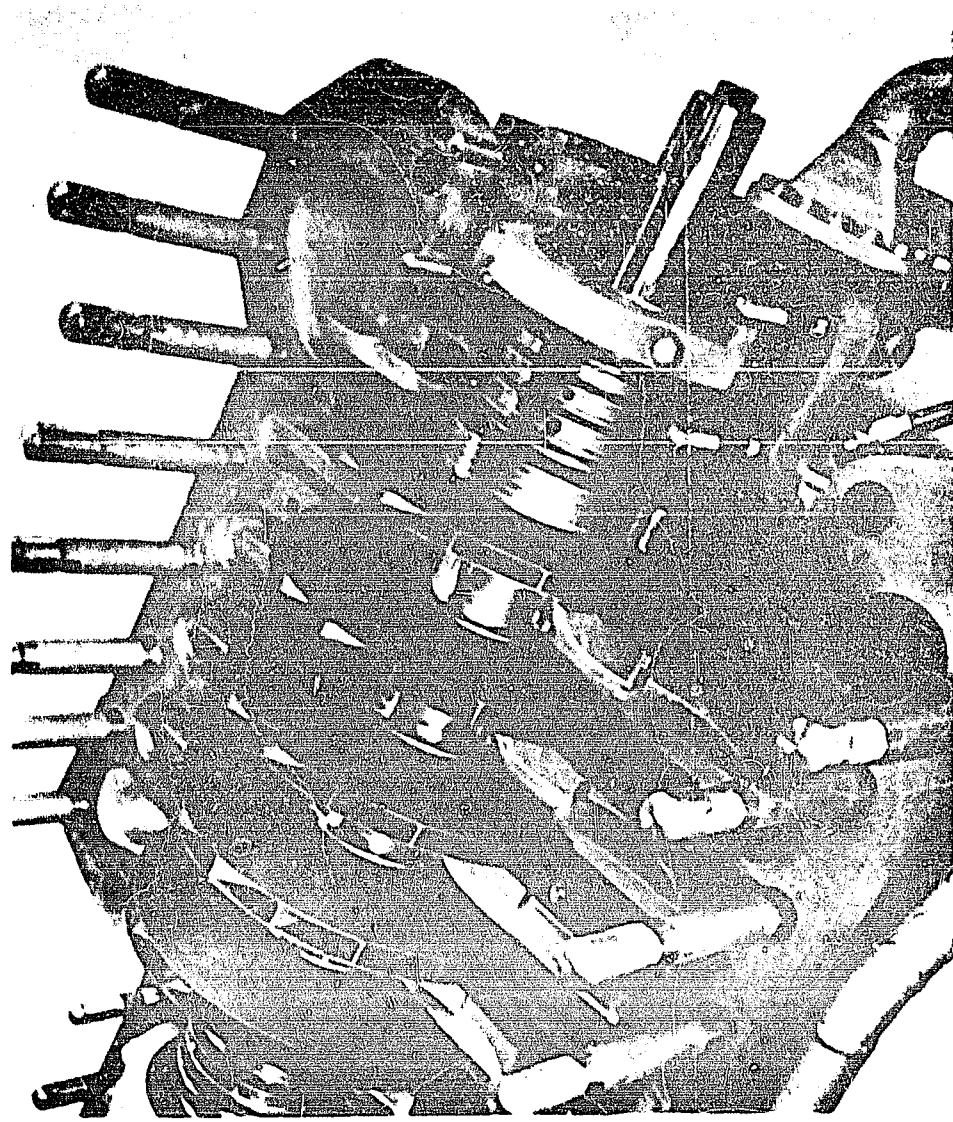


Fig. 21

para pequeños flujos y altas presiones. Una forma aproximada para calcular el límite económico de los compresores centrífugos es el volumen en pies cúbicos por minuto igual o mayor a 600 veces la relación de compresión (metros cúbicos por minuto igual o mayor a 17 veces la relación de presiones o compresión).

Comparación de las características de operación. Los campos de aplicación más favorables para los diferentes tipos de compresores se muestran en la figura 22.

Las leyes termodinámicas de compresión de gases son las mismas para todos los compresores, solo que los diferentes tipos de compresores ofrecen diferentes características de operación, tales como la relación de compresión con el flujo o velocidad constante. Se tiene entonces que:

1º Los compresores de desplazamiento positivo pueden manejar flujos constantes a diferentes relaciones de compresión (fig. 23).

2º Los compresores centrífugos pueden manejar flujos variables a relaciones de compresión constantes. (fig. 24).

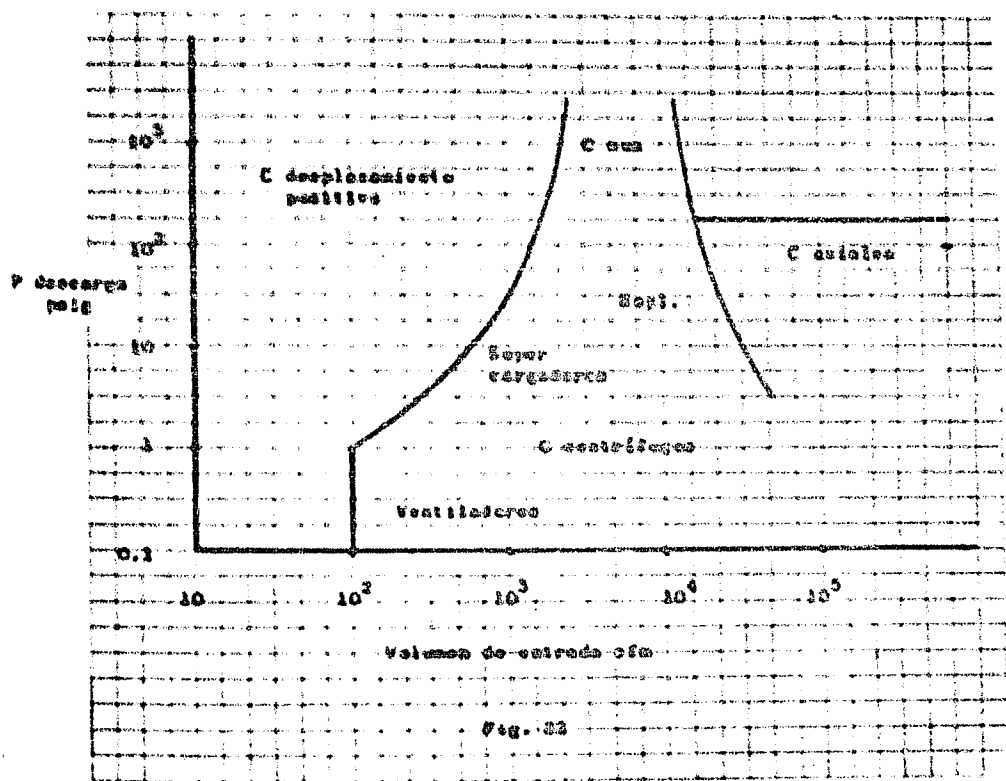
3º Los compresores axiales tienen otras características, así como ciertos compresores centrífugos (fig. 25).

Como queda dicho, el compresor centrífugo aumenta la presión del gas en cuestión, acelerando la velocidad del mismo, cuando este fluye radialmente a través del impulsor.

En un compresor centrífugo, un paso de compresión consiste en las paletas fijas, el impulsor y el difusor. Las paletas fijas sirven para dirigir el flujo de gas hacia el centro del impulsor. Los impulsores tienen el objeto de transformar la presión de velocidad en presión estática. En los compresores múltiples, los canales de retorno llevan el fluido del impulsor hacia las siguientes paletas fijas.

El funcionamiento de un compresor centrífugo se mide usualmente en términos de diferencial de presión o cabecera, y eficiencia contra flujo volumétrico. La diferencial de presión es la altura del gas soportado a la descarga del compresor a un nivel de presión dado.

El hecho de convertir el flujo de masa a flujo de volumen no representa mucho problema. Es importante conocer el flujo de volumen



carácteristica
vertical

r de Presión

SP.

SP.

0 Flujos 100%

FIG. 22

características
horizontal

r de Presión

SP.

100%

0 Flujos 100%

FIG. 24

características
inversa

r de Presión

SP.

100%

0 Flujos 100%

FIG. 25

en numerosos puntos del trayecto del flujo, pero el funcionamiento se expresa generalmente en términos de flujo a la entrada del compresor. Así, el volumen específico a las condiciones de entrada y a una relación dada de flujo de caída de entrada, darán el flujo que entra al compresor. Entonces deberá siempre pensarse tener el flujo en términos de volumen de entrada al compresor.

Un compresor operando con un determinado gas y a una velocidad fija, produce una diferencial de presión contra una característica de flujo que permanece constante. Considerando un compresor de un paso, con el impulso operando a una velocidad constante y a un volumen dado, una cierta diferencial de presión es producida por los cambios de velocidad en el flujo de gas. Cuando la geometría del compresor permanece constante, la variación de flujo causará una variación de velocidad y la correspondiente variación de la diferencial de presión. De donde sigue que el compresor producirá este mismo diferencial de presión contra característica de volumen en gases distintos, ya que esta diferencial es producida por los cambios de velocidad, los cuales dependerán más bien del volumen que de las propiedades de cada gas. No obstante que hay alguna desviación en esta regla, se puede usar correctamente.

Aún cuando la diferencial de presión contra característica de volumen generada por un paso de compresión puede ser considerada constante, la relación de presión y los cambios de volumen pueden variar generalmente de un gas a otro, o aún variando las condiciones de entrada del mismo gas.

En este capítulo se llevará una secuencia particular de ecuaciones.

En un gas que se supone ideal, la diferencial adiabática se deriva de la ecuación:

$$P_1 V_1^k = P_2 V_2^k = \text{constante} \quad (1)$$

En la diferencial politrópica se tiene el exponente n:

$$P_1 V_1^n = P_2 V_2^n = \text{constante}$$

El exponente k es la relación $\frac{C_p}{C_v}$. (2)

El valor del exponente n se calcula por la ecuación:

$$n = \frac{\log(p_2/p_1)}{\log(V_1/V_2)} \quad (3)$$

Donde V es el volumen específico, el cual se lee rápidamente en la gráfica 12.

El diagrama PV de los compresores centrífugos (fig. 26) varía algo del de los reciprocatos, pues como se hay claro, no hay expansión de gasos.

El gas entra en el punto $P_1 V_1$ (1). La velocidad y el volumen correspondientes aumentan hasta llegar a $P_1 V_1$ (2). En este momento se inicia la compresión, la cual tiene lugar al aumentar la velocidad. La compresión termina en $P_2 V_2$ (3). El gas es descargado continuamente a la presión P_3 (4).

La diferencial de presión se calcula por las ecuaciones:

$$H = \frac{P_1 V_1}{m_1} \frac{k}{k-1} \left[\left(\frac{v_1}{v_2} \right)^{\frac{k-1}{k}} - 1 \right] \quad (4)$$

$$H = \frac{Z_1 H T_1}{M} \frac{k}{k-1} \left[\left(\frac{v_1}{v_2} \right)^{\frac{k-1}{k}} - 1 \right] \quad (5)$$

donde H = diferencial de presión.

Z_1 = factor de compresibilidad a la entrada.

m_1 = masa de entrada.

M = peso molecular.

En las ecuaciones anteriores se sustituye k por n para obtener la diferencial polirrótica.

La diferencial de presión se puede leer en la gráfica 13.

La diferencial de presión depende entonces del peso molecular, la relación de presión, la temperatura de entrada y el valor de k . Ahora bien, si la curva diferencial de presión volumen es considerada constante para cualquier gas, se puede apreciar que el peso molecular, y la temperatura de entrada, afectan la relación de presión obtenida por paso.

Estos efectos se pueden apreciar en las tablas I y II. En la tabla I se muestra el efecto de la relación de presión de la temperatura de entrada para un paso de compresión produciendo una diferencial de presión de 10,000 pies (3,048 metros) y comprimiendo aire.

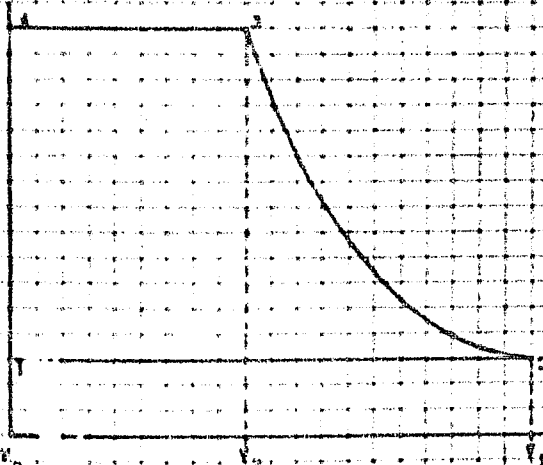


Fig. 28

Tabla I

Efecto de la temperatura en la relación de presión

Diferencial de presión adiabática T en grados

pies	metros	es	T °C	
10,000	3,048	0	-17.8	1.469
10,000	3,048	30	10	1.419
10,000	3,048	100	37.8	1.377
10,000	3,048	150	63.0	1.343
10,000	3,048	200	80.3	1.314

En la Tabla II se aprecia la diferencia en las relaciones de presión causadas por diferencias del peso molecular. En esta se puede ver claramente que los pesos moleculares más altos reportan relaciones de presión más altas con la misma diferencial de presión.

Tabla II

Efecto del peso molecular y de k en r

Diferencial de presión adiabática Gas N k r

pies	metros		N	k	r
10,000	3,048	C ₃ H ₈	44.09	1.133	1.702
10,000	3,048	CO ₂	44.01	1.30	1.673
10,000	3,048	Aire	28.06	1.60	1.41
10,000	3,048	CH ₄	16.04	1.31	1.216
10,000	3,048	Hidrocarburado	10.00	1.30	1.131

Para fluidos no comprimibles, tales como los usados en bombas de muy baja relación, ventiladores o compresores auxiliares, la diferencial de presión se puede expresar en una forma más sencilla como la relación de la diferencia de presiones entre la densidad del fluido:

$$H = \frac{\Delta P}{\gamma} \quad (6)$$

$$H (\text{pies}) = 144 \times \Delta P (\text{psi}) \times \gamma^{-1} (\text{lb/pie}^3) \quad (6')$$

Parámetros de diseño:

Debido a que las turbomáquinas producen e absorben diferencias de

presión efectivamente por cambios de velocidad en los fluidos, una forma de control es la velocidad del rotor expresada en términos de velocidad periférica del impulsor, y esta está dada por la siguiente ecuación:

$$U = R \omega \quad (7)$$

$$U (\text{pies/seg}) = \frac{\pi D}{720} \omega \quad (7')$$

donde D = diámetro del impulsor en pulgadas.

ω = rpm.

La diferencia de presión del compresor o turbina de una geometría dada, será una función cuadrática de la velocidad periférica sola, independientemente del tamaño de la máquina. Es decir, el flujo de volumen está controlado por el diámetro del rotor y por la velocidad periférica con un tipo de paleta y geometría de flujo dados. Dicho de otra forma, si un compresor es aumentado al doble de su tamaño, pero su velocidad periférica permanece constante, producirá la misma diferencial, pero manejará cuatro veces el flujo del compresor original. Si la velocidad periférica del compresor inicial es duplicada, este manejará dos veces el flujo original y producirá una diferencial cuatro veces mayor que la original.

La velocidad periférica es pues lo más útil para el diseño, ya que controla las fuerzas mecánicas de la configuración de un determinado rotor. Esto también ocurre como una función cuadrática y es independiente de las dimensiones del rotor.

Para encontrar el efecto de la geometría de flujo al ser controlado por el rotor, por los canales del estator y por las paletas, se llega a la ley básica del impulso: Una fuerza actuando en o por una partícula de un fluido, debe igualar su variación de momento por segundo. El principio se aplica a las condiciones de entrada y salida de un fluido sin fricción en un impulsor de paletas (fig. 27).

Se tiene que U_1 y U_2 son las velocidades del rotor en pies o metros por segundo; w_1 y w_2 son las velocidades de los fluidos relativos al rotor, al ser impulsados por las paletas; C_1 y C_2 son las velocidades absolutas del fluido; Q es el flujo en pies cúbicos o metros cúbicos por segundo.

Entonces el par motor, impulso rotativo o momento de torsión es

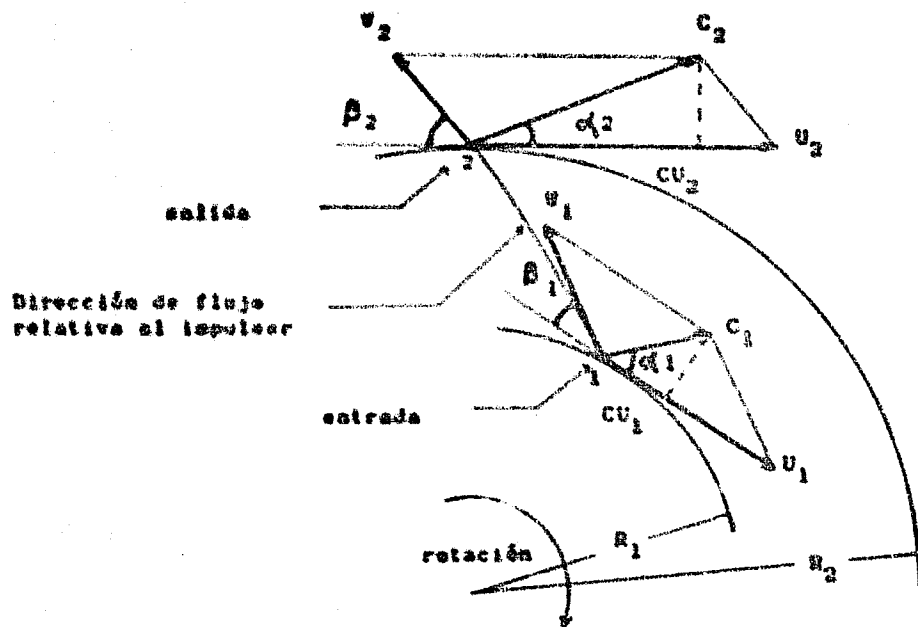


Fig. 27

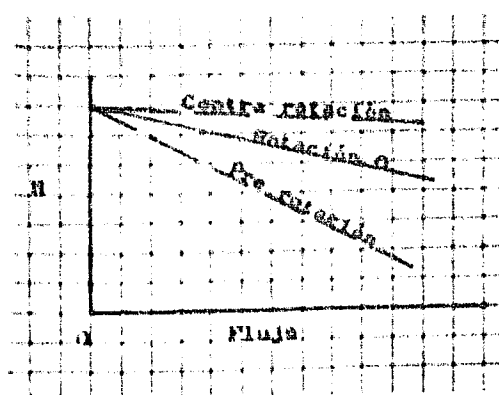


Fig. 28

definido como la diferencia de los componentes periféricos de las fuerzas de impulso.

$$\text{Par motor} \rightarrow \text{Fr} = (\text{Impulso exterior} \times \cos\alpha_2) - (\text{Impulso interior} \times \cos\alpha_1)$$

$$\text{Fr} = \left(\frac{\rho}{g}\right) Q R_2 C_2 \cos\alpha_2 - \left(\frac{\rho}{g}\right) Q R_1 C_1 \cos\alpha_1$$

$$\text{Fr} = \left(\frac{\rho}{g}\right) Q (C_{u_2} \cos\alpha_2 - R_1 \cos\alpha_1) \quad (8)$$

dónde g = aceleración de la gravedad.

ρ = densidad.

La diferencial de presión en pies o metros es:

H = energía potencial/flujo en mues

$$H = \frac{(\text{Fr} \times G)}{g} = \frac{(\text{Fr} \times \omega)}{g \cdot Q} = \left(\frac{1}{g}\right) (R_2 \omega C_{u_2} - R_1 \omega C_{u_1})$$

dónde G = velocidad angular en radianes.

$$\omega = Q \cdot \beta$$

finalmente se tiene:

$$H_{\text{ideal}} = \left(\frac{1}{g}\right) (C_{u_2} U_2 - C_{u_1} U_1) \quad (9)$$

Esta es la ley del impulso aplicable a todas las turbomáquinas, axiales o radiales, compresores o turbinas. El valor H es positivo para compresores y negativo para las turbinas.

En un compresor real, con pérdidas debidas a fricción y turbulencia, la diferencial adiabática es menor que la real:

$$H_{\text{ad}} = \frac{\eta_{\text{ad}}}{g} (C_{u_2} U_2 - C_{u_1} U_1) \quad (10)$$

dónde η_{ad} es la eficiencia adiabática. Sucede que los ángulos de flujo se desvían un poco de los ángulos de las paletas, la desviación depende del espaciado de las paletas y/o de las potencias consumidas. Esta desviación resulta una reducción de C_{u_2} y por lo tanto reduce la eficiencia adiabática debajo de la de un impulso hipotético con un número infinito de paletas. Esta corrección es usual entre 10 y 20% y ha sido establecida experimentalmente y es útil en diseño. A esta desviación no le conoce como deslizamiento.

La ecuación (10) es útil para diseño en varias formas, sirve

para:

1.- Calcular la diferencial de presión de diseño por los diagramas de velocidad de entrada y salida.

2.- Calcular el efecto del efecto de las paletas fijas en la diferencial de presión contra características de flujo.

3.- Calcular el efecto de los ángulos de descarga de las paletas del impulsor (β_2) en las características de diferencial de presión flujo.

Por ejemplo, con un remolino cero de entrada, el término C_{d1} desaparece y entonces se tendrá:

$$H_{ad} = \frac{V}{6} C_{d2} U_2^2 \quad (10)$$

Cuando el gas está entrando al impulsor en la dirección de rotación, C_{d1} es positivo y el término $C_{d1} U_1$ causa una reducción de la diferencial de presión o acción de descarga. Si C_{d1} aumenta linealmente con el flujo, la curva diferencial contra flujo exhibirá su pendiente negativa. Recíprocamente la contrarrotación de flujo que entra, aumentará la diferencial de presión y reducirá la pendiente de la curva diferencial contra flujo. La figura 28 ilustra el efecto de las paletas de prerrotación y contrarrotación en la diferencial ideal de un impulsor. Así pues, se deberá ajustar la diferencial contra característica de flujo.

El ángulo de descarga del impulsor β_2 , obviamente es útil en el diseño para poder controlar la magnitud de C_{d2} y así, la diferencial adiabática con una velocidad periférica de U_2 . Si β_2' es el ángulo de flujo de salida o el ángulo β_2 corregido por deslizamiento, y C_{m2} es el componente de velocidad radial o meridional, entonces:

$$C_{d2} = U_2 - \left(\frac{C_{m2}}{\tan \beta_2'} \right) \quad (11)$$

y con un prerreolino de cero

$$H_{ad} = \frac{V}{6} (U_2^2) \left[1 - \left(\frac{C_{m2}}{U_2 \tan \beta_2'} \right)^2 \right] \quad (12)$$

si β_2 es el ángulo de la paleta y S es la corrección por deslizamiento, entonces:

$$\text{Red} = \left(\frac{\gamma_{\text{ad}}}{g} \right) \left(C_{\text{d}}^2 \right) \left[1 - s + \left(\frac{C_{\text{d}}}{C_{\text{d}} + \tan \beta_2} \right) \right] \quad (13)$$

Añá, la diferencial adiabática aumenta con β_2 . Además, como $C_{\text{d}} \propto$ una función lineal de la relación de flujo de volumen a la entrada (excepto para correcciones de compresibilidad entre la entrada y la salida del impulsor), entonces resulta que:

1° Con paletas rectilíneas, en las que β_2 es igual a 90° , la ecuación (13) se hace:

$$\text{Red} = \left(\frac{\gamma_{\text{ad}}}{g} \right) \left(C_{\text{d}}^2 \right) (1 - s) \quad (14)$$

Independientemente del flujo. Con una eficiencia de 100%, la curva de diferencial ideal contra flujo será una línea horizontal (fig. 25).

2° Con paletas inclinadas hacia atrás, en las que β_2 varía de 0° a 90° , la ecuación es satisfecha solo con un flujo de cero, cuando $C_{\text{d}} = 0$. Cuando el flujo aumenta, la diferencial ideal es reducida linealmente y la curva diferencial ideal contra flujo tiene una pendiente negativa (fig. 26).

3° Con paletas inclinadas hacia adelante, en las que β_2 es mayor que 90° , procederá que la curva diferencial de presión contra flujo tiene una pendiente positiva (fig. 27).

En la práctica actual, la curva de eficiencia es con la condensación hacia abajo, así como las curvas de diferencial adiabática contra flujo.

Solamente la poca utilización de la curva dará una operación estable del compresor en conjunción con un sistema e proceso. Un impulsor con paletas inclinadas hacia adelante, sin embargo se aprecia que presenta diferenciaciones altas, porque esto ocurrir en un rango limitado y se sigue ineficiente. De igual, resulta en ciertas velocidades de rotación elevadas y donde las limitaciones se dan claramente.

Las paletas inclinadas tienen una proporcionalidad en amplio rango estable, el cual incluye el resto de mayor eficiencia. Tales tipos de paletas se usan solamente en compresores industriales.

Las paletas rectilíneas proporcionan altas diferenciaciones con bajas eficiencias, pero con rango limitado. Experimentalmente, un impulsor

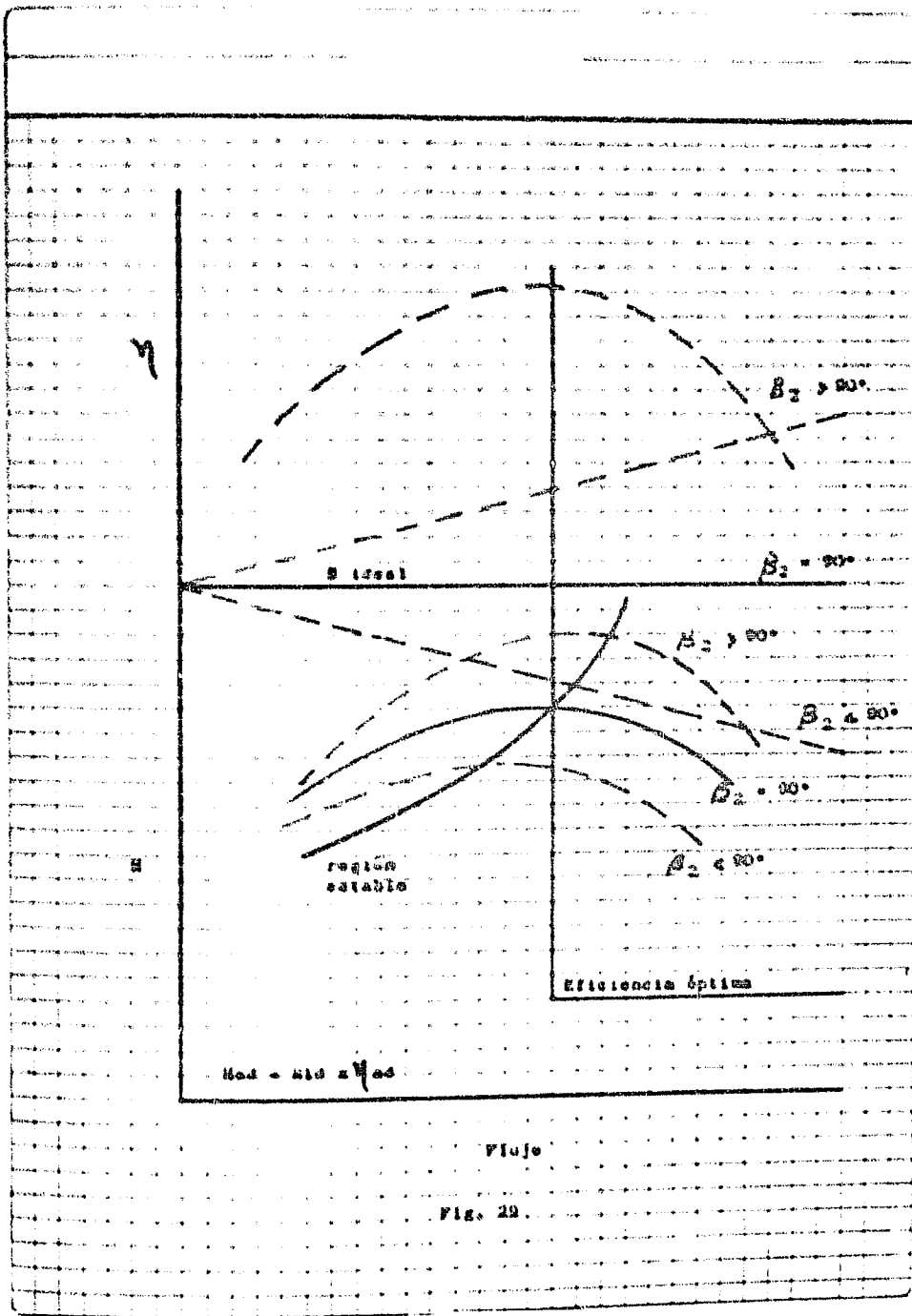


Fig. 22.

radial puede ser más fuerte que cualquier otro tipo y puede operar a velocidades más altas, a bajas velocidades periféricas.

La fuerza centrífuga depende entonces, de la velocidad periférica del impulsor y de la densidad del gas. La velocidad periférica y la diferencial de presión desarrollada, están limitadas por la velocidad del sonido del gas en cuenta, ya que la velocidad periférica no puede ser mayor que la velocidad del sonido. La velocidad del sonido en un gas se calcula por la ecuación:

$$V_{\text{sonido}} = \left(\frac{R M S T E}{M} \right)^{\frac{1}{2}} \quad (15)$$

Donde E = factor de compresibilidad.

M = peso molecular.

La velocidad del sonido en algunos gases se puede leer en la gráfica 16.

El número de Mach es la relación de la velocidad del gas en cualquier punto entre la velocidad del sonido en el gas.

$$\text{Mach} = \frac{U}{V_{\text{sonido}}} \quad (16)$$

El número de Mach no debe ser el punto de mayor velocidad de la unidad. Un valor usual de Mach es de 0.5 a 0.75 para el diseño, pues la eficiencia cae cerca de Mach = 0.9 - 1.0, el impulsor cesa de producir presión adicional y flujo, el cual llega a un mínimo.

Coefficientes de presión y flujo. Para simplificar los cálculos, se usan dos coeficientes adimensionales. Uno es el coeficiente de presión o de diferencial de presión γ , el otro es el coeficiente de flujo β .

El coeficiente de presión está dado por la ecuación :

$$\gamma = \text{Had} \frac{U_2}{U} \quad (17)$$

Si se aplica el factor de presión a la ecuación de diferencial de presión con un prerrequisito de cero, se tendrá:

$$\text{Had} = \left(\frac{M U^2}{5} \right) \left[1 + s - \left(\frac{C_m^2}{U_2^2 \tan \bar{P}_2} \right) \right] \quad (18)$$

y se encuentra que:

$$\Psi = \frac{V}{\rho} \left[1 - \beta \cdot \left(\frac{\alpha_2}{v_2 \cos \beta_2} \right) \right] \quad (19)$$

donde el coeficiente de prestón combina el ángulo de la paleta, el deslizamiento y los efectos de la eficiencia en un solo valor. Este valor para el mejor punto de diseño de compresores centrífugos es de 0.501 ± 0.01 en compresores industriales, o 0.63 (± 0.04) en paletas rectilíneas e inclinadas hacia adelante. Eficiencias altas y números de paletas altos y deslizamientos bajos conducen a altos valores del coeficiente de prestón. Algunas veces, este coeficiente es definido en la literatura como:

$$\bar{\Psi} = \text{Head} \frac{V^2}{U^2} \quad (20)$$

esto es dos veces el valor de la ecuación (17).

Si $\bar{\Psi}$ es conocido o estimado, la diferencial de presión se calcula simplemente por la ecuación:

$$\text{Head} = \bar{\Psi} \frac{U^2}{g} \quad (21)$$

se dice, una función de la velocidad periférica, independiente de las dimensiones de la máquina o de las revoluciones por minuto.

El coeficiente de flujo β se usa para definir la capacidad de manejar el flujo de cierta geometría de impulsor. Este coeficiente está definido por la ecuación:

$$\beta = \frac{Q}{\frac{\pi}{4} D^2 U} \quad (22)$$

$$\beta = \frac{3.036 Q}{D^2 U} \quad (22')$$

donde Q = flujo de entrada en cfm.

D = diámetro en pulgadas.

U = velocidad periférica del impulsor en pies/seg.

por sustitución en la ecuación (21) se tiene:

$$\beta = \frac{700 Q}{D^3 N} \quad (23)$$

Este coeficiente permite que el flujo de un impulsor dado sea definido por la ecuación:

$$Q = \pi D^2 \eta \frac{U}{g} \quad (24)$$

$$\eta = \frac{1}{3.03} \propto D^2 U \quad (24')$$

que muestra el efecto lineal de la velocidad periférica y de la función cuadrática del diámetro del impulsor, como se indicó anteriormente.

Las relaciones entre la geometría del impulsor y el coeficiente de flujo se muestran en la figura 30, donde se aprecia que pequeños coeficientes de flujo causan una fricción excesiva y pérdidas por escapes en las compresoras centrífugas y axiales.

Al iniciarse el diseño de los turbinocompresores, se usó un parámetro conocido como velocidad específica N_a . Pero la mayoría de las definiciones de esta velocidad no eran adimensionales, por ejemplo:

$$N_a = N \frac{\frac{Q}{g}}{\frac{U}{g}} \quad (25)$$

y así variaban con el uso de ambos sistemas.

Los términos adimensionales como:

$$N_a = N \frac{\frac{Q}{g}}{\frac{(gR)^{1/2}}{D}} \quad (26)$$

$$N_a = \frac{Q}{\frac{D}{gR}} \quad (27)$$

fueron útiles, pero no fueron aceptados universalmente, sino en bombas de líquidos. El coeficiente η es más fácil de usar.

Compresión de vapor. Las ecuaciones (1), (2), (4) y (5) se aplican a todos los gases y a los vapores recalentados. Como siempre, para condiciones de bajo sobrecalentamiento, el cp y el valor de k varían considerablemente durante la compresión. Las condiciones de entrada y salida se pueden calcular rápidamente con el diagrama de

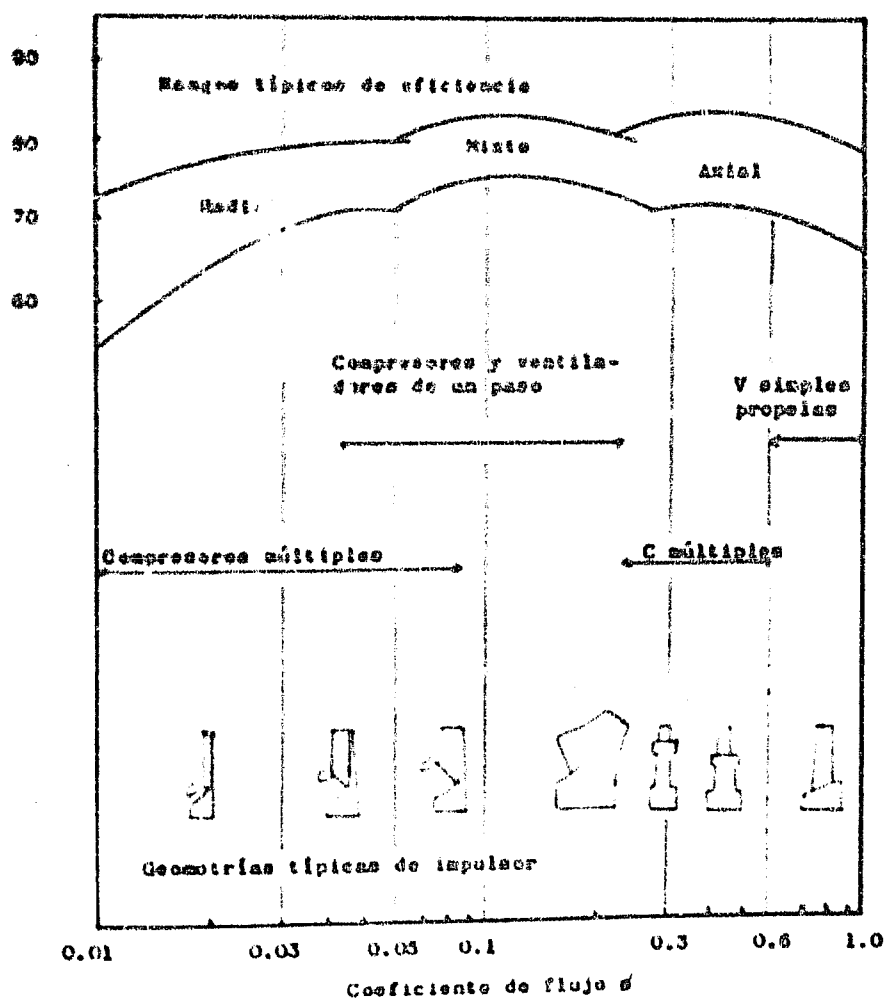


Fig. 30

Mallier.

Requerimientos de caballaje. Conociendo la diferencial de presión, el flujo y la eficiencia, la potencia que requiere el compresor está dada por la ecuación:

$$CV = \frac{H_{ad} \times \dot{V}}{\eta_{ad}} \quad (28)$$

$$HP = \frac{H_{ad} \times \dot{V}}{33,475 \eta_{ad}} \quad (28')$$

donde \dot{V} = flujo en lb/min o en kg/min.

En caso de conocer la diferencial polítrópica y la eficiencia, entonces se deberá sustituir en la ecuación (28).

$$H_{ideal} = \frac{H_{ad}}{\eta_{ad}} = \frac{H_{pol}}{\eta_{pol}} = \frac{\text{Efecto de la fijación de la flecha}}{\text{fijado en masa}}$$

La curva H_{ideal} contra \dot{V} es casi una línea recta, mientras que la curva potencia contra \dot{V} lo es esencialmente una línea recta que pasa por el origen si el compresor es de paletas radiales. Si el compresor es de paletas inclinadas hacia atrás, la curva será una parábola.

La potencia de la flecha es mayor que la potencia ideal debido a los baleros, cojinetes, sellos y varía aproximadamente del 1 al 3% en compresores medianos y grandes.

Caracteres mecánicos. Los compresores centrífugos son relativamente simples mecánicamente, tienen pocos componentes que son el rotor, eje, bálgos, cojinetes y eje y la armadura.

Pales. El rotor contiene al eje, los impulsores, espaciadores, etc. y es uno de los mayores desafíos en ingeniería. Las velocidades del rotor varían de 1,200 rpm en ventiladores hasta 6,000 a 12,000 rpm en compresores de rotación industrial, y hasta de 20,000 a 30,000 rpm o mayores en turbocompresores pequeños y compresores de turbinas de gas.

Impulsor. Los impulsores deberán ser diseñados para una eficiencia aerodinámica deseada y de una estructura resistente y deberán estar balanceadas radialmente y dinámicamente a ciertas tolerancias. Estos deberán ser montados completamente, sin elementos de extensión operacional o distorsión térmica, para retenir un balance correcto.

La forma más simple de impulsor es el que está construido al remachar paletas de curvatura constante entre un disco y una cubierta con perfil de acero forjado. Este tipo de impulsor se usa en compresores múltiples de velocidad periférica moderada de 600 a 600 pies/seg (180 a 240 m/seg), permitiendo obtener hasta 1000 pies/segundo (300 m/seg) operacionalmente.

Los impulsores de aluminio o de acero fundidos, abiertos y cerrados son usados donde altas producciones justifican el costo del modelo. Los impulsores de aleaciones de aluminio son usados en supercargadores hasta de 1300 pies/seg de velocidad periférica (400 m/seg).

Para velocidades periféricas extremas de 1200 a 1600 pies/seg (360 a 480 m/seg), de paletas radiales, los impulsores semicubiertos con perfiles de aluminio, magnesio o aleaciones de acero son los indicados.

La eficiencia aerodinámica de un impulsor está controlada por:

- 1.- Diseño del flujo de entrada (condiciones de aproximación).
- 2.- Áreas y curvaturas de las entradas de flujo.
- 3.- Suavidad relativa de las superficies aerodinámicas.
- 4.- Número de Reynolds.
- 5.- Número de Mach.

Los incisos 3 y 4 controlan las pérdidas por fricción, las cuales aumentan a medida que el tamaño físico aumenta, puesto que los términos

1, 2 y 3 afectan la turbulencia y pérdidas por separación de flujo. Para un control de flujo máximo, contrario en compresores de altas relaciones de presión, con flechas de altos números de Mach, la velocidad del impulsor y la potencia de diseño requeridas por los paletos son calculadas y optimizadas. Deben ser evitados los cambios rápidos de velocidad y los cambios entre giochi que podrían llevar a la separación del flujo.

Los impulsores modernos tienen eficiencias de 80 a 90% y hasta de 93%; estos pueden producir eficiencias por paso de 80 a 93% en compresores simples de capacidades de 5000 a 20,000 cfm (150 a 600 m^3/min), teniendo una buena entrada. Los compresores múltiples con entradas al impulsor relativamente cercanas, tienen eficiencias por paso de 75 a 80% y en un compresor estacionario de cámara eficiencia varían de 70 a 80% dependiendo del tamaño y de la relación de presión.

Las fuerzas del impulsor debidas a las fuerzas centrífugas son una función de la configuración del diseño y de la densidad del material, y una función cuadrática de la velocidad periférica. Con una geometría dada, la velocidad periférica permitida y la diferencial por paso dependen de la relación de fuerzas producidas y del peso específico del impulsor.

El sistema del rotor, incluyendo a la flecha, deberá ser diseñado para una mínima deflexión en todos los rangos de velocidad de operación. Las velocidades críticas, que son las RPM coincidiendo con la frecuencia natural, deberán ser conocidas de antemano y fijadas arriba o abajo de las velocidades de operación, usualmente con un margen de 15 a 20%. Los rotores pequeños hasta para tres pasos de compresión, pueden operar usualmente debajo de la primera velocidad crítica. Los rotores grandes, desde cuatro pasos en adelante, están diseñados para trabajar entre la primera y la segunda críticas.

La primera velocidad crítica es aquella en la cual la flecha vibra entre dos nodos en los dos cojinetes. En la segunda crítica, la línea de deflexión tiene un tercer nodo entre los cojinetes. La segunda crítica está ordinariamente entre dos y cuatro veces la magnitud de la primera crítica; esta es fuertemente afectada por sobre pesos tales como copias pesadas. Todas las velocidades críticas están afectadas por

la flexibilidad de la flecha, así como por la flexibilidad de la in-
tensidad de los estímulos, armadura etc. Con el objeto de disminuir o
dissimular las vibraciones se usan amortiguadores adecuados. Las vibra-
ciones del estator son del orden de 0.001 pulgadas (0.025 mm.).

La operación arriba de la segunda velocidad crítica es general-
mente evitada en los compresores industriales, puesto que la flexibili-
dad llevará a un efectivo sellado de los cigüeñas bajo ciertas condicio-
nes.

Las vibraciones de torsión de la flecha, las cuales constituyen-
un problema en los compresores refrigerantes, no son significativas en
los turbinocompresores.

Armadura. El diseño de la armadura es hecho en función de los
niveles de presión y de los requerimientos de sellado.

El tipo de armadura horizontal permite abrir la unidad con el ob-
jetivo de revisar los elementos de la máquina. El sellado alrededor de
la pestana horizontal debe ser llevado a cabo usualmente sin engranes,
sobreponiendo ambas mitades de la armadura. Este y el sellado de las
insertiones del estator presentan un problema a altas presiones, e con
gases de bajo peso molecular tales como el helio, hidrógeno, metano
etc. Para gases de bajo peso molecular, el tipo de armadura preferido
es el de barril y usando engranes de metal, acero, níquel y silicón.

La armadura de barril es de construcción simple y accesible en
compresores pequeños de uno y dos pasos. En compresores múltiples, la
accesibilidad es mejorada por un diseño doble con una bondadura hori-
zontal dentro del ensamblaje del estator. Este diseño se usó originalmen-
te en bombas de alimentación de calentadores y se usa ahora en la re-
circulación de compresores de gas a niveles de presión de 500 a 1500 psi
(35 a 100 kg/cm²) en compresores de aire.

Las armaduras de barril son usadas en todas las líneas de compre-
sores auxiliares de gas. Tienen un diámetro hasta de 8 pies (240 cm) y
un grosor de 2.0 a 3 pulgadas (6 a 13 cm).

Los materiales de construcción de las armaduras son de hierro
colado, hierro dúctil, acero fundido. Para bajas temperaturas se usan
aceros con 5 a 7% de Níquel. Para gases corrosivos se usa acero inoxi-
dable. Las inserciones de la armadura, difusores, diafragmas y guías
están construidos de acero o hierro fundido de alto grado. Si el
compresor es enfriado con agua, se deberá usar bronce o aluminio.

Los materiales de los armazones deben ser lo suficientemente fuertes para soportar las cargas debidas a las tuberías y a las turbinas, y la resistencia y constitución de la base deberá ser igualmente fuerte. Las cargas por las turbinas no deberán exceder del 30% del peso estático del compresor y deberán ser distribuidas lo más posible por medio de apoyos de tuberías, valvulas de expansión cerca del compresor etc.

Componentes corriéndables. Los componentes corriéndables (estacionarios) son parte de la armadura e están dentro de ella. Ellos son:

- 1° Ductos de entrada (entre la pestana interior y la guía del primer paso).
- 2° Guías o cañones de entrada, o la entrada de cada impulsor.
- 3° Difusores en la periferia de cada impulsor.
- 4° Comunicaciones entre cada paso.
- 5° Colector principal de descarga en la pestana de descarga.

Los difusores y paletas entre cada paso están combinados en diafragmas expandibles, con paletas fijas. Las paletas fijas son a veces intercambiables con paletas de gresite, de vulcanito duro y con contrarextrusión, para correcciones de funcionamiento. Los difusores en compresores industriales son en su mayoría sin paletas y ofrecen una curva muy amplia de eficiencia. Los difusores de paletas son usados en pasos de altas relaciones de presión, y en impulsores de bajos coeficientes de flujo, pues permiten una difusión más rápida y una eficiencia de diseño mayor. Las comunicaciones de retorno entre el difusor y las paletas fijas del siguiente paso cambian el flujo de dirección periférica en dirección radial.

Sellos de la flecha. Los sellos se usan con el objeto de evitar las fugas, especialmente en caso de que el gas sea tóxico, inflamable, venenoso y a altas presiones.

Las velocidades de fricción en los sellos deberán ser de 150 a 200 pie/seg (45 a 60 m/seg).

Los sellos para altas velocidades son de tres clases:

- a) Sellos de laberinto.
- b) Sellos de anillos de ajuste.
- c) Sellos mecánicos.

Ninguno de los sellos anteriores es perfecto.

a) Sellos de bártirante. Este tipo de sello es el más antiguo, es fácil de construir y es libre de problemas. La relación de escape es relativamente alta (1 a 2% del flujo del compresor en unidades pequeñas), pero fácil de calcular. Este tipo de sello es usado universalmente en puntas entre cada paño, en las flechas de los ventiladores y en aquella donde se teleoan pequeñas pérdidas de gas. (fig. 31).

Banadida existe un tipo, el cual consiste en dientes rotatorios de material duro, lo cual permite girar con un clavo de casi cero y manteniendo pequeñas fugas. El material suave en estos casos deberá ser bronce, aluminio, grafito, hierro fundido suave, una aleación plomo estannio y acero inoxidables elevado para altas temperaturas.

b) Sellos de anillos de ajuste. Este tipo de sello, apoyado con sellos de aceite de alta presión, es muy usado en compresores de hidrocarburos a alta presión, para retroreacción, para transmisión de gas etc. Los anillos de ajuste, usualmente son de acero babbitt de 0.75 a 4 pulgadas ID a 10 del dia un clavo en el diámetro de la flecha de 0.031 a 0.048 pulgadas (0.800 a 1.000 mm). Estos deberán girar con el roter y sellar con la armadura. La presión de aceite de sellado es mantenida 3 a 13 psi por encima de la presión del gas (0.35 Kg/cm² a 1.05 Kg/cm²). El sellado es por medio de dos direcciones, a través del anillo de ajuste interior hacia la región de alta presión y a través del anillo de ajuste exterior hacia la región de presión atmosférica. El sistema de sellado por aceite es costoso y complicado, pero el sello está libre de desgaste y es muy seguro.

Sellos de anillo. Este tipo de sello opera de forma parecida al tipo de anillos de ajuste, con el principio del flujo capilar a través de un clavo cerrado, pero el fluido de sellado es usualmente un gas o vapor. En turbinas de gas se usan anillos de carbón y también en compresores de gas o vapor, así como en los de aire. En caso de que el gas de sellado contenga algo de humedad, ésta lubricará a los anillos de carbón y los clavos serían muy pequeños, y por lo tanto, las fugas serían muy reducidas. Actualmente se están usando anillos de metal para áreas de baja presión.

c) Sellos mecánicos. Este tipo de sello consiste en un sello no rotatorio perpendicular al centro de la flecha, un miembro rotatorio de material compatible, un resorte, fijado a la flecha que retenga

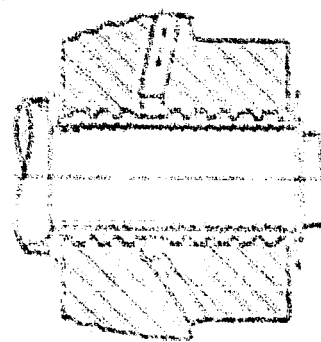


Fig. 31

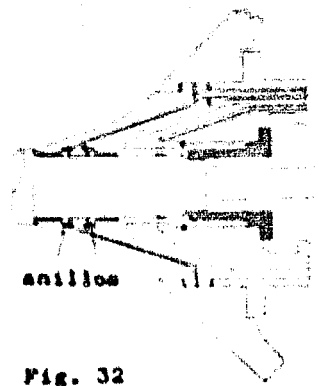


Fig. 32

a un anillo entre el eje y un collar anular secundario entre el miembro suelto del collar y la flecha o coja. Los materiales pueden ser cerámica o cerámica entre eje, eje fundido, acero inoxidable, acerite o cerámica dura. Los anillos secundarios son anillos de bala, anillos de tipo plástico o fustiles de acero, resina o cerámica. Si el collar primario tendrá muy poco grosor se lo enfriará o lubricará por un líquido.

Cojinetes. Los cojinetes en los compresores centrífugos son generalmente del tipo de collarín, que son los usados en las turbinas de gas. Los cojinetes deberán tener sistemas de lubricación de aceite a presión cuando excedan las velocidades de 3000 rpm.

En los sistemas puntuales de alta velocidad las cargas en los cojinetes deberán ser muy termodinámicas para una operación estable. La polifila de aceite puede agredir al eje del eje y operar dentro del collar o el cojinete. Este fenómeno, llamado también vibración de aceite se manifiesta por un desgaste excesivo y una operación ruidosa y se puede evitar o corregir de los siguientes maneras:

- 1º Elevando la carga del cojinete.
- 2º Usando una chumacera multicojineteada.
- 3º Variando el collar (algunas veces).

Los cojinetes multicojineteados (elípticos, o de dos, tres o cuatro lóbulos) tienden a centrar la flecha entre dos, tres o más puntos del soporte periférico.

Los materiales de los cojinetes son bronce, acero cubierto con babbitt y aluminio.

El lubricante preferido es aceite mineral ligero SAE 10 ó 20. Los aceites pendientes deberán usar donde la viscosidad sea abatida por contaminaciones (frenos) o donde los sistemas de lubricación estén combinados con turbinas, engranes y motores. Los aceites sintéticos tales como fosfato ésteres son usados en ciertos tipos de compresores por su resistencia al fuego. En cierto tipo de compresores de oxígeno se usa agua como lubricante y fluido sellante y cojinetes de óxido de aluminio. Los cojinetes lubricados por aire o gases son muy usados en turbomáquinas pequeñas de plantas nucleares (recirculadores de helio).

Coplas. Los coples de la flecha deberán permitir un desplazamiento axial considerable de la flecha (aproximadamente 1/8 de pulgada

-44-

Si se esfuerza demasiado y con deslizamiento angular excesivo, la desaceleración o alto rebote puede ser peligrosa, incluso hasta la extensión de saliente de la abertura, en este, inmediatamente desgrada su haber sido protegido. Los rieles están diseñados particularmente para su uso en el tipo expreso. La fuerza ejercida por los rieles no hace que un sistema de retroalimentación sea este.

Típos de compresores centrífugos. Los compresores centrífugos de simple y múltiple efecto están agrupados en diferentes categorías en base a relaciones de presión (o diferenciales), niveles de presión y algunas veces, tipo de admisión.

Ventiladores. Los ventiladores elevan la presión a solo unas pulgadas de agua, usualmente sea de simple efecto y mueven aire, gas o vapor entre diferenciales muy bajos como de niveles atmosféricos. La densidad asciende a poco del 1%. Las capacidades varían de 100 a 100,000 cfm (10 a 3000 litros/segundo). Los bajos niveles de esfuerzo en el rotor y la armadura permiten construcción ligera, usualmente en láminas. Los coeficientes de flujo sea muy altos (0.15 a 0.30) permitiendo impulsiones simples a la entrada.

Los impulsores deberán tener:

el paletón radial, para construcción barata.

El jaula de artillo o paletas inclinadas hacia adelante, para flujo adiabático y velocidad mínima del rotor.

el paletón inclinados hacia atrás, para una buena eficiencia y una curva plana de potencia.

El último tipo de impulsor, sea paletas gruesas y forma de superficie de austemperación en ventiladores grandes, tendrán eficiencias de 80% total o de esa estática. Los ventiladores simples tendrán eficiencia de 60% total y de 40 a 50% estática. Los diferenciales y eficiencias estáticas basadas solamente en aumentos de presión sea mucho mayores que los diferenciales o eficiencias totales, los cuales incluyen energía de velocidad. La diferencia entre los dos valores puede ser disminuida por un ducto difusor en la descarga de la armadura.

Compresores auxiliares. Los compresores auxiliares son de baja relación de presión, que en su mayor parte son compresores simples y que trabajan a niveles de presión altos. Los compresores auxiliares de las líneas de gas natural son de este tipo y operan con relaciones de presión de 1.05 a 1.015 en un paso y hasta 1.06 en dos pasos, y a unos niveles de presión en la descarga hasta de 70 a 90 atmósferas. Los recirculadores para procesos químicos, como síntesis de amoniaco

diseñados operar a niveles de presión de 3000 a 30000 pies (200 a 340 atm); los reactores de CO₂ o de helio, para enfriar reactores nucleares han sido diseñados para temperaturas de 300 a 1000°F (350 a 520°C) y a presiones de 300 a 2000 pies (20 a 34 atm).

Los compresores axiales de gas deberán absorber una gran cantidad de potencia, de 3000 a 15000 CV en un impulsor de un paso de 24 a 36 pulgadas de diámetro (60 a 91 cm), por consiguiente, estos son diseñados para eficiencias de 80 a 85%.adicionalmente deberán operar en un rango de flujo muy amplio (50 al 110% del flujo de diseño). El medio de control de la fiesta es por medio de anillos de ajuste o de película de metal. Algunos estos motores de eje de alta presión y con muchas precisiones. Los armaduras son del tipo de barril, pesadas y rígidas, diseñadas para resistir presiones internas muy altas y cualquier distorsión debida al peso de la bobina. El control de una operación amplia se obtiene por adiciones de velocidad variable, o con paletas fijas de entrada adaptadas a velocidades de velocidad constante.

Sopladores, compresores y cebadores. Aunque no hay una definición entre sopladores y compresores, se considera que los sopladores elevan la presión hasta 33 pies (3.4 atm), a que llevan aire atmosférico a relaciones de presión de 1.2 a 1.4 en un paso y de 2 a 4 en pasos múltiples. A los compresores se les denuncia así cuando son para aire a altas relaciones y para gases y vapores a relaciones cualesquier. Los cebadores son compresores o sopladores que tienen una presión subatmosférica a la entrada y una presión superior a la atmosférica en la descarga.

Los sopladores de un paso con capacidades de 2000 a 20,000 cfm (60 a 600 m³/min) están construidos para cubrir las necesidades de aire de combustión en una planta de fuerza. Los impulsores operan a velocidades periféricas de 500 a 900 pies/seg (15 a 27 m/seg) y con engranajes esterizados. Están fabricados de acero forjado, acero fundido, y los de pequeños tamaños son de aluminio.

Los compresores de un paso, para aire tales como los supercargadores y componentes de turbinas de gas pequeñas o para gases pesados, como freones en refrigeración y en plantas de difusión de gas, están construidos para relaciones de presión de 1.5 a 5 comercialmente y hasta 7 experimentalmente. Algunos de estos representan la última

paletas en refinamiento aerodinámico para manejar flujos con un número de Mach alto. Las velocidades absolutas de los flujos fuera del impulsor deberán ser espirales y deberán ser primero reducidas a valores subsonicos en un difusor sin paletas y entonces llevarlos a números de Mach de 0.1 a 0.4 en un difusor de tipo voluta.

Si el número Mach en el flujo es alto, las altas relaciones de presión se pueden obtener con diferenciales cruciales y velocidades periféricas tangenciales del impulsor y presentan un problema mecánico frecuente. Como siempre existe el problema del alto número de Mach debido a la velocidad muy baja del sonido en tales gases y requiere una atención muy cuidadosa para condiciones de flujo transónicas y supersónicas.

Los compresores para aire, de altas relaciones de presión deberán dar diferenciales del orden de 10,000 a 30,000 pies (3000 a 15000 metros) en comparación de los 5000 a 12,000 pies (1500 a 3500 metros) por paso en la mayoría de los compresores industriales.

Los compresores de altas relaciones de presión tienen altas eficiencias, de 7% a 8% dependiendo del tamaño y tienen gran ligereza. El rango de operación estable y eficiente es inherentemente pequeño de 85 a 105% del flujo de diseño, a menos que sea aumentado por mecanismos de geometría variable. Esta sensibilidad a la desviación del flujo de diseño es física; esto es debido a las paletas radiales y a las velocidades casi sónicas que causan pérdidas altas por colisión y separación de flujo al margen de diseño de los ángulos de incidencia de las paletas. Por esta razón, los compresores con relaciones de presión extremas por paso están limitados en su utilidad a supercargadores, turbinas de gas y aplicaciones similares donde se tolera un rango limitado.

Compresores múltiples. Actualmente es posible con un compresor centrífugo de un paso operar con diferenciales hasta de 30,000 pies (15,000 metros). A primera vista se ve que un compresor de un paso sería suficiente y no tendría caso un compresor múltiple. No obstante, es evidente que existen muchos requerimientos de operación en compresores industriales, tales como:

1.- Un rango estable y amplio de operación, que varía de 50 a 130% del flujo de diseño en pequeñas relaciones, hasta del 65 al 110% en altas relaciones.

2.- Velocidades limitadas de los motores accionadores.

3.- Disponibilidad de balenes, coples y sistemas de sellado a bajas velocidades.

4.- Adaptabilidad a condiciones variables por intercambio de componentes de paos extender.

Todo indica claramente la necesidad de compresores múltiples de bajas diferenciales. Los compresores múltiples son usados universalmente en la industria de la refinación.

Sabido que el número de paos en una sola unidad es limitado por las siguientes consideraciones:

1.- Excesiva flexibilidad de la flecha. La operación cerca o arriba de la segunda velocidad crítica lateral de la flecha debe ser evitada.

2.- Excesivas temperaturas del gas cerca de la descarga, causando reacciones exotérmicas, tales como oxidación, polimerización etc.

3.- Excesiva demanda de caballaje para los paos mayores debido a las altas temperaturas de entrada.

Las límites anteriores existen, pero generalmente restringen las diferenciales totales de compresores no enfriados para hidrocarburos hasta 40,000 pies (12,000 metros); para aire hasta 50,000 pies (15,000 metros) y si se desea una eficiencia isotérmica máxima, de 20,000 a 25,000 pies (6000 a 7500 metros); y para cloro y oxígeno hasta menos de 20,000 pies (6000 metros).

Compresores con enfriamiento. Si el calor de compresión no es necesario en el proceso químico, entonces la potencia de compresión deberá ser reducida por enfriamiento del gas en uno o varios puntos del proceso de compresión. El trabajo mínimo de compresión es el isotérmico, que sería el proceso ideal en un compresor sin fricción y en el cual el calor sería removido inmediatamente después de ser generado. La diferencial isotérmica está dada por la siguiente ecuación:

$$H_1 = p_1 V_1 \ln r = ZNT_1 2.3 \log_{10} r$$

La tabla III da una idea de la reducción de la potencia por enfriamiento, para aire y propano.

Tabla III

Reducción de potencia con enfriamiento

Relación para:	Relación de presión			
	1.2	3	6	12
Aire $k = 1.4$	1.0	0.631	0.768	0.668
Propano $k = 1.15$	1.0	0.931	0.890	0.847
Reducción posible de potencia				
Aire	0	14.9%	23.2%	31.2%
Propano	0	6.9%	11.0%	15.3%

Como se puede apreciar, la reducción es bastante significativa a altas valors de $\frac{P_2}{P_1}$.

En la práctica, la eficacia del enfriamiento es disminuida por pérdidas de presión, por temperaturas aproximadas y por limitaciones de costo y volumen. En consecuencia, se considera que el enfriamiento vale la pena en gases diatónicos y sobre todo en relaciones de presión de 2 a 3, y sobre 5 en hidrocarburos pesados. Si enfriamiento puede ser llevado a cabo por las siguientes métodos:

1.- Interenfriadores montados entre compresores individuales o entre pasos o grupos de pasos en un compresor.

2.- Cambiadores de calor internos (diáfragma, enfriador de la armadura) donde algunos de los pasajes aerodinámicos constituyen la superficie del cambiador de calor.

3.- Gas de enfriamiento, por inyección del mismo, donde algunos gases del proceso de baja temperatura son alimentados a los pasos superiores de compresión.

4.- Enfriamiento por inyección de líquido, usando agua o un gas licuado de un proceso en las entradas de uno o más pasos, para enfriar por evaporación (ej. amoníaco en aire).

Los métodos más aceptados son el (1), el (3) y el (4), siendo el (1) el que casi vez tiene mayor aceptación.

El enfriamiento por tubos de agua ha sido muy usado, pero últimamente se ha usado un tipo de superficie extendida de tubos alejados con el gas fluyendo en singulos rectos a los tubos de agua. Con

en doble paso del aire y con uno solo, las pérdidas de presión en el aire se reducen de entre 6 y 24 hasta de 0.8 a 2%. Con coeficientes de 50% caída de presión es actualmente práctico el usar relaciones de compresión de aire tan bajas como 1.3 en enfriadores, o lo que es lo mismo, caídas de presión de cada paso.

Por ejemplo, con compresión de aire de relación total de 9:1 y una eficiencia térmica pura de 80%, entre los interenfriadores, tendrá las eficiencias térmicas de la Tabla IV en función de la caída de presión y del número de interenfriadores.

Tabla IV

Eficiencia térmica contra caída de presión del candidor

T entrada del aire = 80°F
(26.7°C) T salida del aire = 100°F
(37.8°C)

Las relaciones de presión entre los interenfriadores son iguales

% de eficiencia térmica	Nº de puntos de interenfriamiento				
	0	1	2	3	4
1% ΔP enfriador	57.5	56.2	59.0	70.5	71.1
2% ΔP enfriador	57.3	65.0	66.5	66.3	66.1

La eficiencia térmica está definida por la relación de calor térmico:

$$\frac{P_2}{P_{100}} \left(\frac{P_2}{P_1} \right)^{2.3} \log r$$

La Tabla IV muestra que al reducir la caída de presión del 3 al 1% se obtiene un ahorro del 5% y que el número óptimo de puntos de enfriamiento es 1 ó 2 en enfriadores de alta resistencia y 3 ó 4 ó más en enfriadores de baja resistencia.

Controles de operación. En el diseño de un compresor no solo deben intervenir los valores de flujo y diferencial de presión, sino un amplio campo de otras condiciones. Aunque su velocidad haya sido fijada, el compresor deberá bombear gas a cualquier parte, dentro de un amplio rango de flujo a determinadas diferenciales y siguiendo una curva II contra flujo (fig. 33). El flujo y la diferencial del compresor son determinados por el punto o puntos donde se intersectan dos curvas características (fig. 34).

En pocas palabras, tales como los sistemas de ventilación, un compresor puede ser adaptado a un sistema sin ningún control posterior. Usualmente se requiere un ajuste periódico de las características del compresor, ya que:

- 1.- El operador deberá conocer las presiones de descarga y/o, las masas que fluyen. Esto requiere ajustes desde las temperaturas de entrada, la presión de entrada e la composición del gas cambien.
- 2.- Del mismo, deberán ser conocidas las condiciones de cambio del sistema de compresión.
- 3.- El compresor deberá trabajar en serie o en paralelo con otras fuentes de gas comprimido.
- 4.- El accionador de sobrecarga debe ser evitado al iniciar el trabajo, o en ciertas condiciones de operación.
- 5.- Se debe evitar la inestabilidad del compresor.

El control de funcionamiento del compresor puede ser afectado por:

- 1.- Cambio en la velocidad.
- 2.- Estreñimiento en la pend. de descarga.
- 3.- Estreñimiento en la pendiente de entrada.
- 4.- Control de las paletas fijas.
- 5.- Control de derivación (blew-off).

Debido a la característica casi horizontal a velocidad constante de un compresor centrífugo (fig. 24) en contraste con la característica casi vertical de un compresor de desplazamiento positivo (fig. 13), los medios de control tienen que usarse diferente en ambos tipos. Por ejemplo, la velocidad de un compresor centrífugo controla fuertemente la diferencial de presión.

$$H = \text{constante} \times U^2$$

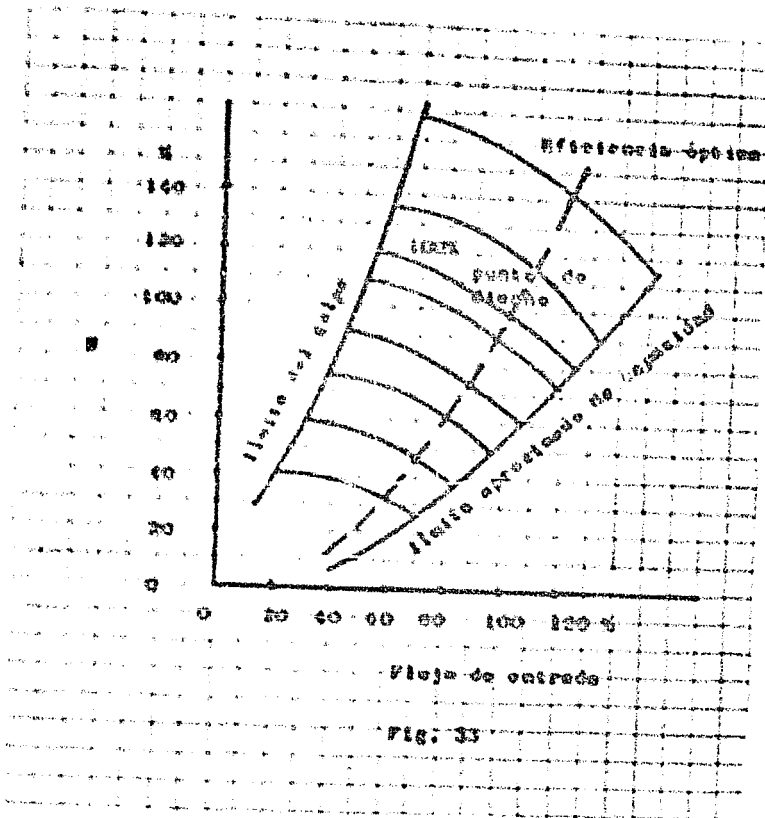


Fig. 33

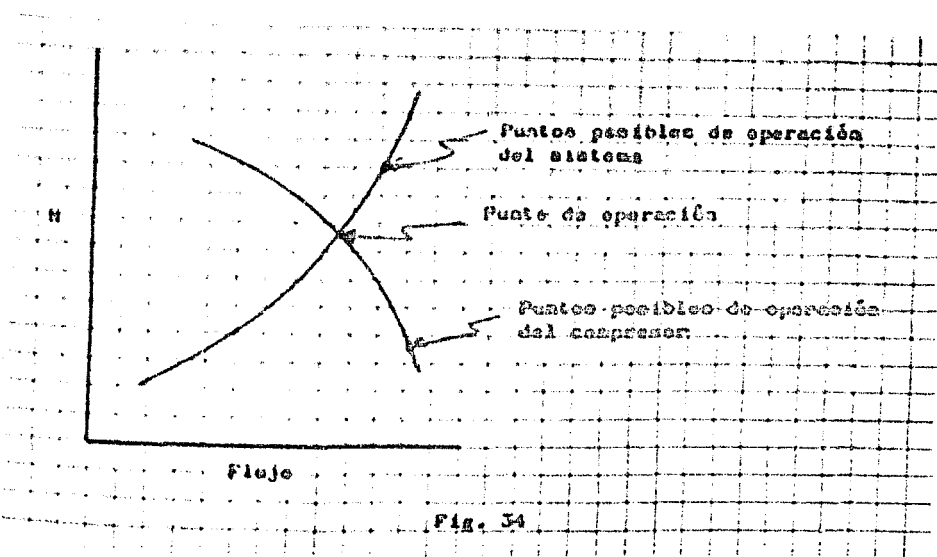


Fig. 34

sta un gran exceso del amplio rango de flujo relativo, mientras que en un compresor de desplazamiento positivo, la velocidad controla precisamente el flujo, aparte de la diferencial de presión requerida.

Solenmente en caso de un sistema geométrico fijo y una curva parabólica de un sistema de rotátorio, tendrán los compresores centrífugos y de desplazamiento positivo condiciones estables con un control de velocidad constante.

$\Delta P = \text{constante} \times v^2$

Flujo = constante \times velocidad

Diferencial de presión = constante \times (velocidad)²

Este es el caso, por ejemplo, de un soplador con una máquina de doble carrera.

Control de velocidad. El control de velocidad es deseable para las condiciones (I), (II) y (III) sujeto a las necesidades de un adicional de potencia, pues éstas traen consigo un ajuste exacto de diferenciales e niveles de presión. Si la relación de flujo a velocidad Q/N pude tenerse cerca de la relación de diseño a lo largo del rango de velocidad, entonces la geometría de flujo óptima contra ángulos de las paletas se mantiene con una eficiencia cercana a lo óptimo. Si el control de velocidad es fácilmente obtenido con turbinas de vapor, la mayoría de las turbinas de gas y motores de rotor embebido. Con motores de velocidad constante se suela añadir un coplo hidráulico o convertidor de momento para control de velocidad. En caso de que el control de velocidad sea indecente o insuficiente el operador puede recurrir a los siguientes medios de control.

Entrenegulación de descarga. Esto es un mecanismo simple para reducir la diferencial de presión sin cambiar el rango del flujo. Esto incurre en un perdida directa del caballaje del compresor. Se usa en ventiladores y sopladores de bajo caballaje.

Entrenegulación de entrada. Esto es un mecanismo usado ampliamente para reducir el flujo y la cabecera de los sopladores y compresores. La eficiencia del compresor en una operación entrenaquillada es mayor que en la entrenegulación de descarga si la curva de diferencial de entrada contra característica de flujo tiene una pendiente negativa, esto

excede, si las paletas del impulsor están curvadas hacia atrás, los aberturas de caballaje son más pronunciadas en compresores múltiples. Con paletas radiales, en donde la curva H/Q contra Q es una línea horizontal, no existe ganancia de caballaje sobre la estrangulación de descarga. Con paletas inclinadas hacia adelante, como en una rueda de ventilador de tanque de artillería, la estrangulación de descarga resulta ser mayor que la estrangulación de entrada.

La estrangulación de entrada tiene el efecto de acentuar la pendiente de las características de diferencial de volumen, rotando hacia abajo alrededor de un punto de atasco inmóvil con flujo cero y cerca de la diferencial máxima, y así impone un buen control de flujo a diferentes especificaciones. Alarga sobre el rango estable de operación hacia flujos menores.

Control de paletas fijas. Este control en el primer o en varios pasos, produce una rotación de la curva diferencial volumen similar a la que produce la estrangulación de entrada, pero con mejoras significativas:

1.- Trabajan en ambas formas, para aumentar o disminuir la diferencial y el volumen por contratiempo y por pre rotación de la disposición de paletas fijas.

2.- Esto no incurre en pérdidas directas de eficiencia. Los cambios de diferencial del impulsor se obtienen en su mayor parte libres de pérdidas a través de la conversión adiabática de presión estática y temperatura en diferenciales que descargan y sobrecargan al impulsor, en contraste con la estrangulación, la cual no recobra la diferencial de velocidad.

Las pérdidas indirectas ocurren en el extremo de las paletas fijas debido a pérdidas por incidencia en las paletas.

La eficiencia en varios métodos de control está comparada en la tabla V para dos compresores A y B, en donde A es un compresor múltiple con características normales (aumento del 5% de diferencial con una reducción de flujo de 2%), y B es un compresor radial de un paso. Si el requerimiento de potencia en el punto de diseño, es decir, donde hay 100% de flujo y 100% de diferencial, es de un 100%, entonces la demanda de caballaje en el nuevo punto de operación con 80% de flujo y

con RDI de diferencial, deben ser aproximadamente como se muestra en la tabla V.

Tabla V

Efectividad de los diferentes sistemas de control

Tipo de control	Velocidad %	Difusor de cabellaje %	
		Compresor A	Compresor B
Variación de velocidad	60	63	45
Retrangulación de descarga	100	93	80
Retrangulación de admisión	100	80	80
Paletas fijas de pretracción primer paso	100	70-75	65
Paletas fijas de pretracción todos los pasos	100	63	--

El control de velocidad y el control de las paletas fijas ofrecen la mejor efectividad. El control de las paletas fijas en todos los casos es muy complejo, y por eso ya casi no se usa. El control de velocidad es deseable en donde las variaciones de diferencial son muy grandes. El control de paletas fijas y de retrangulación son los más usados para pequeñas cavidades de diferencial y altos cambios de flujo.

Control de derivación. El control de derivación se usa para evitar un fenómeno de inestabilidad llamado golpe del compresor. En los compresores axiales, este término es conocido como ahojo.

El golpe es causado por una pérdida de control de flujo ordenado, en los pasajes del impulsor o del difusor, debida a las velocidades de flujo muy pequeñas para mantener las fuerzas de altura impuestas o diferenciales. El golpe ocurre poco a determinado coeficiente de flujo crítico, o debajo de este, que debe ser del 40 al 90% del coeficiente del flujo de diseño, dependiendo del tipo de compresor.

Operacionalmente, el golpe limita de un compresor de un paso, es usualmente el flujo correspondiente al punto de diferencial máximo en la curva diferencial flujo. La pendiente positivamente inclinada a varios flujos significa una operación inestable del compresor.

Si el compresor está operando en esta área, cualquier momento de reducción de la descarga de gás o la presión causará reducciones de flujo en la tubería o en el secador; tales reducciones de flujo agravan los cambios de presión. Entonces si el compresor se fuerza durante una operación de flujo cero hasta que la presión del sistema sea a un volumen menor y el compresor se quiebre sobre un flujo alto, de diferencial pequeña, que es un punto de operación estable. entonces, a medida que la presión del sistema se eleva, el flujo del compresor decrece, pasando el golpe límite otra vez. Hasta un flujo cero y el ciclo se repite.

Las frecuencias del ciclo del golpe varían desde unas cuantas ciclos por minuto hasta 12 ó más ciclos por segundo. El flujo principal cambia de sentido dentro del compresor y el sistema cause un ruido fuerte muy a menudo y una vibración de la tubería. Una cuantas segundos y aún más de golpe sucesivo se causaría daño al compresor, pero la separación en golpe es suficiente y conduciría a un calentamiento excesivo.

El límite del golpe, esto es, el flujo mínimo para una operación estable a cualquier velocidad dada, puede controlarse a alguna extensión, probablemente de 10 a 20% de estrangulación de la entrada o por paletas fijas (el control de las paletas fijas puede mover a un límite de golpe hasta un 15 ó 17% del flujo de diseño si alguna reducción de la diferencial se permite, como en los frenos en refrigeración). El operador se encargará de que el flujo del compresor sea siempre superior al límite del golpe. Si el proceso requiere un flujo menor, entonces la diferencia entre la demanda del flujo y el flujo mínimo estable deberá ser recirculado alrededor del compresor en una derivación controlada por estrangulamiento, o en el caso de nopladores de aire, relevado a través de una válvula.

Algunas veces el conducto de derivación está dentro de la armadura del compresor y conectado con una turbina de expansión al final de la flecha del compresor. De esta forma, parte de la potencia del compresor que se hubiere perdido por una derivación estrangulada, será recibida por medio de dicha turbina.

Procedimientos de arranque. MÁS o MENOS todos los turbomáquinas, incluyendo a los compresores centrífugos, siguen una relación entre velocidad, momento de torsión y cabilloje multiplicado, conocida comúnmente como ley de la proporción, lo cual dice que bajo ciertas condiciones:

- 1° El momento de torsión varía con el cuadrado de la velocidad.
- 2° El cabilloje varía con el cubo de la velocidad.

Lo anterior es cierto siempre y cuando el flujo pueda variar linealmente con la velocidad (multiplicando un coeficiente de flujo constante Q/V) y si la densidad del gas de entrada permanece constante. Tal condición prevalece, por ejemplo, en aspiradores con entrada atmosférica y trabajando contra la resistencia del conducto del sistema con geometría definida. El momento de torsión es muy bajo a bajas velocidades y esto simplifica la selección de los accionadores.

Los aspiradores requieren altos momentos de torsión a velocidades reducidas durante la aceleración, especialmente si la relación de presión de diseño es alta. Por ejemplo, un exhauster de aire, con una relación de 6:1, con una descarga atmosférica, a velocidad media requerirá sobre el 100% de momento a máxima velocidad y sobre el 90% de potencia de entrada a máxima velocidad. El accionador deberá ser preferentemente una turbina de gas con flecha de fuerza libre o del tipo de tracción, o una turbina de vapor.

Una curva de momento de torsión, de arranque y aceleración tanto similar se encuentra en sistemas de refrigeración simple usando freones o hidrocarburos pesados. El sistema se arranca usualmente a la presión correspondiente a la temperatura de presión de vapor del nivel de la carga. A medida que aumenta la velocidad del compresor, la presión del evaporador se reduce y la temperatura de condensación aumenta, así como la presión. Con un compresor de entrada abierta, la curva del momento de torsión será similar a la de operación de un exhauster, pero entre dos tercios y tres cuartos de la velocidad máxima. Si el accionador es una turbina, el requerimiento del momento de torsión no representa problema, pero con un motor de inducción habrá un levantamiento a dos tercios de la velocidad máxima, a menos que el momento de torsión sea temporalmente disminuido por un cierre parcial o total de las paletas fijas o de la válvula de gorganta a la entrada del compresor.

Los compresores auxiliares centrífugos de tubería, los cuales

se opera igualmente en serie con otros compresores auxiliares en la línea, presentan un problema un tanto similar al arrancar. Dada una línea de presión establecida, la ganancia de succión será disminuida y la presión de descarga aumentada, a medida que disminuye la velocidad del compresor. Sin embargo, es factible que el gas fluya a través de una relación dada, dentro del principio de derivación establecido del compresor auxiliar hasta que la velocidad del émbolo sea lo suficientemente alta para permitir una diferencial de presión crítica de éste en la relación de flujo establecida. A menudo, el efecto del aumento de torsión de arranque y la alta potencia inicial de empuje del balero del compresor, hace de relevante y decisivo en el nivel de presión deseada el arranque inicial.

La operación en paralelo con otros compresores teniendo una diferencial de presión establecida anteriormente, presenta el problema de que dicha diferencial se puede tener solo después de que ha alcanzado la velocidad máxima. Durante el arranque y la aceleración, el compresor deberá estar aislado del sistema por medio de una válvula de retención en la línea de descarga. El flujo de descarga del compresor es usualmente contrario a la succión, o disminuye si es factible, a una relación comprendida por una cifra, para prevenir el golpe de arrastre. Si no derivada deberá ser enfriada en compresores de alta relación, pues lo otro sería, el gas caliente a la entrada evitaría que se alcance la relación de presión deseada, sin teniendo las otras condiciones de operación. En algunas casos, por ejemplo en los compresores de refrigeración o planta en paralelo con otro equipo de compresión, el gas que entre al compresor durante la derivación se podrá enfriar hasta la menor temperatura de diseño de entrada, debido a la inyección del líquido refrigerante. Claramente el tiempo de aceleración deberá ser tan corto como práctico.

Algunos de los factores anteriores, el arranque y la aceleración de un compresor centrífugo están influenciados por otros términos tales como la torsión de desprendimiento e inercia del rotor (expresado como $\frac{I^2}{T}$ en Dugdale's sym.). El momento de torsión de desprendimiento es obviamente el momento requerido para vencer la fricción en los baleros antes de que la lubricación de película se haya establecido; es una triple función del peso del rotor, de la potencia de empuje de arranque, de los diámetros de los baleros y del coeficiente de fricción

rea de los materiales de los cojinetes. En un compresor grande de alta presión, este momento de torzón de arranque deberá ser como del 20 al 30% del momento de torzón de potencia máxima. Y es muy pequeño los cojinetes del rotor y con cojinetes del impulsor si la flecha del compresor ha rotado en tanto tiempo anteriormente al arranque, o si la flecha ha sido permanentemente elevada sobre una película de aceite.

Los turbocompresores también han de acelerar y desacelerar que los de desplazamiento variable y la inercia del rotor kg^2 deberá ser conocida y considerada en la estimación del tiempo de arranque y aceleración, especialmente si los accionadores son motores eléctricos. Si el compresor se acelera en pasos de un engrane reductor 0:1 de relación, entonces el rotor kg^2 est. motor deberá ser multiplicado por un factor de 20 o sea la relación del engrane al cuadrado, y se le añade al motor y al engrane total, para determinar la inercia al nivel de velocidad del rotor.

Pruebas en los compresores centrífugos. La operación y el funcionamiento seguros de estos compresores deberán pasar anticipadamente por serie número de pruebas, tales como:

- 1.- Pruebas de presión estética en la armadura, enfriadores etc.
- 2.- Pruebas de sobrevelocidad en los impulsores.
- 3.- Cheques de la vibración y del ruido.
- 4.- Pruebas de los telémetros, sellado y sistema accionado.
- 5.- Pruebas del fundamento aerodinámico.

Las pruebas (1) y (2) son parte de la inspección rutinaria de manufactura, y las pruebas (3), (4) y (5) se efectúan en el sitio de fabricación de las piezas y, o en el sitio de la instalación. Debido a que el tiempo de prueba de un compresor grande es largo, es preferible la revisión y prueba de los componentes del compresor por separado.

1.- Prueba de presión estética. Los componentes sujetos a altas presiones, tales como la armadura, son probados hidráulicamente a un 150% de la presión manométrica de diseño, o a la máxima presión que puede ocurrir a velocidad máxima y a flujo mínimo. Si es necesario, la deflexión en el punto crítico es registrada. Las pruebas especiales de fugas de gas algunas veces se hacen después de las hidráulicas, y se hacen con burbujas de jabón con 100% de presión de aire o nitrógeno para compresores auxiliares de tuberías.

2.- Pruebas de sobrevelocidad. Las pruebas de sobrevelocidad son efectuadas a un 115% de la velocidad de operación máxima (132% de los esfuerzos de operación) en la mayoría de los impulsores para compresores industriales. Los impulsores de acero fundido están girando algunas veces de 120 a 140% de la velocidad de diseño (que es de 144 a 200% de los niveles de esfuerzos de diseño). La sobrevelocidad es ejecutada en un orificio de blindaje fuerte. Una forma muy usada de este orificio es un tanque vertical de acero empotrado en concreto bajo el nivel del piso. La pieza a probar, ya sea el impulsor u otra, es suspendida en una flecha vertical muy delgada que viene de la turbina de aire a la cubierta del tanque. El tanque es evaciado cada prueba en marcha, para minimizar las pérdidas de fricción de aire en el impulsor que gira. En pruebas de desarrollo hasta cerca de la velocidad máxima de ruptura, el impulsor debe ser circundado con blindajes

múltiples de estos límiteado y materia, para localizar el daño. Las velocidades de ruptura son de 1200 a 2000 pies/seg (360 a 600 m/seg) de velocidad periférica en impulsores fabricados y fundidos, y mayores en impulsores forjados y frenados.

Los impulsores de un material dúctil se deformarán mucho antes de alcanzar la velocidad de ruptura. Si las velocidades periféricas de operación pueden ser tan altas como por el orden de 1200 a 1600 pies/seg (360 a 480 m/seg), un 1% de sobrevelocidad de prueba causará una fatiga local en ceder de la mayoría del material más altamente esforzado cerca del centro del eje. En un material de ductilidad suficiente (entre el 5%), esta fatiga local en ceder redistribuirá los esfuerzos y mejorará la estabilidad dimensional en la operación posterior. El impulsor tendrá que ser terminado a adquisas después de la prueba de giro.

3.- Frecuencias de vibración y ruido. Los chequeos de vibración son efectuados en el compresor armado sobre el rango de velocidad de operación normal. Las partes de chequeo son los baleros, cojinetes, algunas veces otros puntos de la armadura y de la flecha. Se puede determinar electrónicamente la amplitud y frecuencia de las vibraciones.

Las amplitudes de las vibraciones permitidas en la flecha son:

0.0015 pulgadas en velocidades hasta de 4000 rpm, o lo que es lo mismo, 0.003 cm.

0.002 pulgadas en velocidades de 4001 a 6000 rpm, o lo que es lo mismo, 0.031 cm.

0.0015 pulgadas en velocidades mayores de 6000 rpm, o lo que es lo mismo, 0.038 cm.

El sitio y la amplitud de la vibración en la primera velocidad crítica son también encogidos en una máquina de flecha flexible.

Los chequeos de frecuencia y nivel de sonido se hacen en donde es importante una operación silenciosa. Los ruidos ofensivos pueden ser causados por:

A) Tuberías abiertas en la succión o en la descarga de los compresores de aire.

B) Entradas de los impulsores a muy altas velocidades o con líneas de corriente de entrada pobre.

- C) Descarga del compresor situada cerca de las paletas del difusor.
- D) Armadura e tubería resonantes.

Las oscilaciones aerodinámicas o ruidos del tipo de sirena en los instantes (2) y (3) anteriores, son inevitables en ciertos compresores, supercargadores y de acción. Pero son aligeradas en los compresores industriales por los bajos niveles de suchos axiales y por el amplio espacio entre paletas rotativas y estacionarias. Los niveles de sonido de 90 a 100 decibels, a una pieza metros del compresor si el sonido es escuchado sin cualquier tipo predominante o frecuencia de ruido, se aceptan.

4.- Pruebas en tubería, cojinete y sistema de sellado. Como se mencionó antes, el desarrollo de estos componentes se lleva a cabo por separado. El chequeo de temperatura, de aceite y de las relaciones de presión se hace usualmente en el compresor armado, junto con las pruebas de vibración, ruido y funcionamiento aerodinámico.

5.- Prueba de funcionamiento aerodinámico. Si esta prueba se efectúa en el lugar de manufactura, se deberá hacer conforme a algún código establecido, tal como el ASME VIII 10-1949 para compresores centrífugos, flujo mixto, compresores axiales y extractores. Por especificación de ciertas longitudes mínimas de tubería recta corriendo hacia y desde la entrada de gas al compresor y las toberas de descarga, y la altitud y configuración de presión, temperatura y mecanismos de medición de flujo; el funcionamiento del compresor puede ser diversificado de los efectos fisióticos de los trastornos de flujo debidos a turbinas, válvulas y radiadores cercanos. En instalaciones campesinas, no siempre es posible efectuar las pruebas prescritas.

En una prueba de funcionamiento de una fábrica, no siempre es posible ni deseable el operar con el gas del proceso en las condiciones de temperatura y presión del proceso. No se deben usar gases tóxicos, inflamables, oxidantes etc. Las pruebas de requerimientos de caballajes altos, tales como de 3000 a 5000 CV a velocidades de 6000 a 10000 rpm son difíciles de obtenerse. Afortunadamente, el funcionamiento de la máquina puede ser evaluado muy exactamente en gama alternadas y en niveles de presión y caballajes diferentes a los de operación.

Un compresor producirá la diferencial de presión correcta contra

característica de volumen, independientemente de la composición o presión del gas, si los volúmenes que pasan a través del compresor son rectificadas a una velocidad dada. Todavía más, aún si la velocidad es diferente, pero si las relaciones de volumen a través del compresor son correctas (por ejemplo, la relación de volumen de entrada y volumen de salida), entonces la característica coeficiente de flujo contra coeficiente de presión deberá ser correcta.

Por ejemplo, un compresor operando con una diferencial de 16000 pies (4880 metros), con un gasto de 5000 cfm ($226 \text{ m}^3/\text{min}$) de gas natural, deberá ser diseñado para girar a 3000 rpm. Si opera a condiciones de entrada de 70°F (16.7°C) y 60°F (15.6°C), desarrollará una relación de presión de 1.63, la descarga del gas es a 110.3 °F (47.7°C) y requiere una potencia de 11,600 CV. La relación de volumen es:

$$\frac{Q_1}{Q_2} = \frac{T_1}{T_2} r = \frac{520.3}{378.3} \times 1.63 = 1.308$$

Para una prueba de funcionamiento de fábrica, se deberá usar un circuito cerrado, consistente en un compresor, enfriador, válvula de garganta, tubería de medición de flujo y la tuerca necesaria. Se llena entonces el circuito cerrado con nitrógeno, debiendo mantener la temperatura del gas de entrada al compresor en 80°F (26.7°C) y se deberá operar el compresor a 13,000 pies (3960 metros) de diferencial de presión, para obtener la relación correcta de volumen con los diferentes gases:

$$H = 13,000 \text{ pies (3960 metros)} \quad r = 1.309 \quad T_2 = 162^\circ\text{F}$$

Dado que se requiere una unión de diseño de los valores \sqrt{r} y r , el flujo y la velocidad serán reducidas por la raíz cuadrada del valor de la diferencial de presión.

$$Q_{\text{nitrógeno}} = Q_{\text{gas natural}} \sqrt{\frac{H_{\text{nitrógeno}}}{H_{\text{gas natural}}}}$$

$$Q_{\text{nitrógeno}} = 5000 \sqrt{13000/16000} = 7220 \text{ pie}^3/\text{min} (204 \text{ m}^3/\text{min})$$

$$N_{\text{nitrógeno}} = N_{\text{gas natural}} \sqrt{\frac{H_{\text{nitrógeno}}}{H_{\text{gas natural}}}}$$

$$N_{\text{nitrógeno}} = 5000 \sqrt{13000/16000} = 4320 \text{ rpm}$$

Si para la prueba se utiliza un acelerador de 200 CV, entonces el circuito corriente deberá ser presurizado hasta 190 pie (13,3 Kg/cm²) en la entrada del compresor, para absorber todo el caballaje que suministra el acelerador. Esto impone los 10000 C suministrados en la instalación final, trabajando con gas natural y siendo las condiciones de entrada a 700 pie (0.7 Kg/cm²) y 60°F (15.6°C).

Para una corrección más exacta de prueba y campo de funcionamiento, la teoría aerodinámica demandará una adición de los números de Reynolds y de Mach. Los números de Mach serán automáticamente adicionados dentro de una parte práctica, si las relaciones de volúmenes sea correctas (las desviaciones se deben solo a diferencias en los valores de R). Una adición de números de Reynolds es siempre lo posible si necesario, aunque las pruebas de los parámetros aerodinámicos no siempre están pulidas lo suficiente para mostrar los efectos del cambio de los números de Reynolds en las reglamentaciones.

En vista de esto, los compresores diseñados para hidrocarburos ligeros deberían probarse con aire, etrigeno o mezcla régas-halio. Los compresores para mezclas de hidrocarburos pesados son probados con gases de peso molecular alto, pero deben ser gases seguros, tales como freones, babilida de carbono etc. a caídas apropiadas de velocidades de prueba para adicionar las relaciones de volumen.

Perpectiva. La tecnología de los compresores centrífugos existe desde hace casi cien años y actualmente está en rápido desarrollo, pues cada vez hay más mejoras y se encuentran más campos de aplicación.

El primer avance científico en el diseño de las turbomáquinas fue hacia el año de 1920, en el cual la entonces moderna teoría de la superficie de separación fue aplicada en el desarrollo de los compresores axiales de 60 a 80% de eficiencia. Llevó unos quince años el obtener eficiencias semejantes en los compresores centrífugos.

El conocimiento moderno del comportamiento aerodinámico de los gases, tanto en su régimen subcrítico como supercrítico, no solo ha mejorado el desarrollo de las altas relaciones de presión por paso (4 a 7), sino que también ha ayudado en el cálculo de las condiciones del margen de diseño, rango de operación estable, pendiente de curvas características etc.

Los desarrollos de equipo centrífugo están actualmente bastante avanzados de esta disponibilidad de técnica de diseño analítico, y por eso cada vez hay más demanda de curvas y gráficas de funcionamiento. Los cálculos de las curvas de los compresores centrífugos son muy lentos, especialmente en los compresores múltiples, y por lo tanto, los casas fabricantes deben tener el equipo necesario de computación rápida.

En el campo de los compresores de refinería, la forma actual de los compresores múltiples de armadura de barril dependiente de los niveles de presión y sellado no ha cambiado mucho aparentemente, aunque después haya adelantos posteriores en refinamiento aerodinámico, adaptabilidad de los componentes estandarizados por paso para un aditamiento exacto a las condiciones dadas, y otras mejoras posteriores en los sellados.

Los compresores múltiples tienen cada vez mayores campos de aplicación, tales como en flujos pequeños ($3 \text{ a } 30 \text{ m}^3/\text{min}$) en donde solamente se usaban compresores de desplazamiento positivo. Esta operación es posible, debido a nuevos accionadores de alta velocidad, turbinas de gas pequeñas del tipo de 300 a 1000 CV.

Otras aplicaciones para compresores miniatura se han desarrollado en recirculadores para síntesis de amoníaco y en procesos criogénicos para absorber la potencia de las pequeñas turbinas de expansión.

Los compresores auxiliares para tubería de gas, parecen crecer en dirección opuesta, de rangos de caballaje de 3000 a 3500 CV hasta rangos de 10,000 a 20,000 CV. Las relaciones de presión producidas por estos compresores auxiliares han aumentado de rangos de 1.05 a 1.15 hasta rangos de 1.3 a 1.6, resultando a veces en el uso de compresores auxiliares de tres pasos. Este desarrollo de compresores auxiliares ha asociado con la expansión de tubería y la economía de las turbinas de gas.

Los mayores compresores que se han construido, en capacidades hasta de 400,000 cfm ($11,340 \text{ m}^3/\text{min}$), son usados para soplar aire en los hornos de las plantas de vapor de altas capacidades. En la mayoría de las aplicaciones desde 1,000,000 a 150,000 cfm ($2800 \text{ a } 4200 \text{ m}^3/\text{min}$) de capacidades se ha establecido que los compresores de flujo axial son más compactos y más económicos, y por ese motivo, se prefieren en donde se requieren sus especiales características de operación.

Los compresores de aire están experimentando la mayor evolución espectacular actualmente. La demanda de aire a la presión de descarga de 100 psig (7 kg cm^{-2}) es para servicios industriales; de 300 a 600 psig ($1.1 \text{ a } 4.2 \text{ kg cm}^{-2}$) para aspiradores de polvo en las calderas y operación en túnel aéreoabiertos, y de 60 a 80 psig ($4.2 \text{ a } 5.6 \text{ kg/cm}^2$) para producción de oxígeno a gran escala. Los compresores para la producción de oxígeno son de caballajes de 2000 a 12,000 CV. Los modernos compresores de aire en pequeños tamaños, son a veces construidos en grupos múltiples de dos, seis para permitir un tratamiento aerodinámico de los interiores, también tienen flechas reforzadas y el diseño de la armadura de barril es sencillo para permitir una producción más rápida.

Los compresores para refrigeración con frenos para acondicionamiento de aire a gran escala han experimentado recientemente un cambio similar en el diseño. En lugar de las máquinas de hendiduras horizontales de dos, tres o cuatro pasos, las máquinas modernas tienen armaduras de barril, uno o dos pasos con rotores fuera de nivel, controles de paletas fijas por inducción de motores y una construcción hermética con sellado interno. Esto ha resultado en un ahorro del costo de producción. En vista de que estos tipos de compresores tienen relaciones de presión de 4:1 a 5:1, es esencial un tratamiento aerodinámico para poder tener un amplio rango estable para altos números internos de Mach.

Las eficiencias establecidas en compresores axiales son del orden de 83 a 87% y en los compresores centrífugos son de 65 a 71%.

En el campo de la energía atómica, los compresores centrífugos han encontrado una nueva área de aplicación. Tales de compresores especiales son usados en las plantas de difusión gaseosa, para bombear compuestos pasando de uranio a través de barreras especiales con el objeto de separar los dos isótopos de uranio. El extremado ento alto para mover el gas procesado y su alto costo, han planteado algunas problemáticas extrañas aerodinámicas y de sellado. Actualmente, otros tipos de compresores auxiliares centrífugos están siendo desarrollados para servir en reactores nucleares de gas enfriado. Estos basados en alta velocidad de carbón o silicio náucleo de presión y temperatura, algunas del orden de 500 psia (350 Kg/cm^2) y 500°F (260°C), y otras a temperaturas aún mayores. El sellado absoluto es otra vez una mejor consideración y algunas de las diseños de compresores auxiliares de alta velocidad constituidos como unidades herméticas con sellos lubricados por gas, para obtener así, lo más moderado en sellado.

Aunque algunas de las desarrollos en este campo ya han sido clasificados, las muchas soluciones no usuales para problemas de operación han ayudado en el adelanto de la tecnología de los compresores centrífugos en muchas otras áreas.

Cálculo de compresores centrífugos.

Datos:

- T_1 temperatura
- P_1 presión
- \dot{m} desecho
- $T_{específico}$
- ρ masa/volumen
- N_{rpa} desecho

Constantes del gas:

- μ peso molecular
- γ compresible
- κ

1º Cálculo del flujo volumétrico Q_1

$$Q_1 = \frac{\dot{m} n T_1}{R P_1}$$

2º Cálculo de la diferencial de presión adiabática por las siguientes ecuaciones:

$$H_{ad} = (h_2 - h_1)$$

$$H_{ad} = \frac{R n T_1}{n} \frac{k}{k-1} r^{\frac{k-1}{k}} - 1$$

$$H_{ad} = \frac{P_1 V_1}{n} \frac{k}{k-1} r^{\frac{k-1}{k}} - 1$$

3º Cálculo de la eficiencia politrópica. Gráfica 15.

4º Cálculo de la diferencial politrópica:

4-1 Se calcula el factor "X", o sea, $r^{(k-1)/k} - 1$. Gráfica 16.

4-2 Se calcula el factor de corrección ϕ . Gráfica 17.

4-3 Se calcula la diferencial politrópica:

$$S_1 + S_2 = P$$

III Se calcula la potencia requerida:

$$CV = \frac{V \cdot S}{\eta_p}$$

IV Se determinan las pérdidas de potencia para sellas, cojinetes y balance.

Pérdidas en sella de aceite. Gráfica 18.

Pérdidas en sella de lubricante. Gráfica 19.

Pérdidas por cojinetes. Gráfica 20.

Pérdidas por balance + 1.5% de la potencia de compresión.

Las pérdidas anteriores se suman y se obtiene la potencia al freno necesario.

DETERMINACION DEL COMPRESOR

Se tiene:

Q = flujo volumétrico.

N = rpm deseada.

H_{ad} = diferencial adiabática.

I) Se selecciona el número de impulsores, considerando que los compresores industriales operan a diferenciales de presión de 5000 a 10,000 pies por paso (2440 a 3080 metros)

$$H_{paso} = \frac{H_{ad}}{N \text{ pasos}}$$

II) Se calcula la velocidad periférica

$$U = \frac{H_{paso} \times g}{\sqrt{\gamma}}$$

$$\sqrt{\gamma} = 0.51$$

III) Se calcula el diámetro del impulsor

$$D = \frac{U}{\pi N}$$

$$D \text{ pulgadas} = \frac{720 U}{\pi N}$$

IV) Se calcula el coeficiente de flujo

$$\beta = \frac{Q}{\frac{\pi}{4} D^2 U}$$

$$\beta = \frac{3.056 Q}{D^2 U}$$

si D está en pulgadas y
 U está en pies/seg

Si el coeficiente de flujo es alto, se disminuye el número de los impulsos y si es bajo, se aumenta.

No se debe olvidar que la velocidad periférica no puede ser mayor que la velocidad del sonido en el gas.

Para gases ligeros, de peso molecular menor que 60, la velocidad periférica de 300 pies/seg (200 m/seg) determinará el número de pasos y las revoluciones por minuto de la turbina.

Cuando se trata de mezclas de gases, el valor de k se calculará por las capacidades caloríficas molaras que están en las tablas XIV y XV.

$$k = \frac{\text{capacidades caloríficas mol}}{\text{capacidades caloríficas mol}} - 1.04 A_1$$

La temperatura de descarga se puede calcular por la ecuación:

$$\frac{T_1 - T_2}{T_1} = \frac{\varphi}{A_p}$$

Esta temperatura es importante que no pase de cierto límite, con el objeto de evitar reacciones secundarias.

En cada particular del uso de los compresores centrífugos es el diámetro del difusor. Los diagramas 1 y 2 son útiles para estos cálculos.

Las condiciones de estos diagramas son:

Densidad relativa = 0.60

$\eta = 1.00$

$T_s = 60^{\circ}\text{F}$ (15.0°C)

Datos P_a , P_d , T_a y capacidad.

El primer diagrama está basado en 3000 rpm y un diámetro máximo del impulsor de 61 pulgadas (154 cm).

El segundo diagrama está basado en 9000 rpm y un diámetro máximo del impulsor de 18 pulgadas (46 cm).

Se procederá como sigue:

A) Entrar horizontalmente al diagrama 1 con la presión de descarga deseada intersectar la línea de presión constante de succión y entonces descender y leer la relación de presión.

B) De la intersección del diagrama 1, ascender al diagrama 2 hasta intersectar la línea de temperatura de succión de 60°F en la presión de succión y leer la diferencial de presión adiabática en lb-pie/lb.

C) moverse horizontalmente desde dicha intersección.

D) entrar al diagrama 3 verticalmente, con la capacidad en millones de pies cúbicos por día (MCFD) hasta intersectar la línea de temperatura de succión de 60°F .

E) de la intersección del diagrama 3 se mueve horizontalmente hacia el diagrama 4, hasta intersectar la línea de presión de succión, descender y leer el flujo en CFM.

F) De la intersección del diagrama 4, ascender hasta intersectar en el diagrama 5 la línea proyectada de la diferencial de presión. Leer el número de pasos y el diámetro del impulsor.

G) De la intersección del diagrama 5, se mueve horizontalmente hasta intersectar la línea de eficiencia adiabática de 80% en el diagrama 6.

H) Ascender hasta intersectar la línea de capacidad del diagrama 7, se mueve horizontalmente y se lee la potencia al freno requerida.

VI) Criterio de selección de congresos.

Al seleccionar un congreso se debe tener en cuenta el tipo de trabajo que va a efectuar, las substancias que va a manejar, la facilidad de mantenimiento, disponibilidad de refacciones, disponibilidad de los accionadores, lugar de operación así como la posibilidad de una rápida ampliación de la planta.

Se es debe considerar que es muy importante considerar el punto económico del problema.

VII) Constantes.

La presente monografía es un estudio amplio sobre los diferentes tipos de compresores, y puede ser útil para adquirir un criterio general.

No han adjuntado algunas gráficas, tablas y nomogramas, que permiten calcular rápidamente factores y constantes útiles.

Se ha dado especial importancia al capítulo de los compresores centrífugos, que son los que cada vez tienen mayor demanda debido a sus ventajas sobre los otros tipos de compresores.

VIII Bibliographie.

Axial compressors
Allison.

Centrifugal compressors
Ingersoll Rand.

Compressors action de turbines rotatives
Allis Chalmers.

Compressor portables
Ingersoll Rand.

Compressibility charts and their application to problems
involving pressure-volume-energy relation for real gases.

Compressor selection handbook
Worthington Co.

Fairfax V. H.
Thermodynamics of heat power
McGraw-Hill Co. New York 1964.

Fullemann John
Centrifugal compressors
Cooper Bessemer.

Gas properties and compressor data.
Ingersoll Rand.

Kent J. D.
New approach to compressor pulsation problems
Worthington Co.

Ludwig E. E.
Applied process design for chemical and petrochemical plants
Gulf publishing Co. Houston. 1963.

Miller R. H.
Proper accessories and protective devices insure
maximum compressor efficiency
Worthington Co.

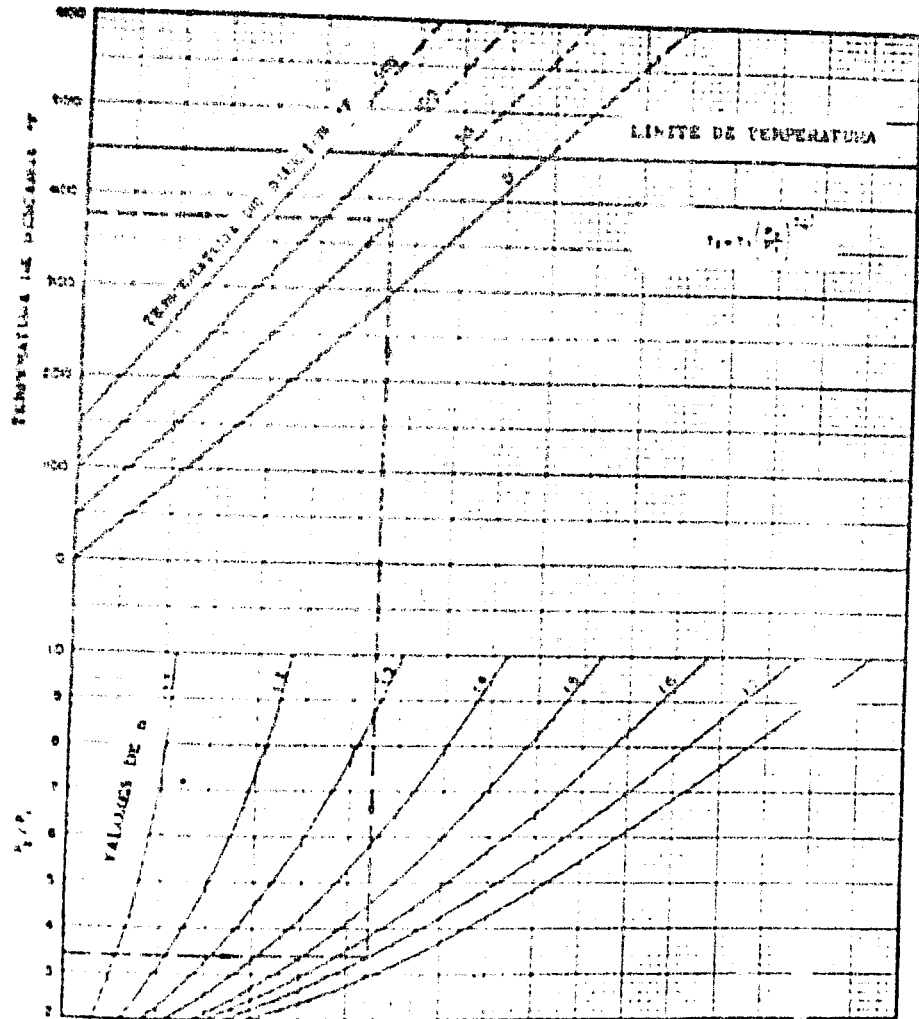
Mono rotor, compressors portables
Worthington.

Nomogram for estimating centrifugal pipeline compressors
Cooper Besseler.

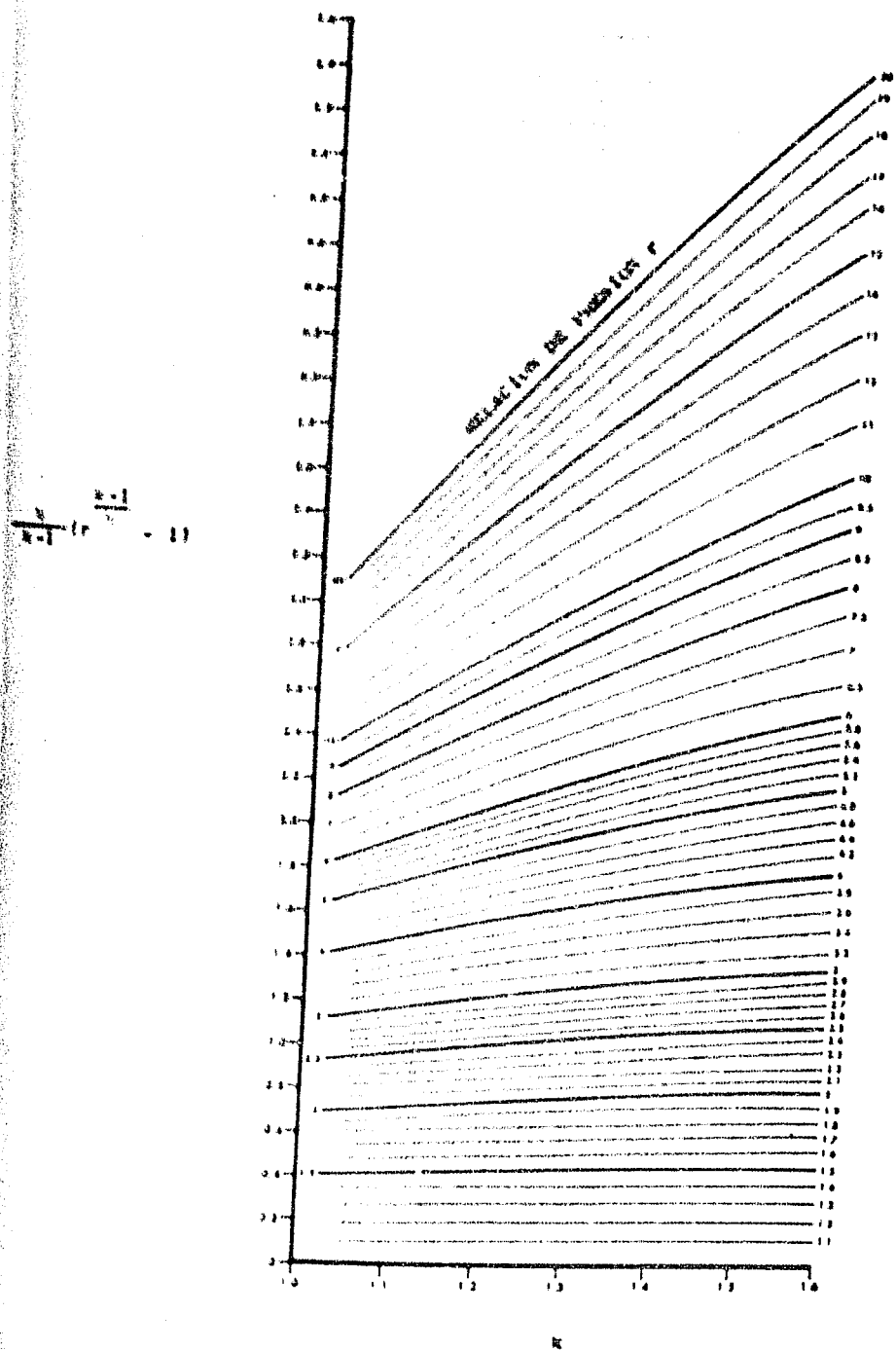
Series H turbomaster
Gas compressors
York.

Strub R. A. et Sutor P.
Pompage de compresseurs dans des installations des turbines
a gaz et de compresseurs de hauts fourneaux
Revue technique Sulzer 2/1966.

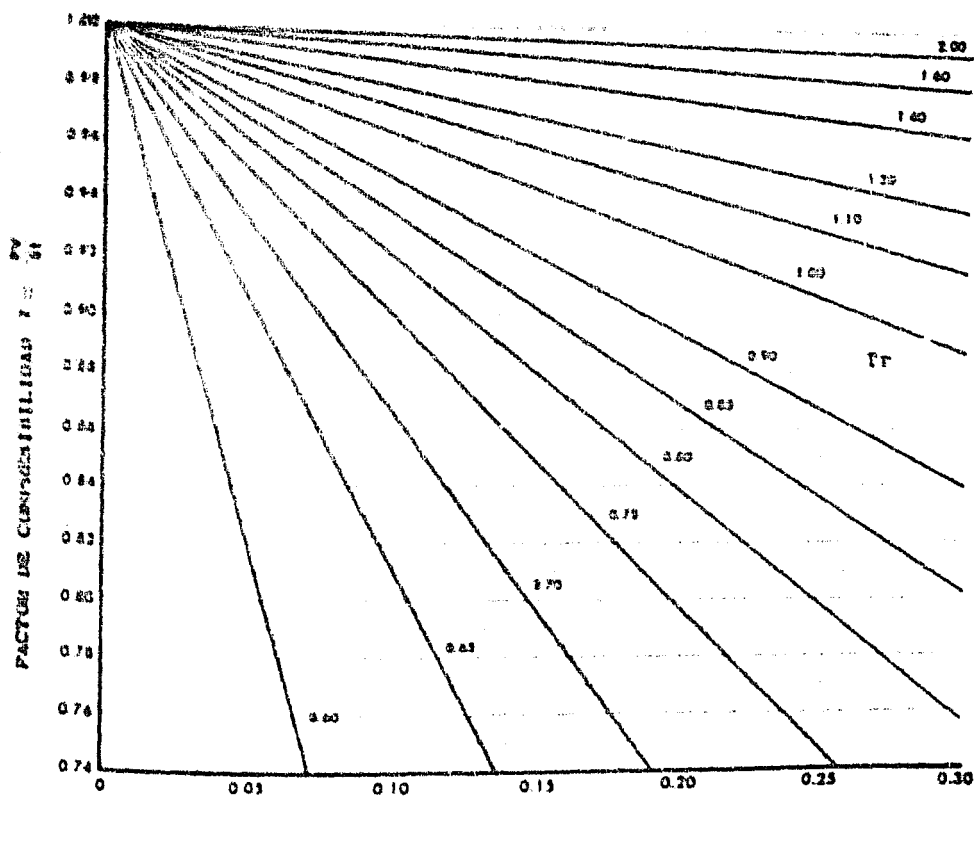
Plain talk on air and gas compressors
Worthington Co.



Gráfica 1



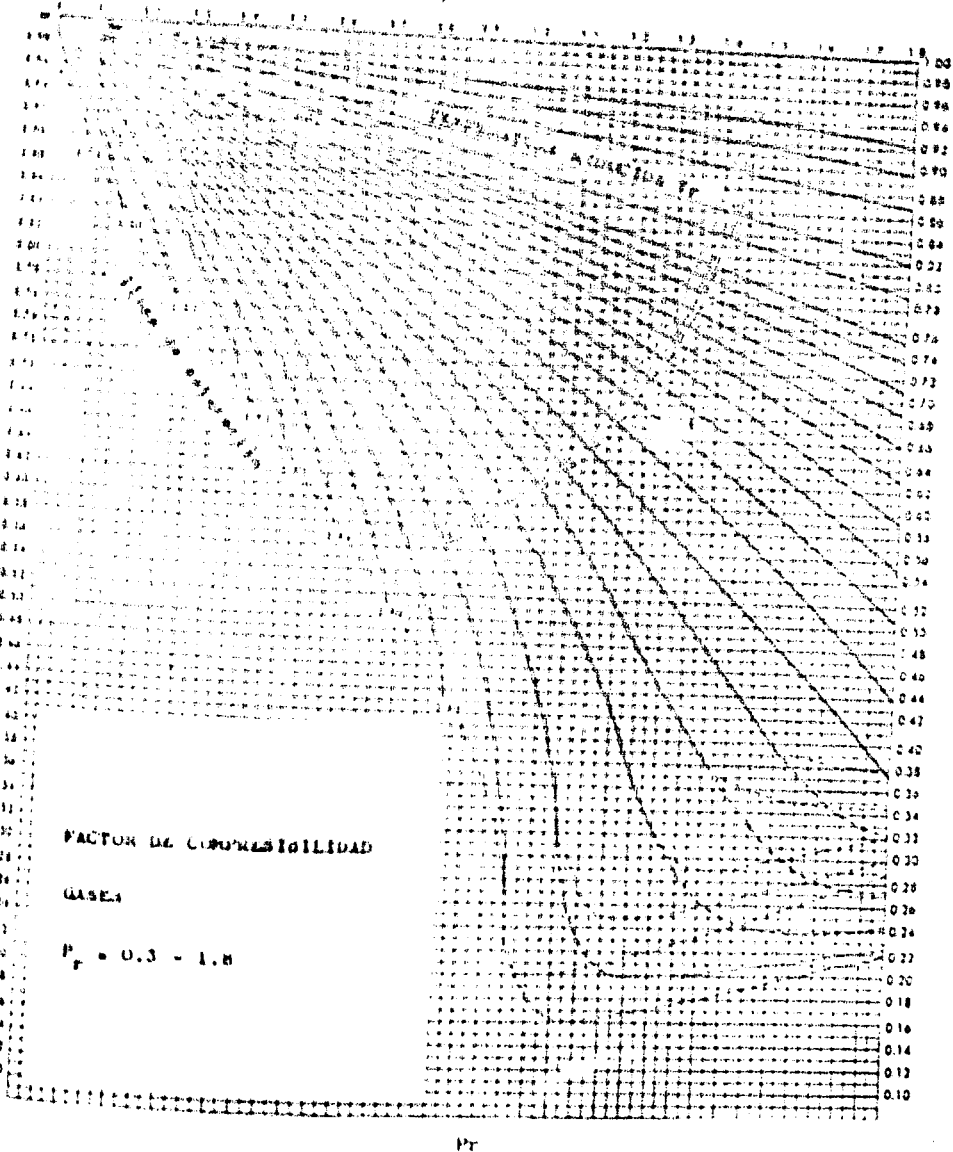
Gráfica 2



Prestam reducida Pr

Gráfica 3-1

FACTOR DE COMBINACIONES 4



Gráfica 3-2

See Item 8 on temporary site
and describe the L. as described
in the note range.

REVERSE SIDE OF PLATE

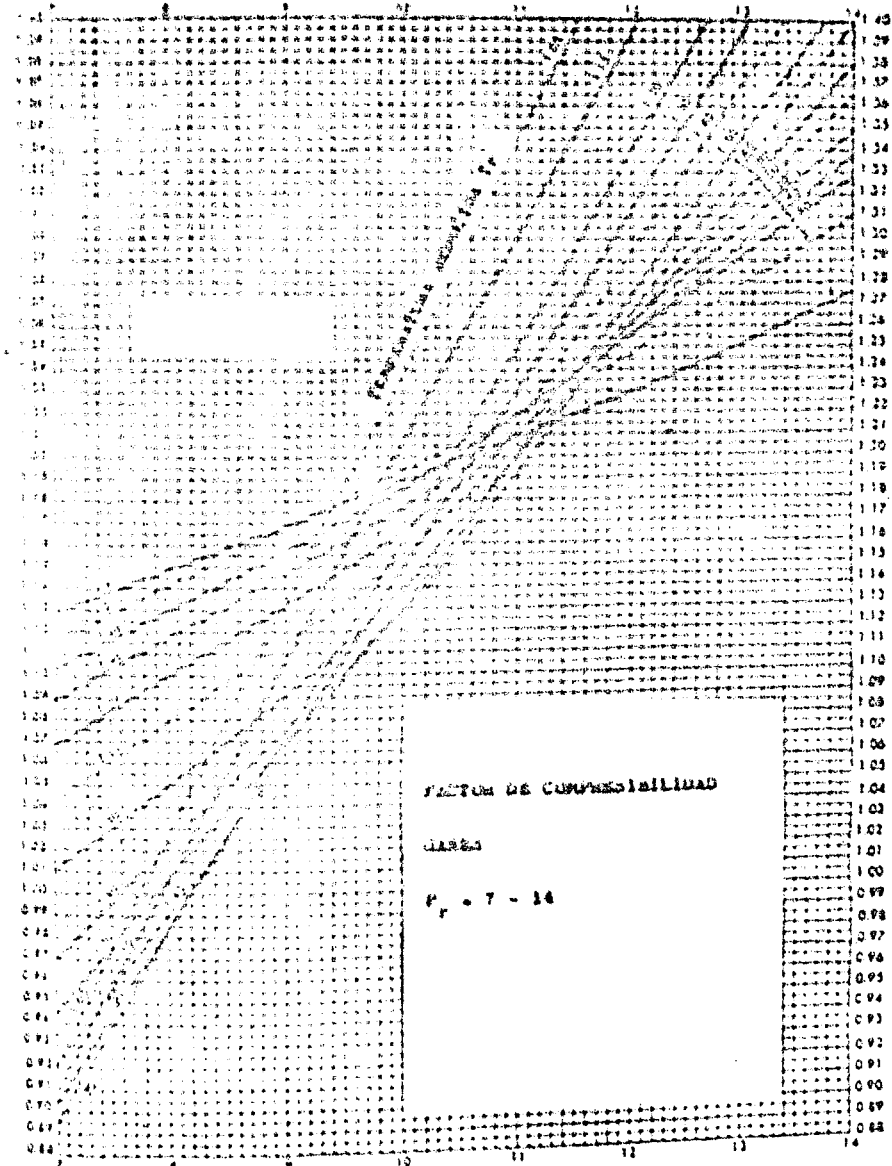
REVERSE SIDE OF PLATE

SECTION OF ENGINEERING DRAWINGS

NAME

P. 1 - 1

FACTOR DE COMPRESIBILIDAD



17

Gráfico 3-4

Graph 3-5

PY

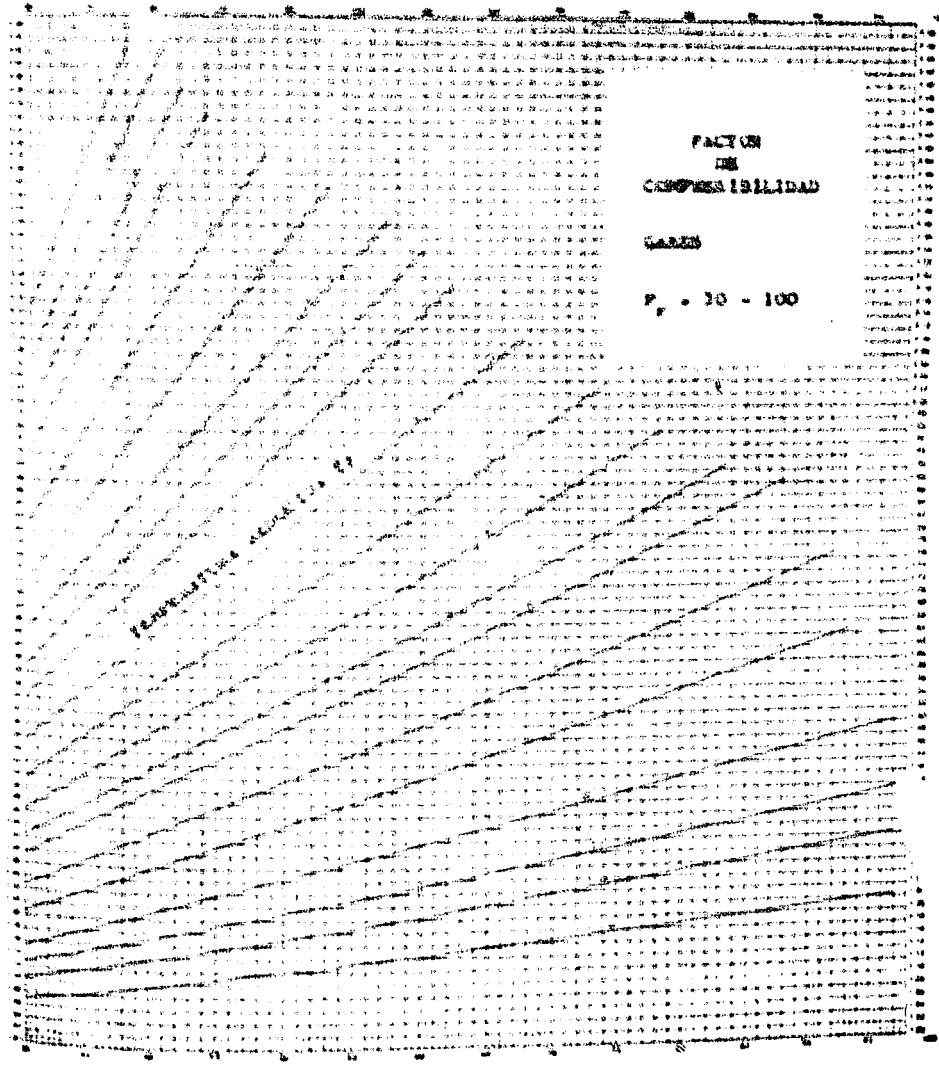
FACTS IN CONVERSATION

$$P_1 = 12 - 2x$$

GRADS

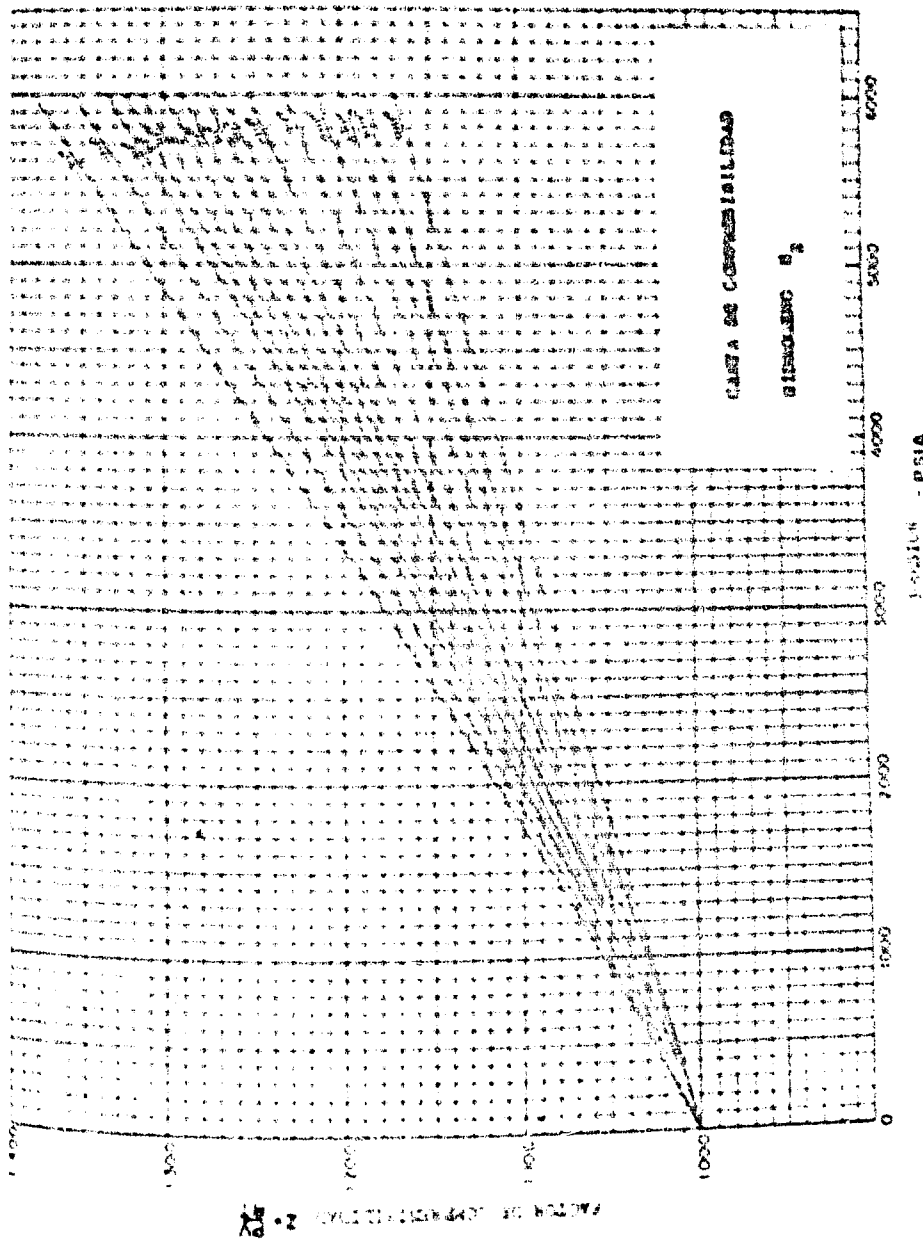
FACTS IN CONVERSATION

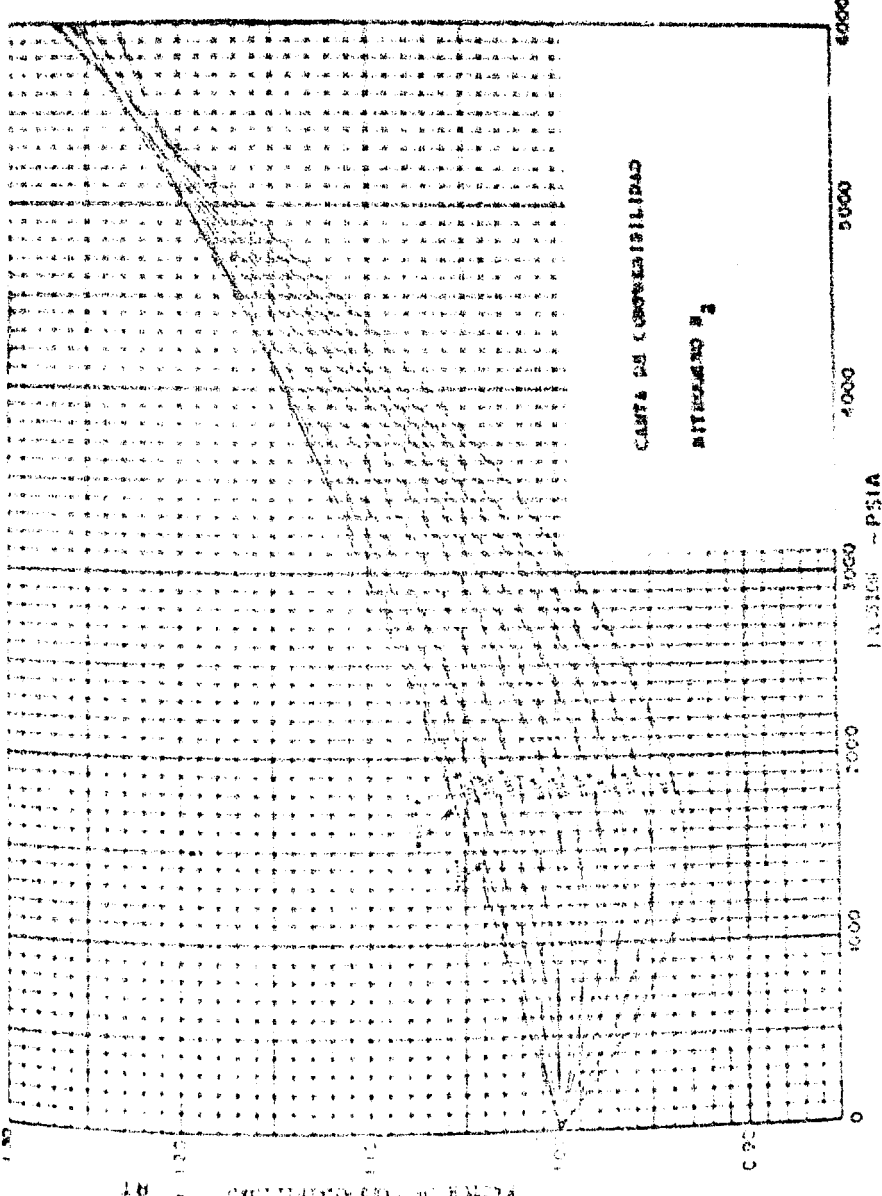
Fractionation Compounds



Graph 3-6

Gráfica 4-1





GUTTIERE 44-2

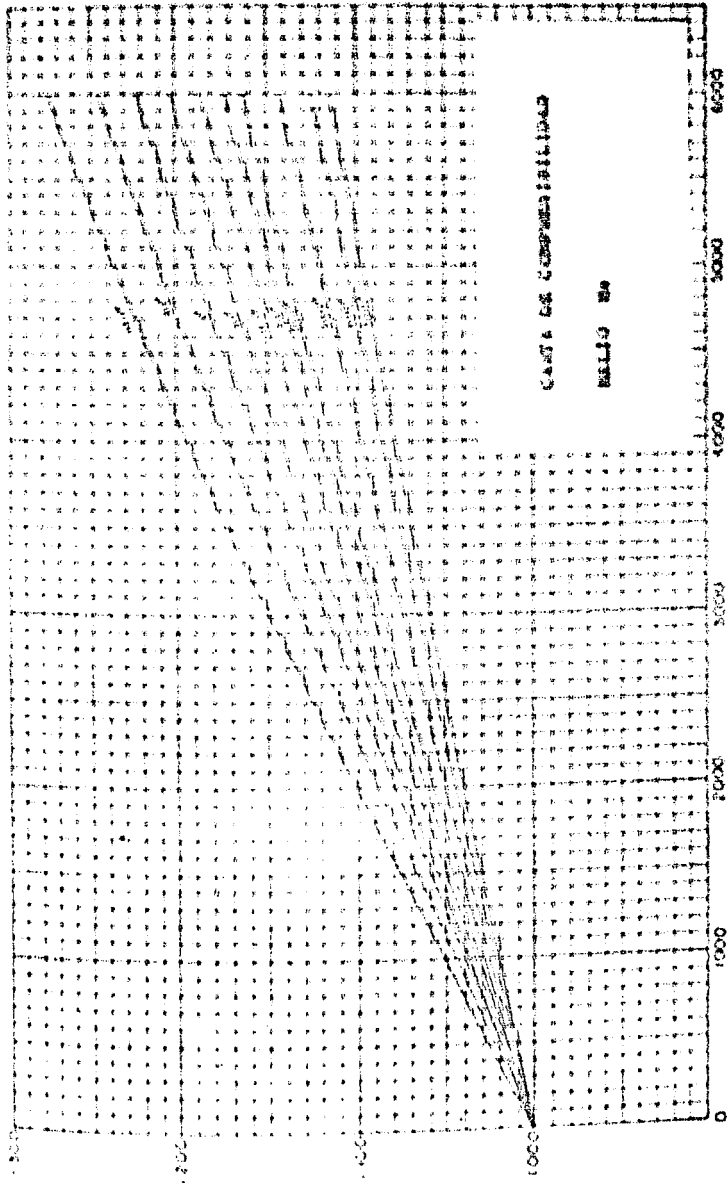


FIGURE 4-3

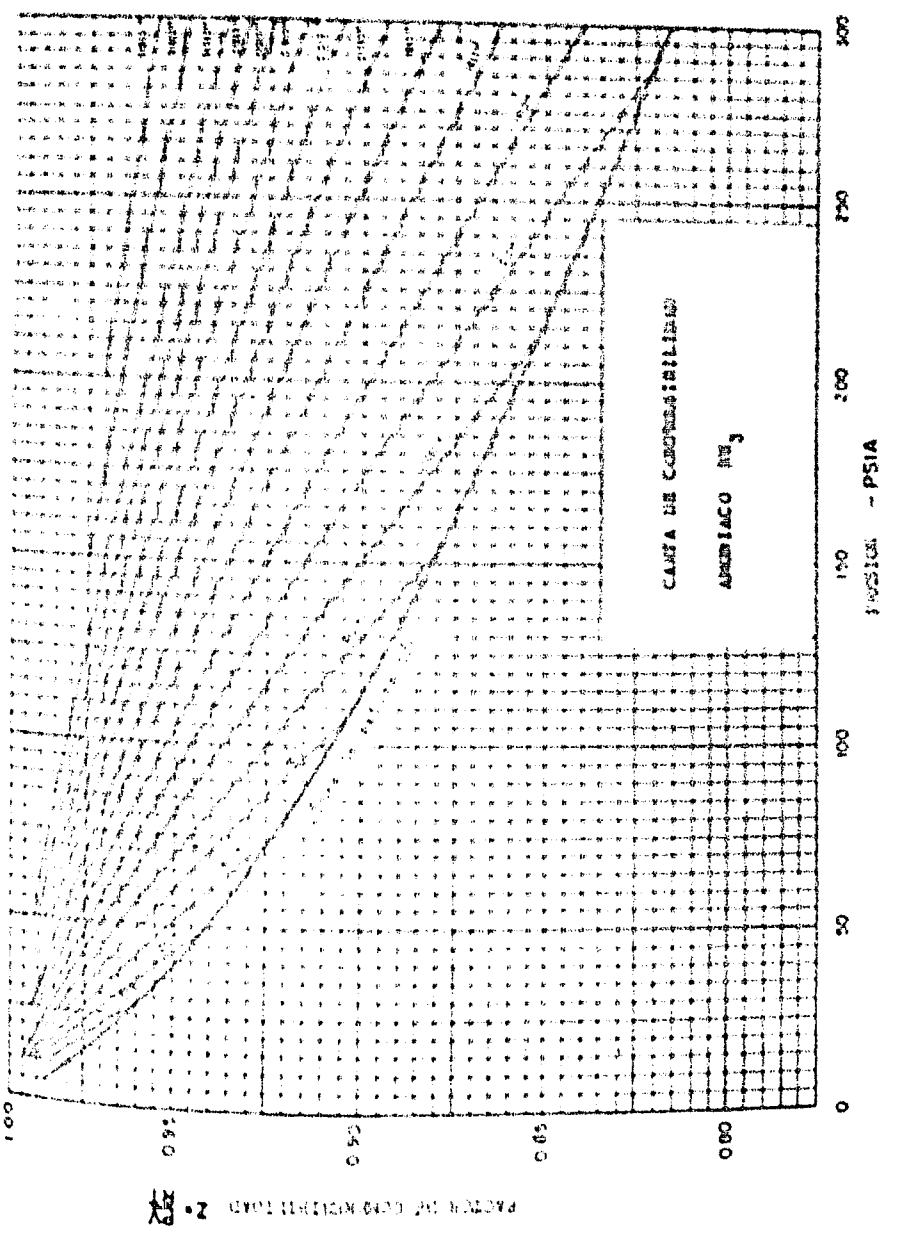
Digitized by

00001 00002 00003 00004 00005 00006 00007 00008 00009 00010

卷之三

卷之三

11-2 CHIEFTAINSHIP IN BALORI



卷之三

Gráfica 4-6

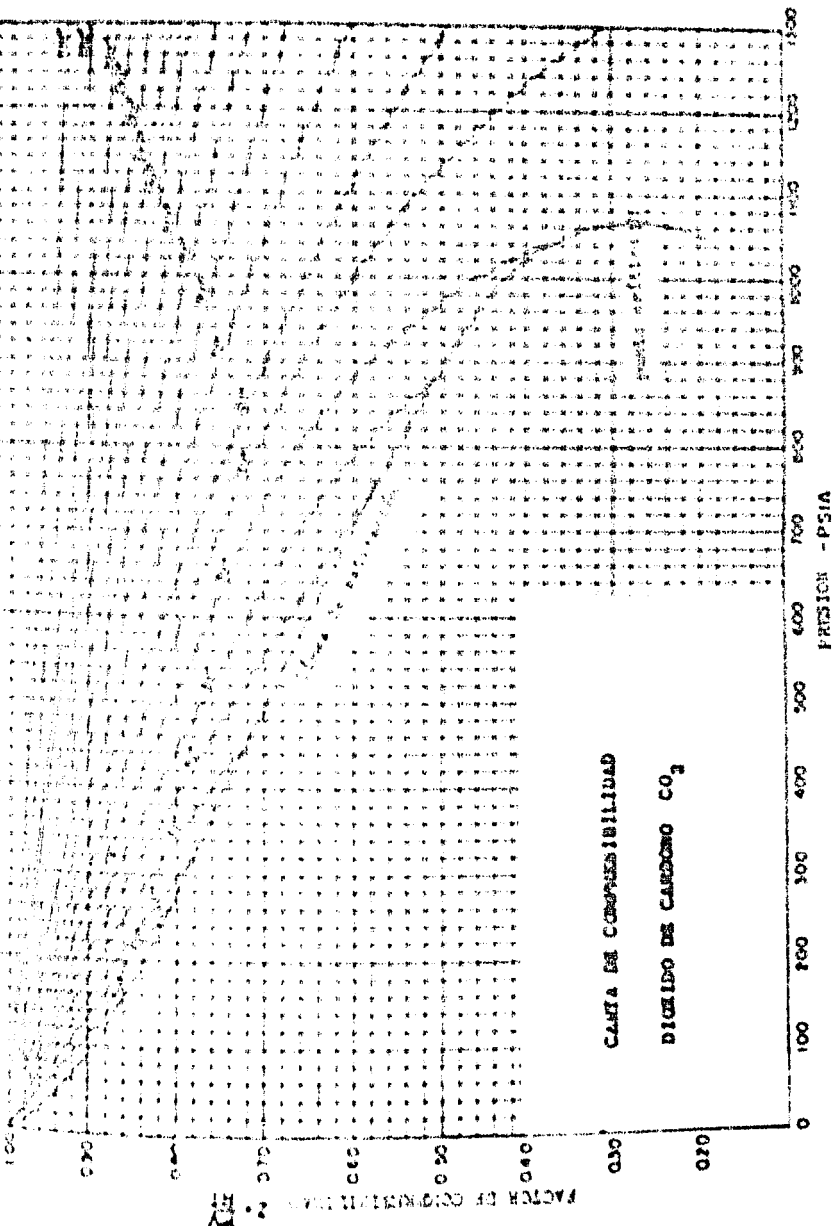
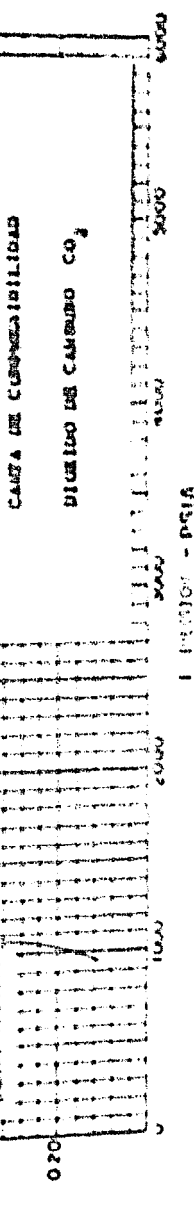
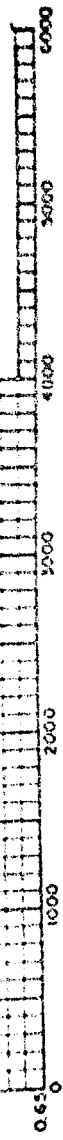


Gráfico 1-2

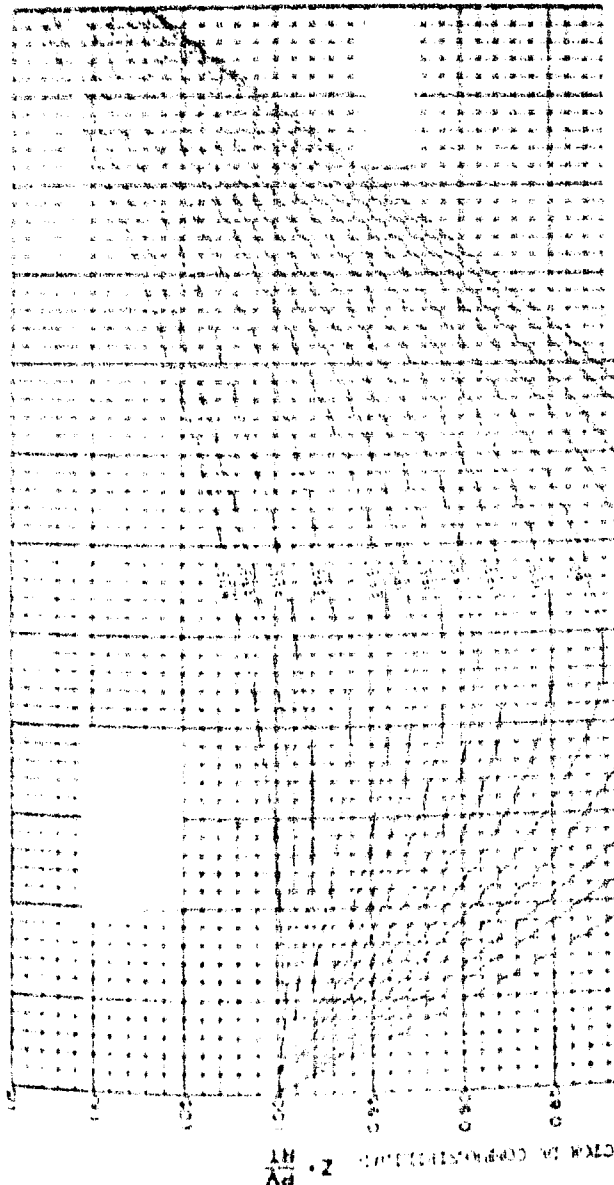


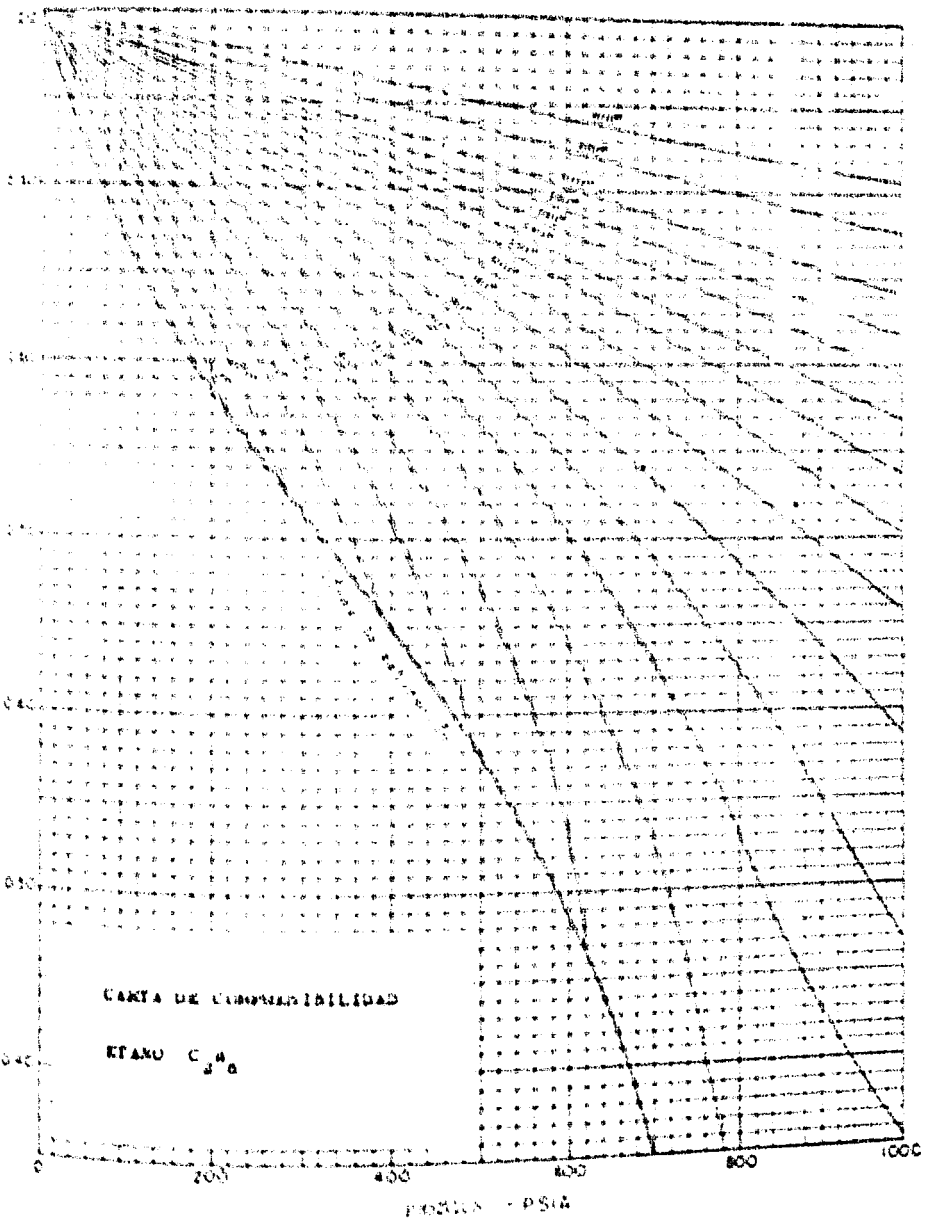
Graph 4-B

PLASTIC - PSIA



CAPACITY IN CFS VS. PLASTIC - PSIA

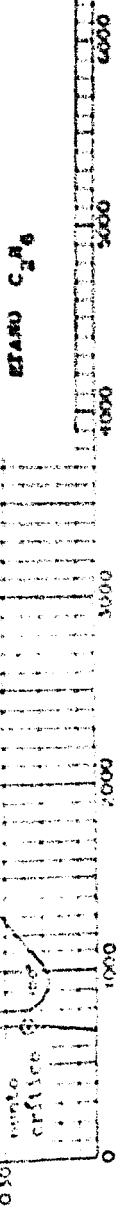




Gráfica 4-9

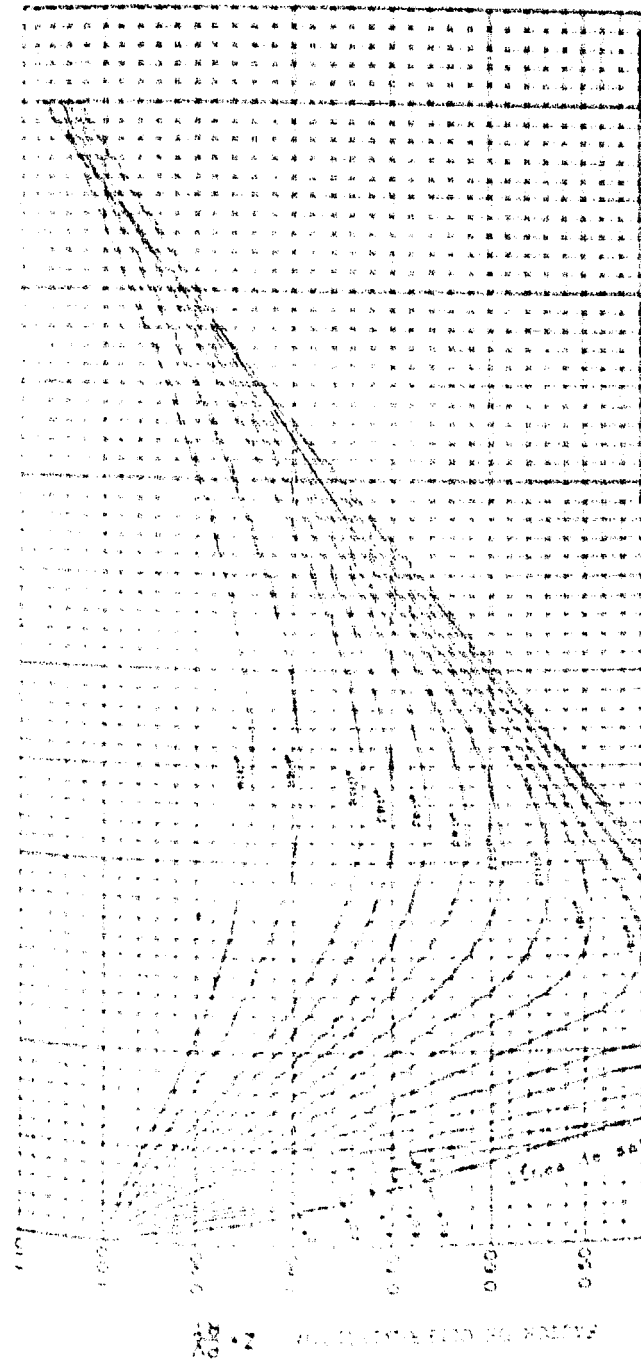
GRANITA 4-10

REGULAR - P.S.I.A



CURVA DE CONVERGENCIA

GRANITA 4-10



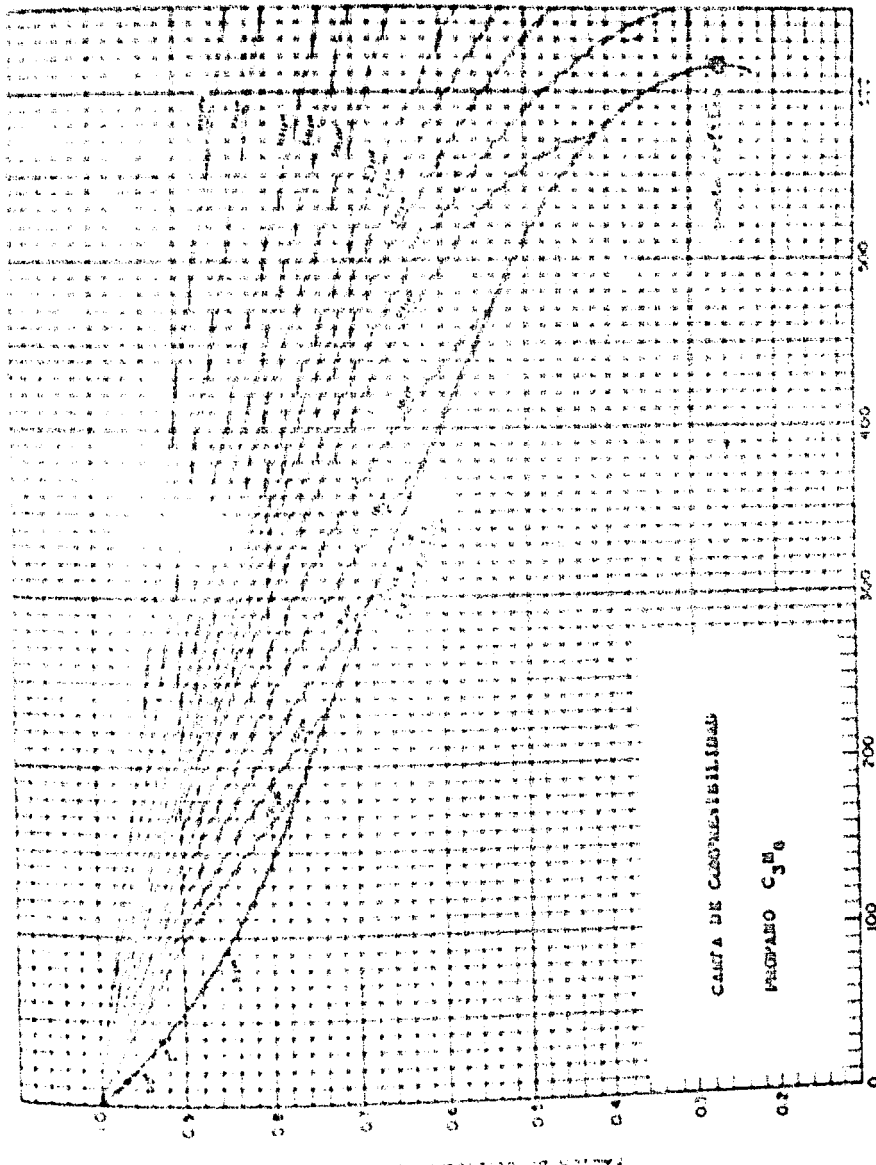


Gráfico 4-11

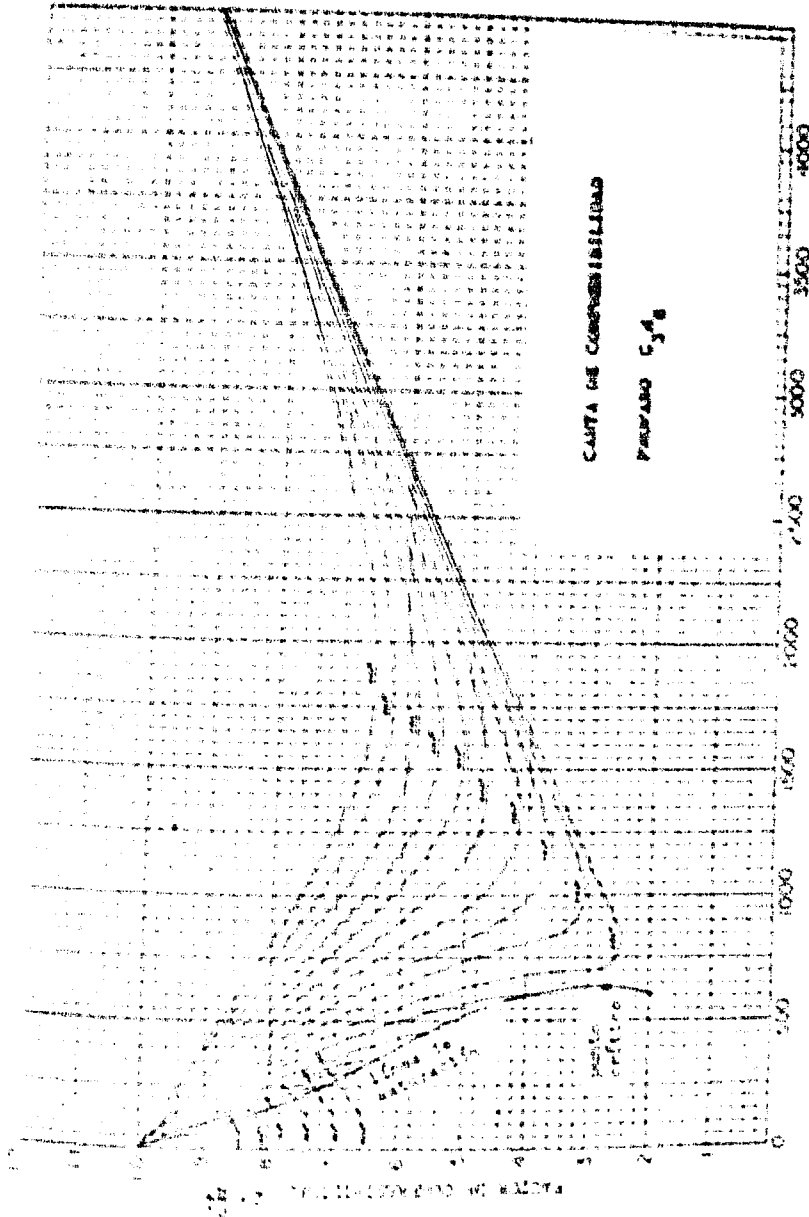
Gráfica 4-12

SOBRE

COPIA
3500
3000
2500
2000
1500
1000
500

PARA
54

CUTA DE CORPORES ISOLADA



Gridline 4-13

PRISM - PIA

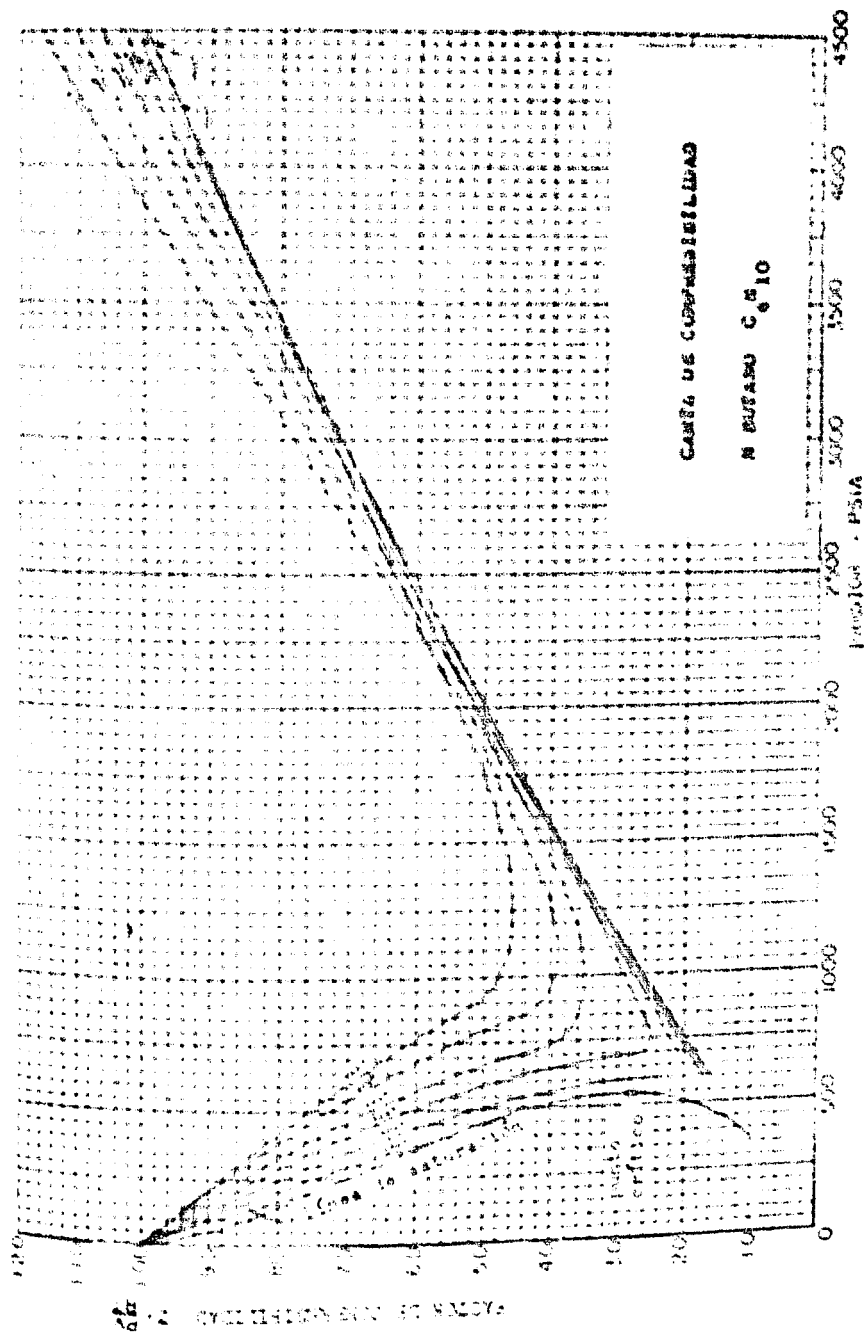
PIA - PIA

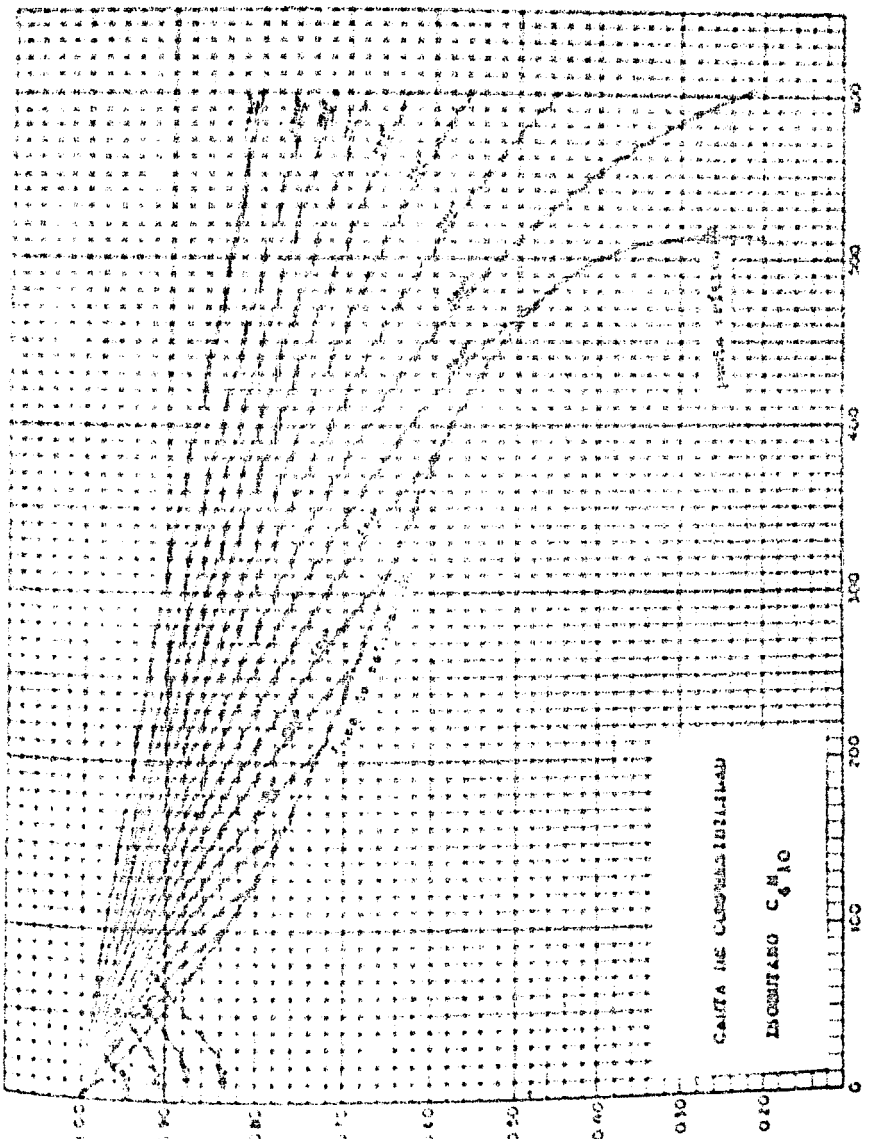
STANDARD 0.010

100
90
80
70
60
50
40
30
20
10
0

100 90 80 70 60 50 40 30 20 10 0

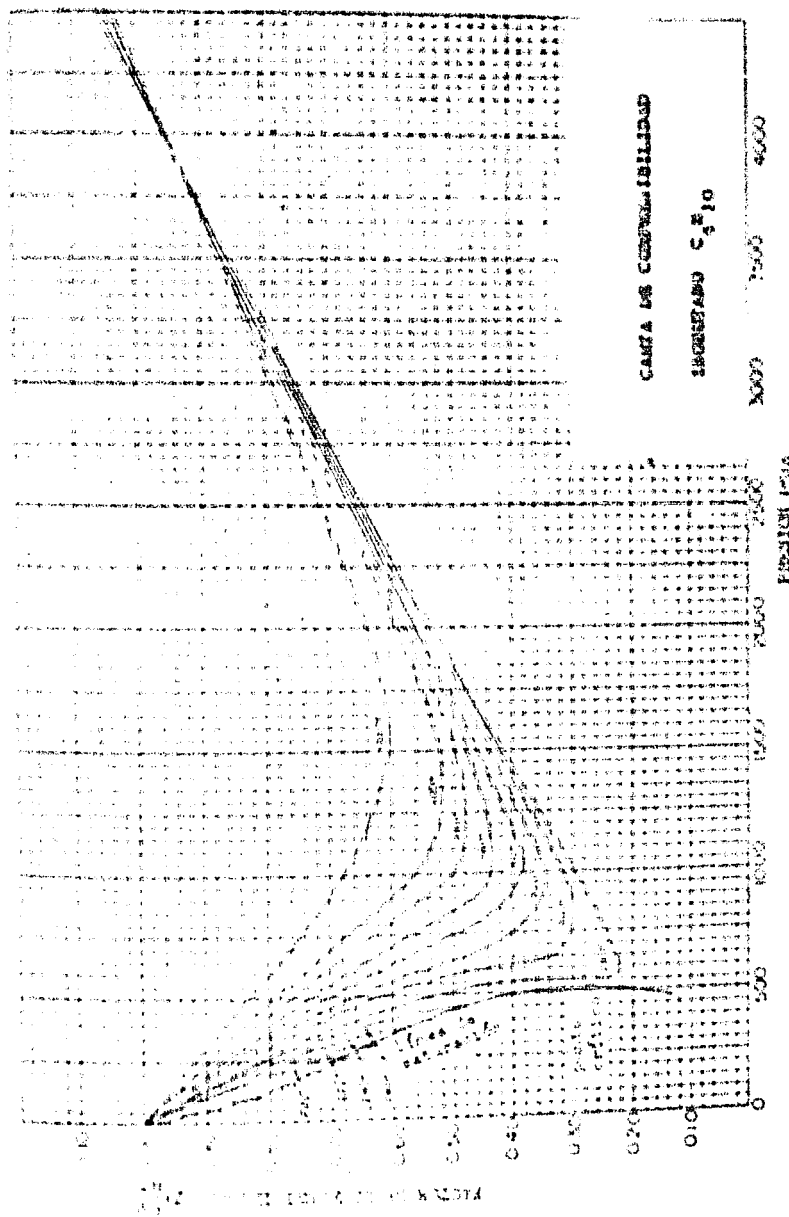
Gráfica 1-16





Patrón - PSTA

Grafica 4-15



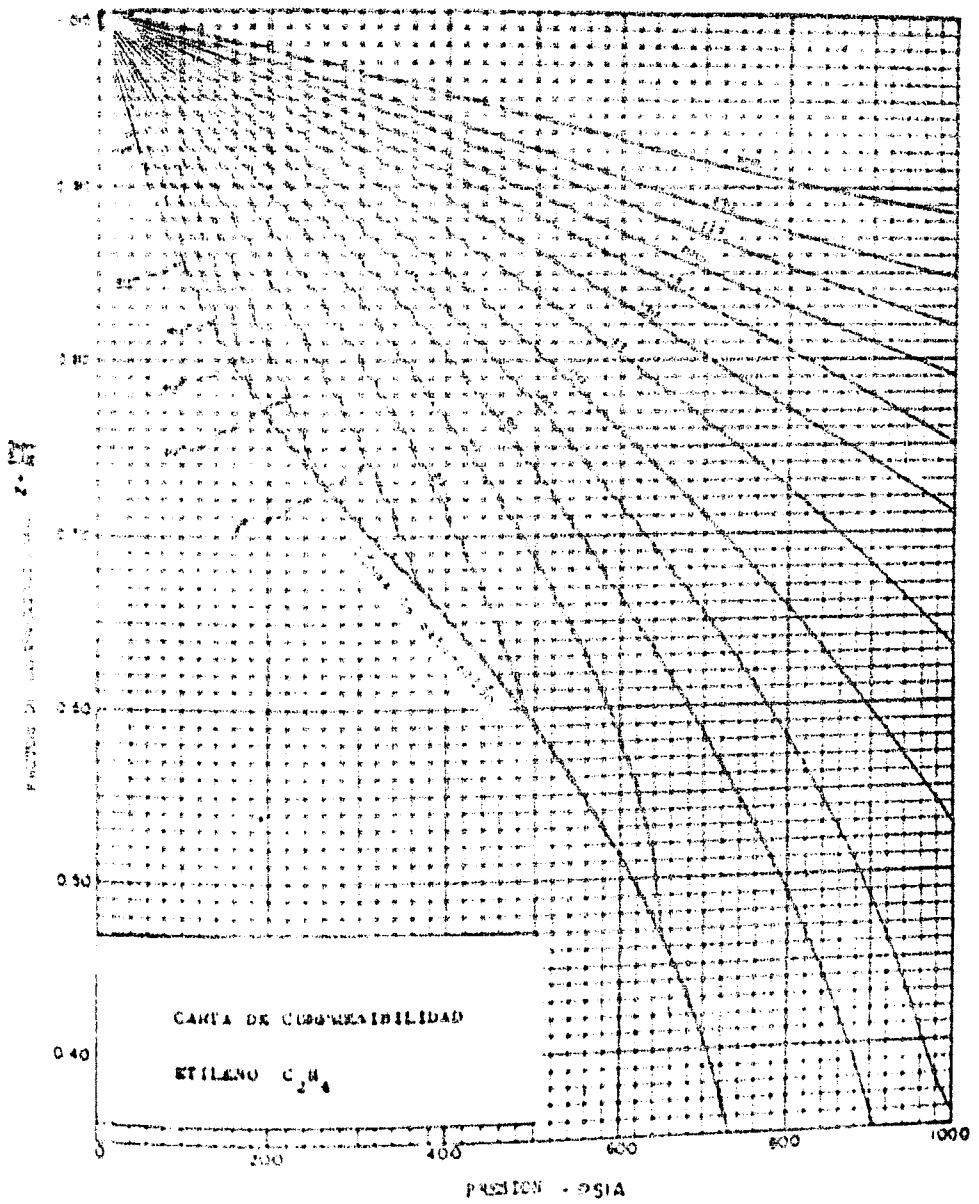
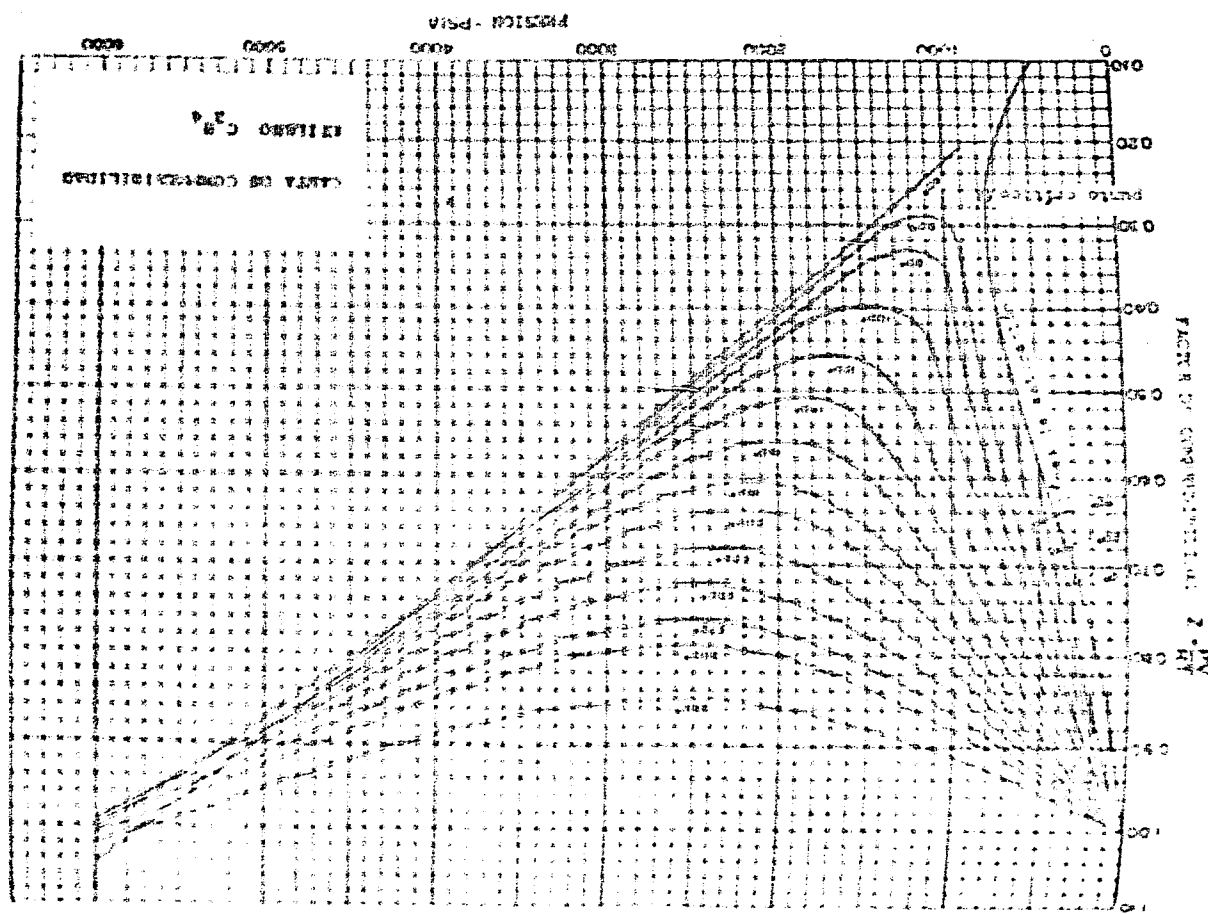
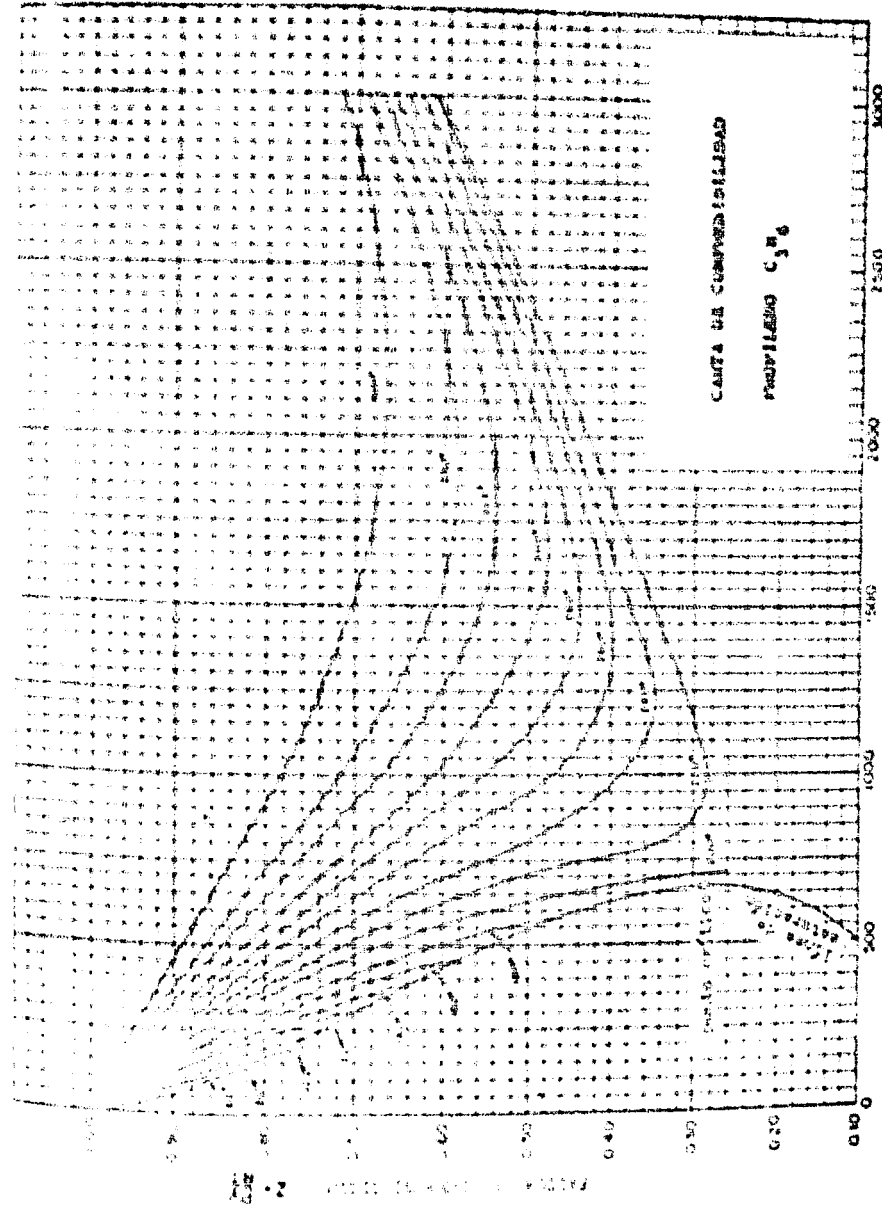


Gráfico 4-17

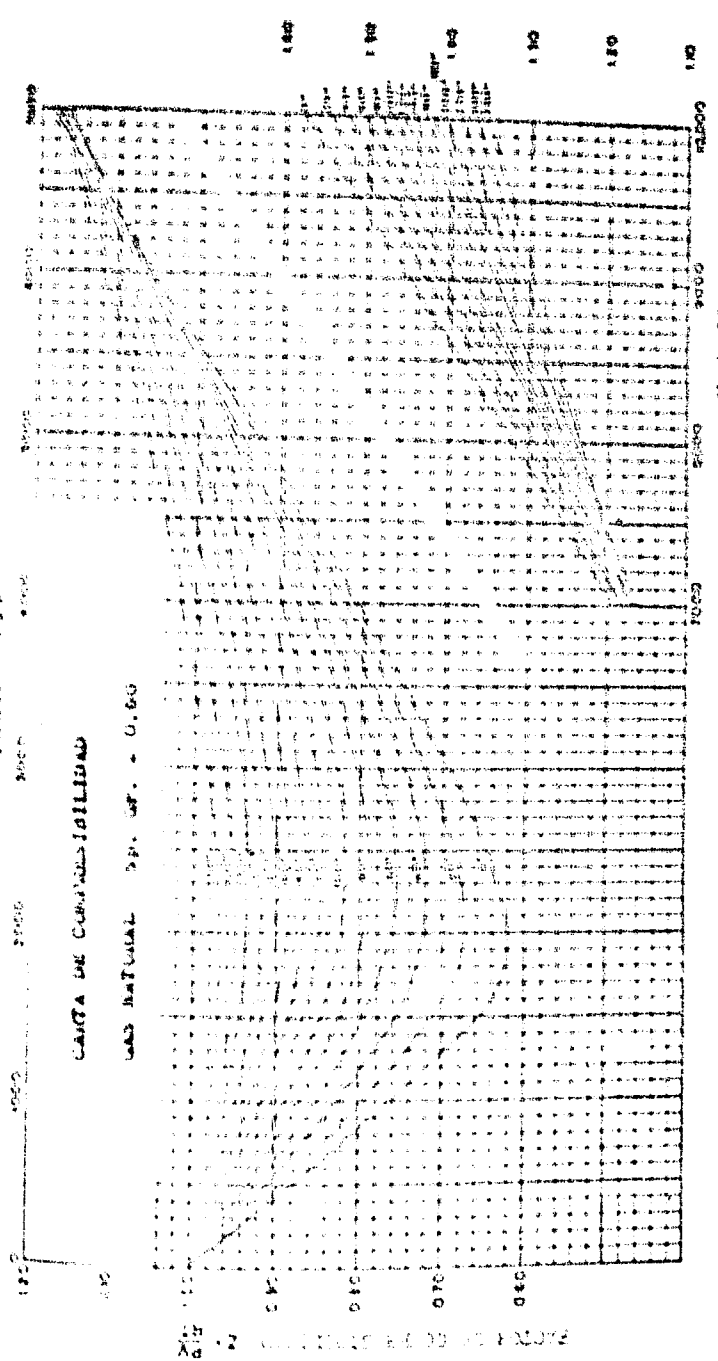
CHART No. 18



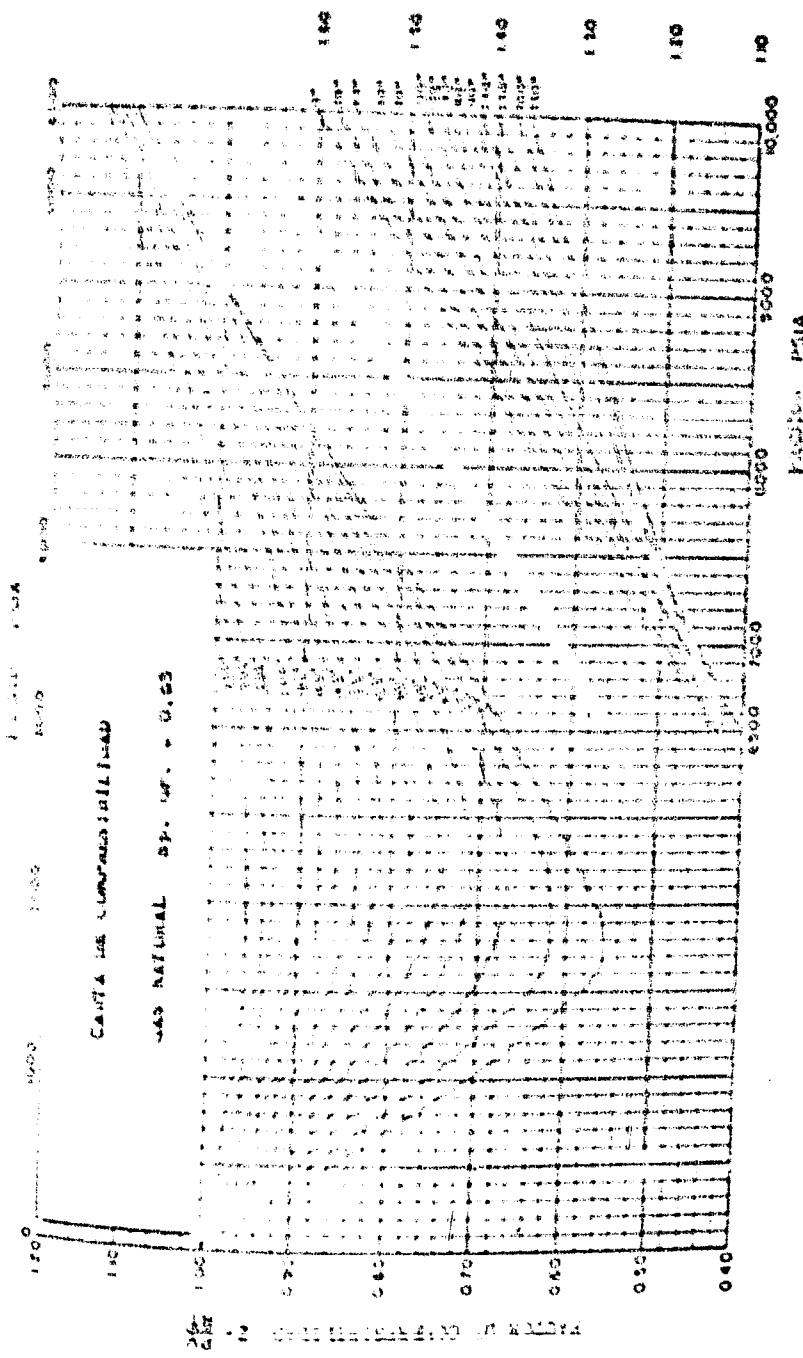


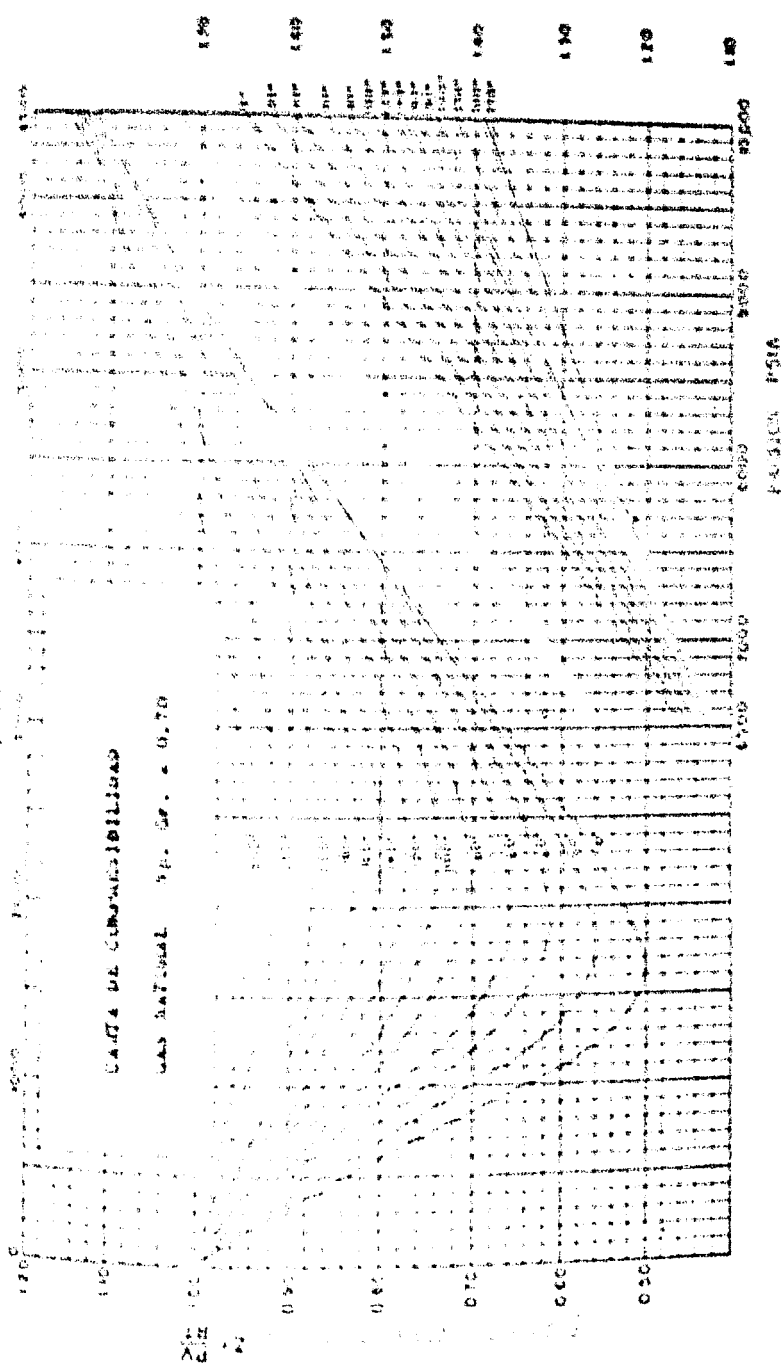
Gráfica 4-19

Gráfica 4-20



Graph 4-21





Orga 4-22

Offices 4-23

POLICE - 1951A

1000 1000 1000 1000 1000

1000

1000

1000

1000

1000

1000

1000

1000

1000

1000

1000

1000

1000

1000

1000

1000

1000

1000

1000

CARLA M. WOODWARD 141020

JAN RUSTIN 1951A - 46-75

1000
800
600
400
200
0

CUSTA DE GASEOSA EN MILLIAS

MAS NACIONAL DE U.P. + D.E.S.

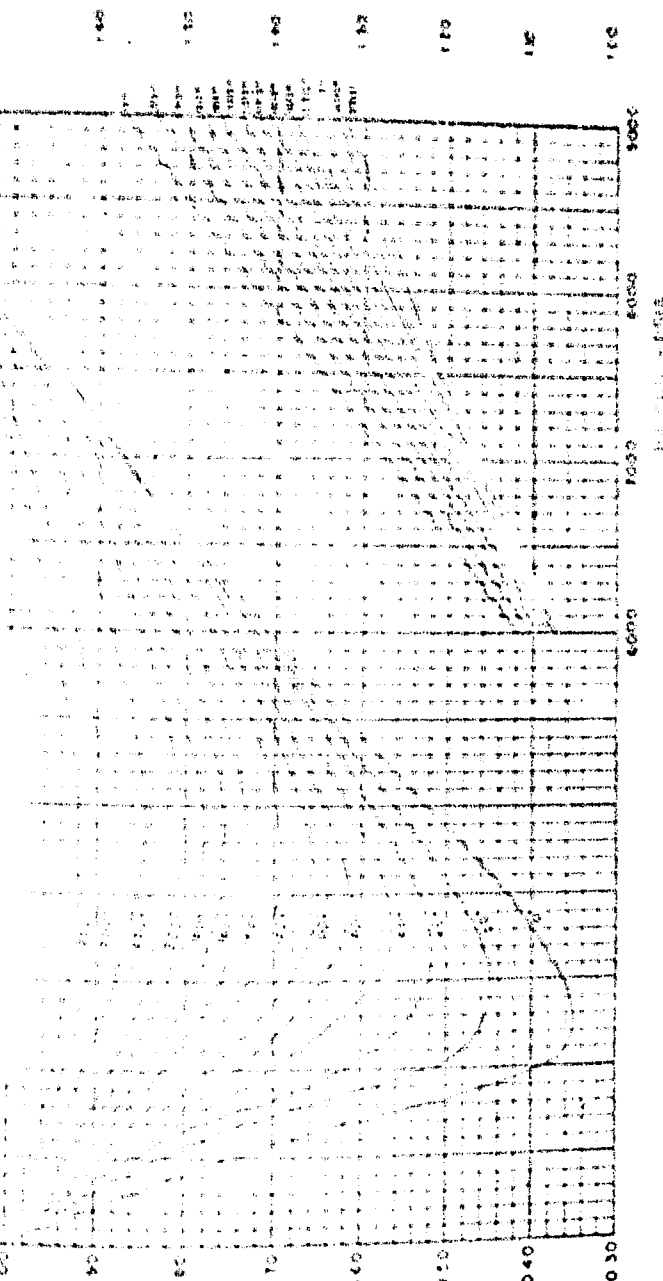
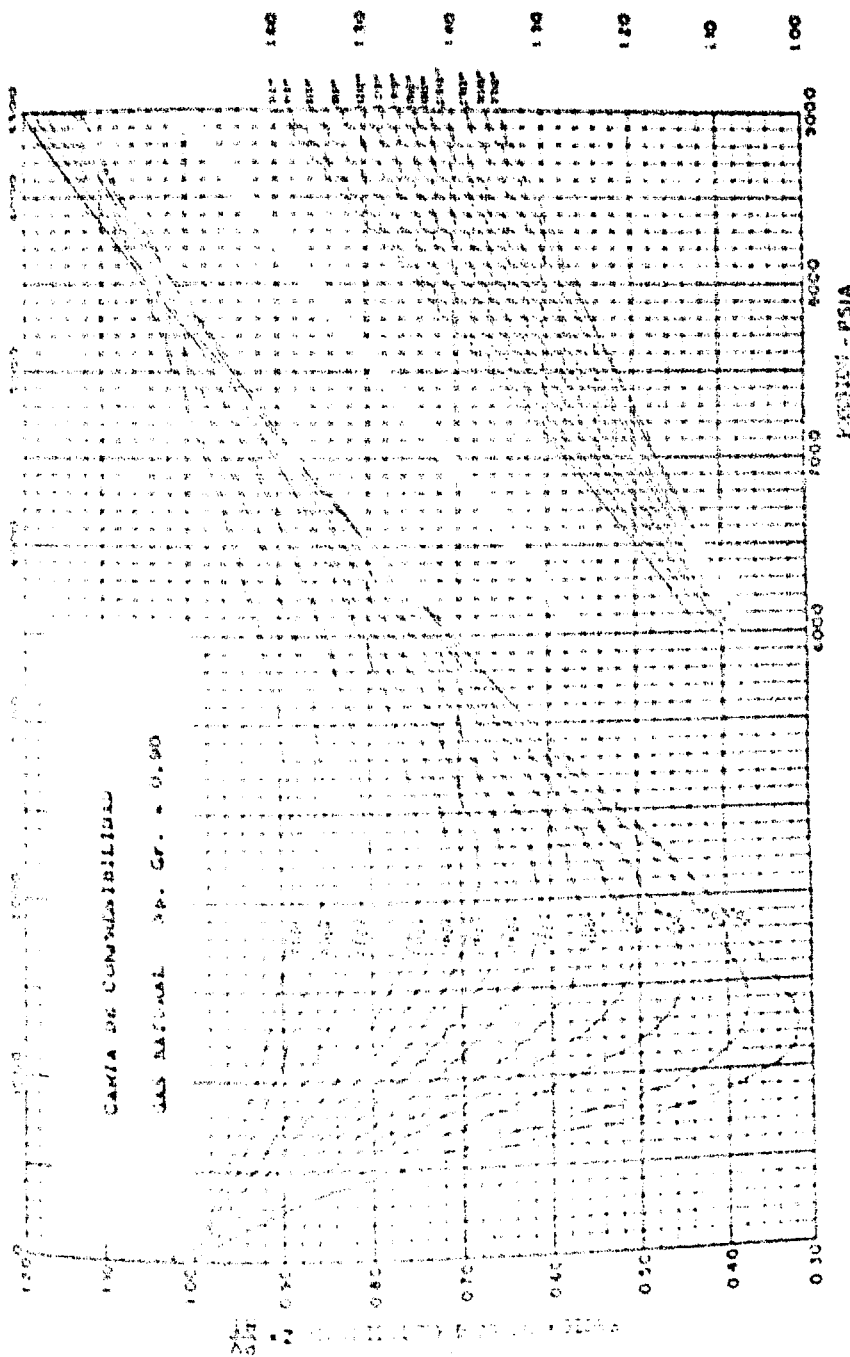


Gráfico 1-2.

Precio - \$ 512

Reference 4-25



CARTE DE CONDENSABILITÉ

SLR NATIONAL 30°. Cr. = 0.90

GRAPHICS 4-26

PREDATION - FISH

1.00
0.80
0.60
0.40
0.20
0.00

1.00

0.80

0.60

0.40

0.20

0.00

0.20

0.00

0.20

0.00

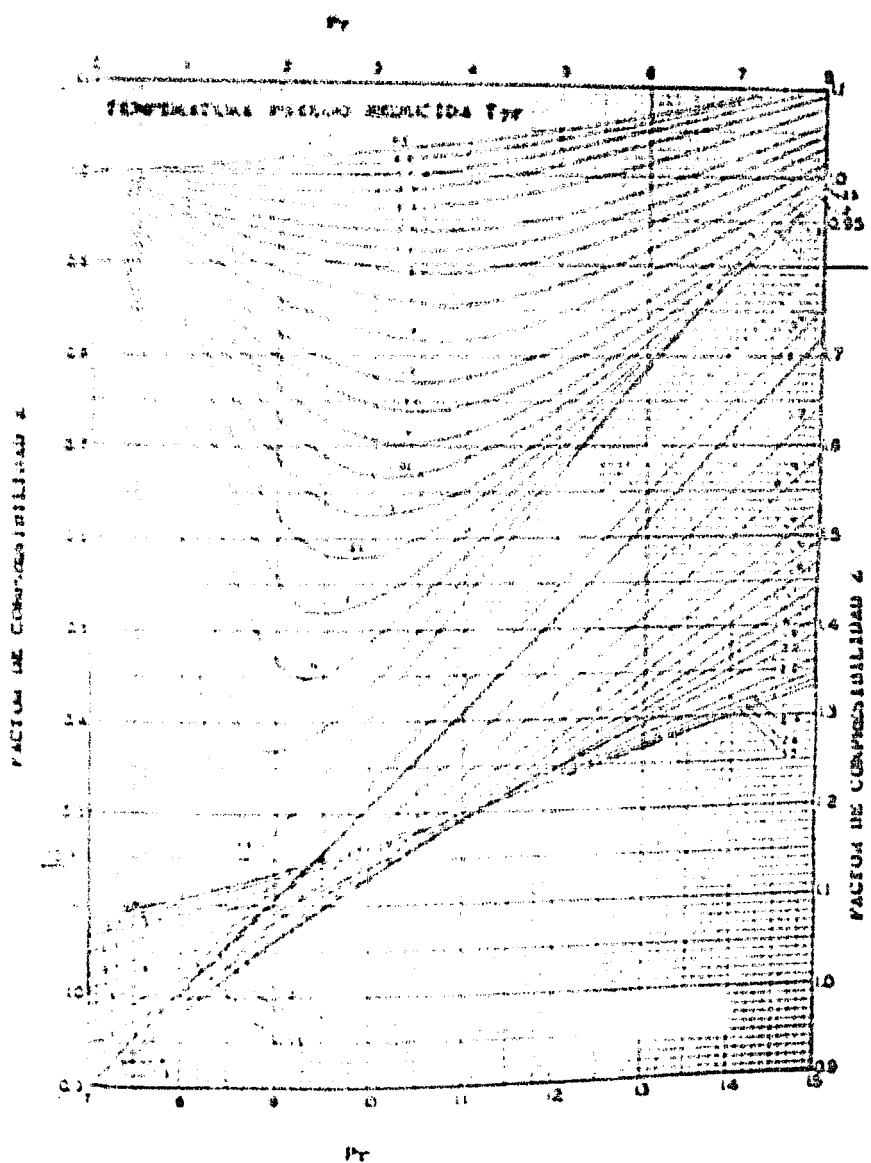
0.20

0.00

CANADA DE CUBATERO: BILBAO
MADRID - 24. NOV. - 1. DEC.

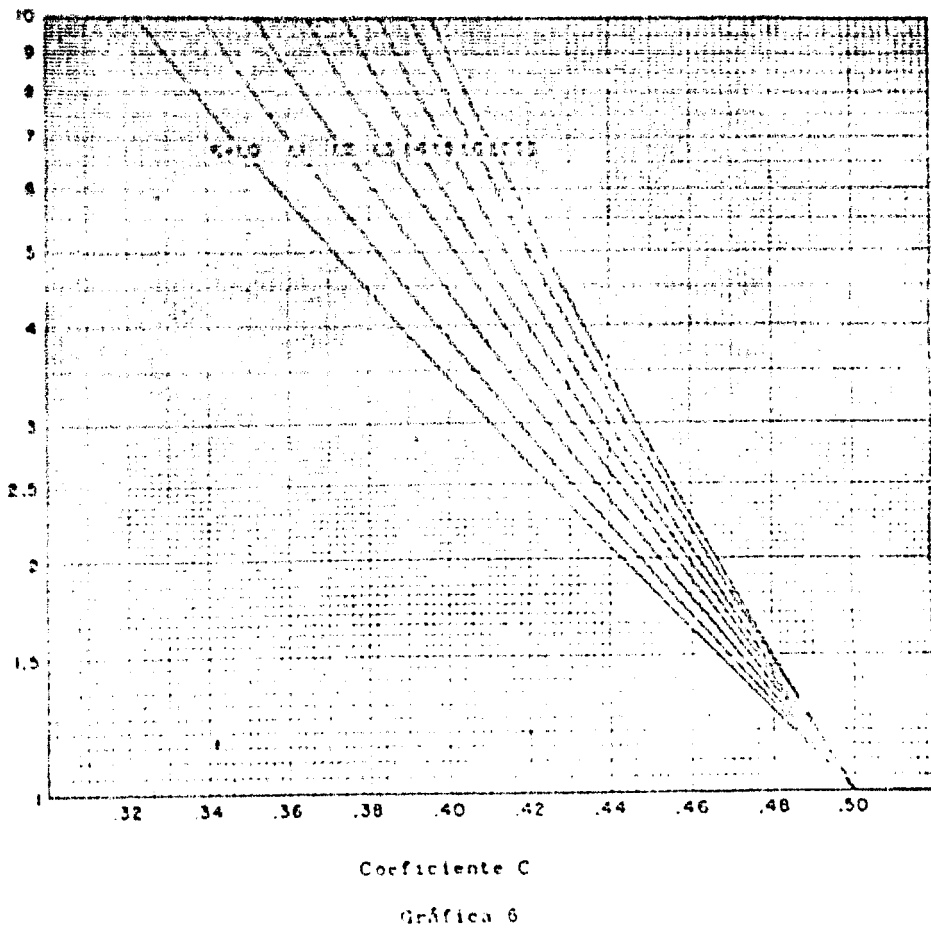
1.00
0.80
0.60
0.40
0.20
0.00

1.00
0.80
0.60
0.40
0.20
0.00

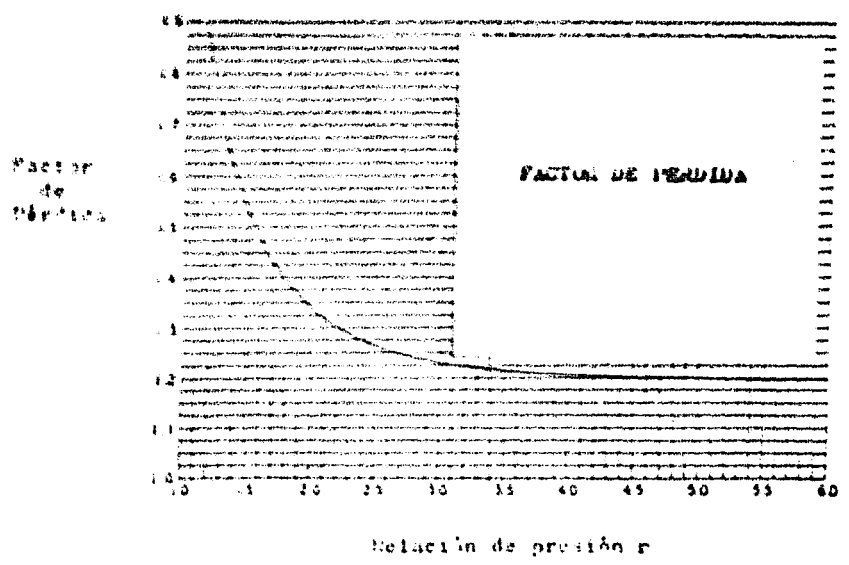


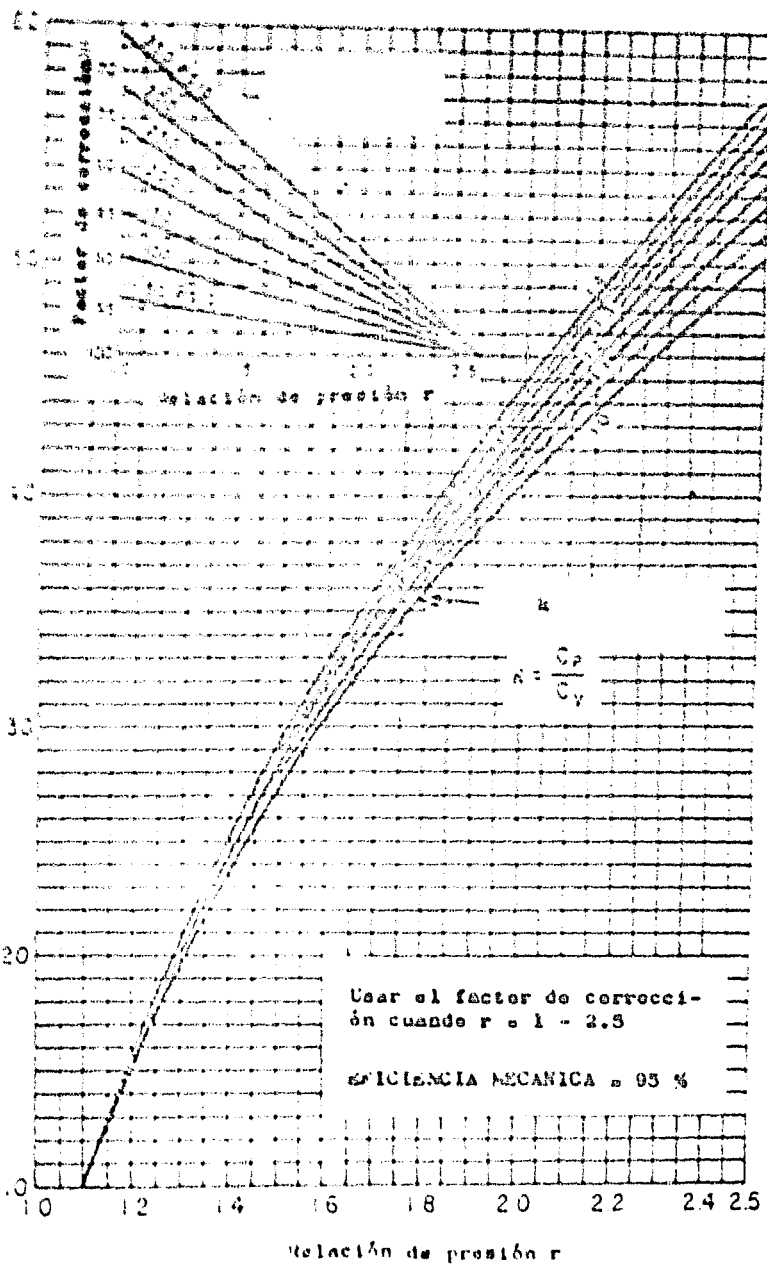
Gráfica 3

Indice de utilidad de

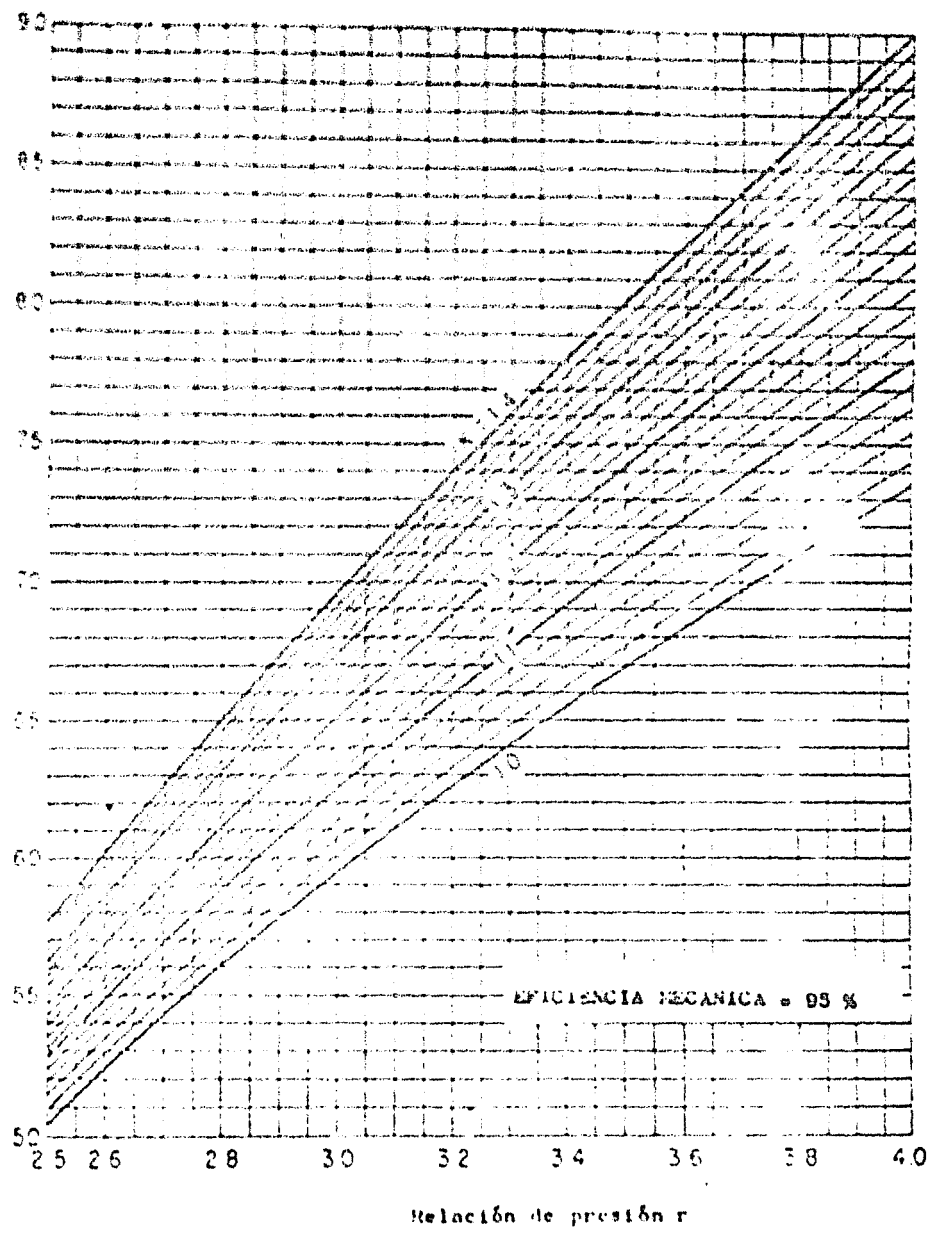


Gráfica 6



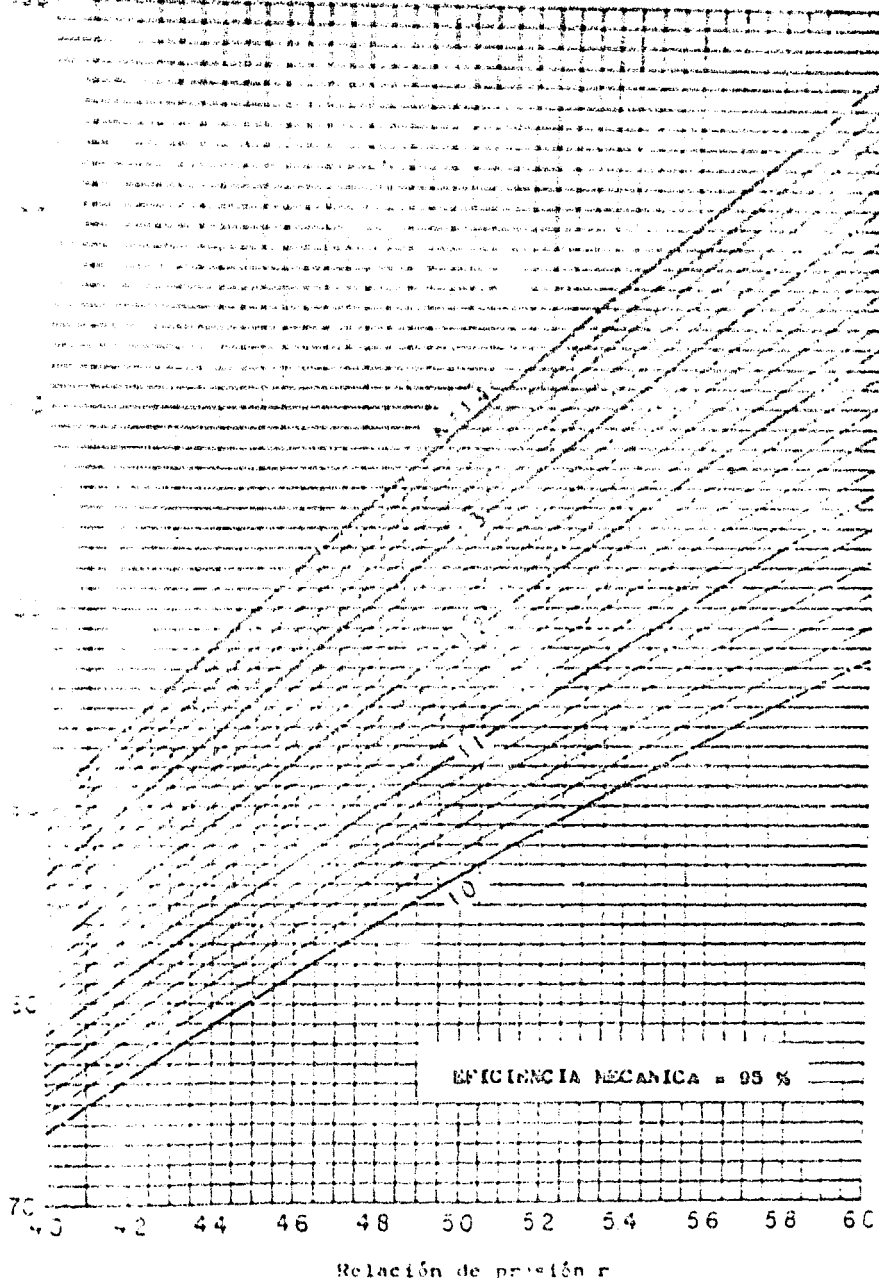


Gráfica 8-1



Gráfica 8-2

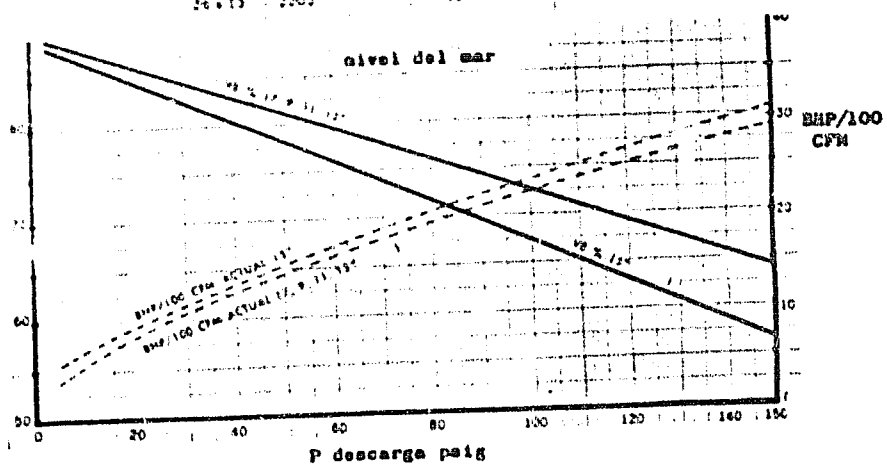
kg/m³



Gráfica 8-5

Table VI

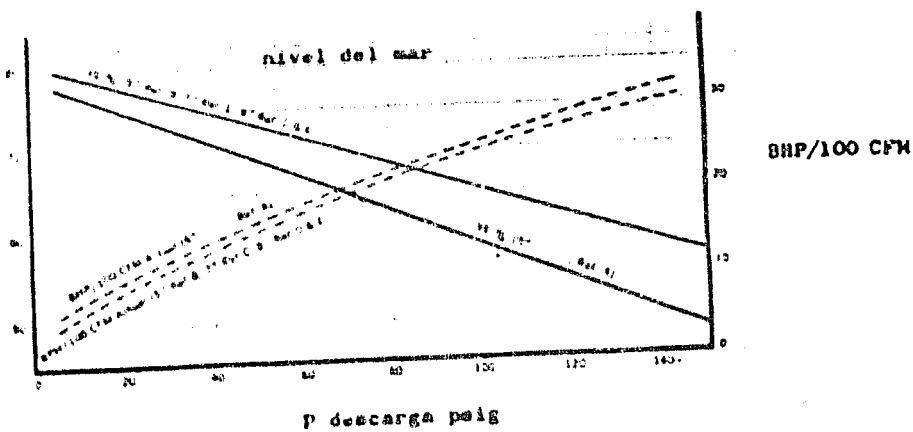
Dimensiones	Volumen cfm	Presión psig	P descarga psig	R.P.	Presión PTD transmisión
3 x 3	63	130	130	17	1800
4 x 3	69	130	130	18	1800
5 x 3	87	130	40	17	1800
6 x 3	121	130	40	19	1800
8 x 3	248	130	20	22	1800
8 x 3	100	130	130	20	1800
10 x 3	108	130	130	20	1800
9 x 3	130	870	40	19	1800
12 x 3	293	130	20	21	1800
12 x 3	638	130	20	22	1800
9 x 3	168	130	130	30	1800
9 x 3	238	130	130	41	1800
12 x 3	390	130	130	46	1800
12 x 4	420	130	40	46	1800
12 x 3	478	130	30	60	1800
10 x 5	320	130	130	30	1800
12 x 5	460	130	130	34	1800
14 x 5	610	130	40	35	1800
12 x 5	730	130	40	35	1800
12 x 5	840	130	30	75	1800
15 x 5	1124	130	30	100	1800
20 x 5	1500	130	30	75	1800
12 x 13	502	130	130	170	1800
14 x 13	668	130	130	180	1800
17 x 13	1016	130	40	125	1800
18 x 13	1270	130	40	125	1800
22 x 13	1410	130	30	150	1800
33 x 13	1717	277	20	125	1800
36 x 13	2200	130	20	125	1800



Gráfica 9-1

Table VII

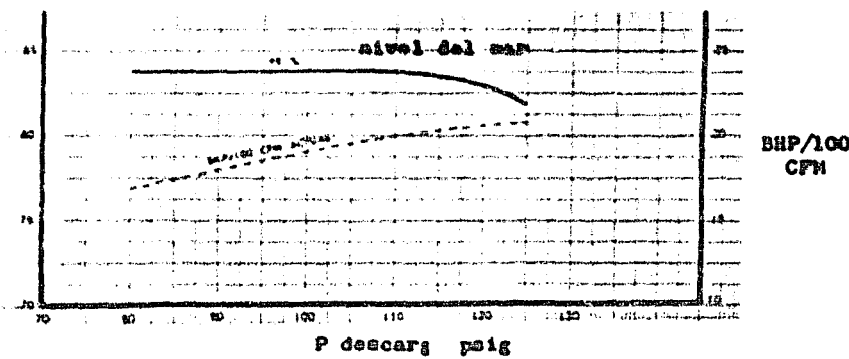
Dimensions	Ref	v _s	c _{fs}	P max		max rpm transmisible
				rpm	psig	
6x6		60		100	10	1800
6x8		60		100	15	1800
7x7	A	130	674	60	15	1800
8x8		130		60	20	1800
10x8		130		20	20	1800
6x4.5		4		100	20	1800
7x4.5		4		100	20	1800
7x6.5		4		100	20	1800
8x6.5		4		100	20	1800
10x6.5		4		100	20	1800
12x6.5		4		100	20	1800
8x7		300		133	30	1800
9x7	B	300	914	110	40	1800
9x7	C	300	914	100	40	1800
9x7		300	914	100	40	1800
12x7		300	914	100	40	1800
10x6.5		34.2		125	50	1800
12x6.5	D	34.2	450	100	70	1800
14x6.5		34.2	450	60	70	1800
12x9.5		60.7	450	125	70	1800
14x9.5	E	60.7	450	100	100	1800



Gráfica 9-2

Tabla VIII

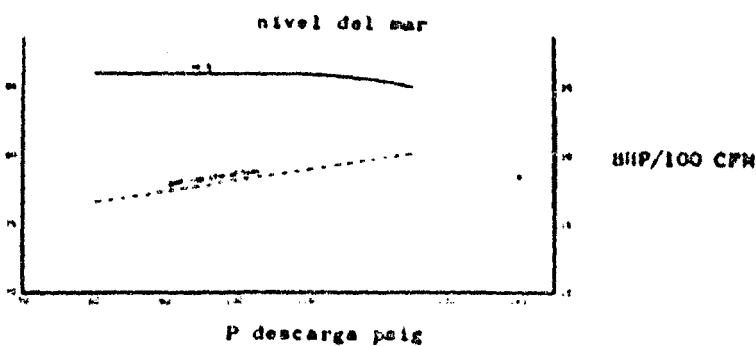
Dimensiones	Vd cfs	Fpm	EP
134.87 x 7	479	621	79
138.81 x 7	460	600	100
141.34 x 7	479	600	125
146.20 x 7	473	600	150
151.04 x 8.5	331	514	200
201.13 x 8.5	1062	514	250



Gráfica 9-3

Tabla IX

Dimensiones	ρ_{gas}	Vd	MP
21.13	1.0	111	311
22.14	1.0	111	311
24.13	1.0	111	311
28.12	1.0	111	300
30.13.18.2	1.0	111	300
34.13.21	1.0	111	300
34.17	1.0	111	311
42.17.21	1.0	111	311
32.17.21	1.0	111	311
32.17.21	1.0	111	311
34.17.21	1.0	111	311
36.17.21	1.0	111	311
38.17.21	1.0	111	311
39.17.21	1.0	111	311
39.17.21	1.0	111	311

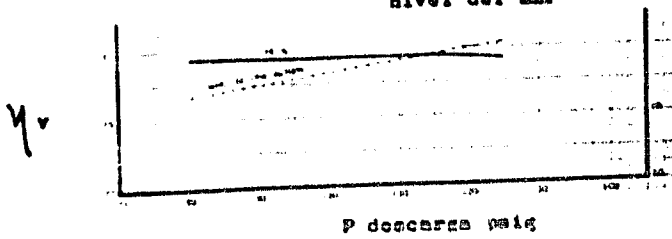


Gráfica 9-4

Tabla I

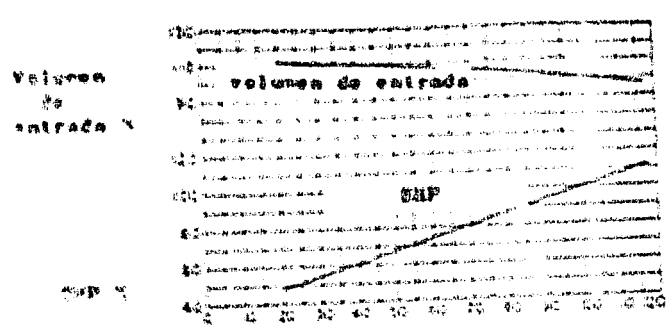
Dimensiones	Vd cfa ft3	SPG ft3/s	NP
22x17x3 1/2	3 1/2	3333	300
23x17x3 1/2	3 1/2	3444	350
24x17x3 1/2	3 1/2	3444	400
26x16	4	3444	500
23x15 1/2	3 1/2	4444	600
24x15 1/2	4	5444	800
24x15 1/2	4	6444	1000
23x15 1/2	4	6444	1200
23x15 1/2	4	6444	1400
24x15 1/2	4	7444	1600
24x15 1/2	4	8444	1800
24x15 1/2	4	9444	2000
24x15 1/2	4	10444	2200
24x15 1/2	4	11444	2400
24x15 1/2	4	12444	2600
24x15 1/2	4	13444	2800
24x15 1/2	4	14444	3000
24x15 1/2	4	15444	3200
24x15 1/2	4	16444	3400
24x15 1/2	4	17444	3600
24x15 1/2	4	18444	3800
24x15 1/2	4	19444	4000
24x15 1/2	4	20444	4200
24x15 1/2	4	21444	4400
24x15 1/2	4	22444	4600
24x15 1/2	4	23444	4800
24x15 1/2	4	24444	5000
24x15 1/2	4	25444	5200
24x15 1/2	4	26444	5400
24x15 1/2	4	27444	5600
24x15 1/2	4	28444	5800
24x15 1/2	4	29444	6000
24x15 1/2	4	30444	6200
24x15 1/2	4	31444	6400
24x15 1/2	4	32444	6600
24x15 1/2	4	33444	6800
24x15 1/2	4	34444	7000
24x15 1/2	4	35444	7200
24x15 1/2	4	36444	7400
24x15 1/2	4	37444	7600
24x15 1/2	4	38444	7800
24x15 1/2	4	39444	8000
24x15 1/2	4	40444	8200
24x15 1/2	4	41444	8400
24x15 1/2	4	42444	8600
24x15 1/2	4	43444	8800
24x15 1/2	4	44444	9000
24x15 1/2	4	45444	9200
24x15 1/2	4	46444	9400
24x15 1/2	4	47444	9600
24x15 1/2	4	48444	9800
24x15 1/2	4	49444	10000
24x15 1/2	4	50444	10200
24x15 1/2	4	51444	10400
24x15 1/2	4	52444	10600
24x15 1/2	4	53444	10800
24x15 1/2	4	54444	11000
24x15 1/2	4	55444	11200
24x15 1/2	4	56444	11400
24x15 1/2	4	57444	11600
24x15 1/2	4	58444	11800
24x15 1/2	4	59444	12000
24x15 1/2	4	60444	12200
24x15 1/2	4	61444	12400
24x15 1/2	4	62444	12600
24x15 1/2	4	63444	12800
24x15 1/2	4	64444	13000
24x15 1/2	4	65444	13200
24x15 1/2	4	66444	13400
24x15 1/2	4	67444	13600
24x15 1/2	4	68444	13800
24x15 1/2	4	69444	14000
24x15 1/2	4	70444	14200
24x15 1/2	4	71444	14400
24x15 1/2	4	72444	14600
24x15 1/2	4	73444	14800
24x15 1/2	4	74444	15000
24x15 1/2	4	75444	15200
24x15 1/2	4	76444	15400
24x15 1/2	4	77444	15600
24x15 1/2	4	78444	15800
24x15 1/2	4	79444	16000
24x15 1/2	4	80444	16200
24x15 1/2	4	81444	16400
24x15 1/2	4	82444	16600
24x15 1/2	4	83444	16800
24x15 1/2	4	84444	17000
24x15 1/2	4	85444	17200
24x15 1/2	4	86444	17400
24x15 1/2	4	87444	17600
24x15 1/2	4	88444	17800
24x15 1/2	4	89444	18000
24x15 1/2	4	90444	18200
24x15 1/2	4	91444	18400
24x15 1/2	4	92444	18600
24x15 1/2	4	93444	18800
24x15 1/2	4	94444	19000
24x15 1/2	4	95444	19200
24x15 1/2	4	96444	19400
24x15 1/2	4	97444	19600
24x15 1/2	4	98444	19800
24x15 1/2	4	99444	20000
24x15 1/2	4	100444	20200

nivel del mar



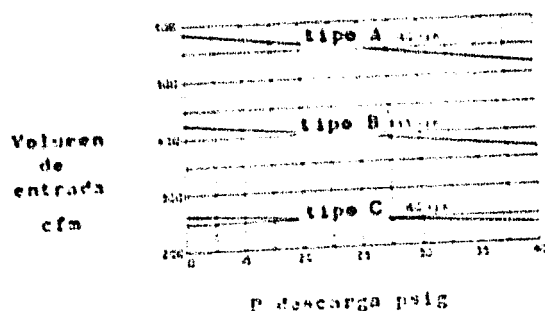
mm'/100 CFM

Gráfica 9-5



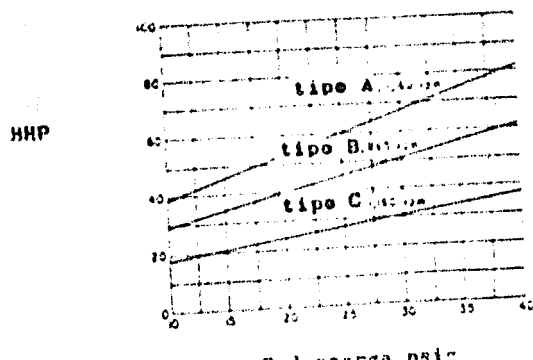
Curva de presión H

Gráfica 10



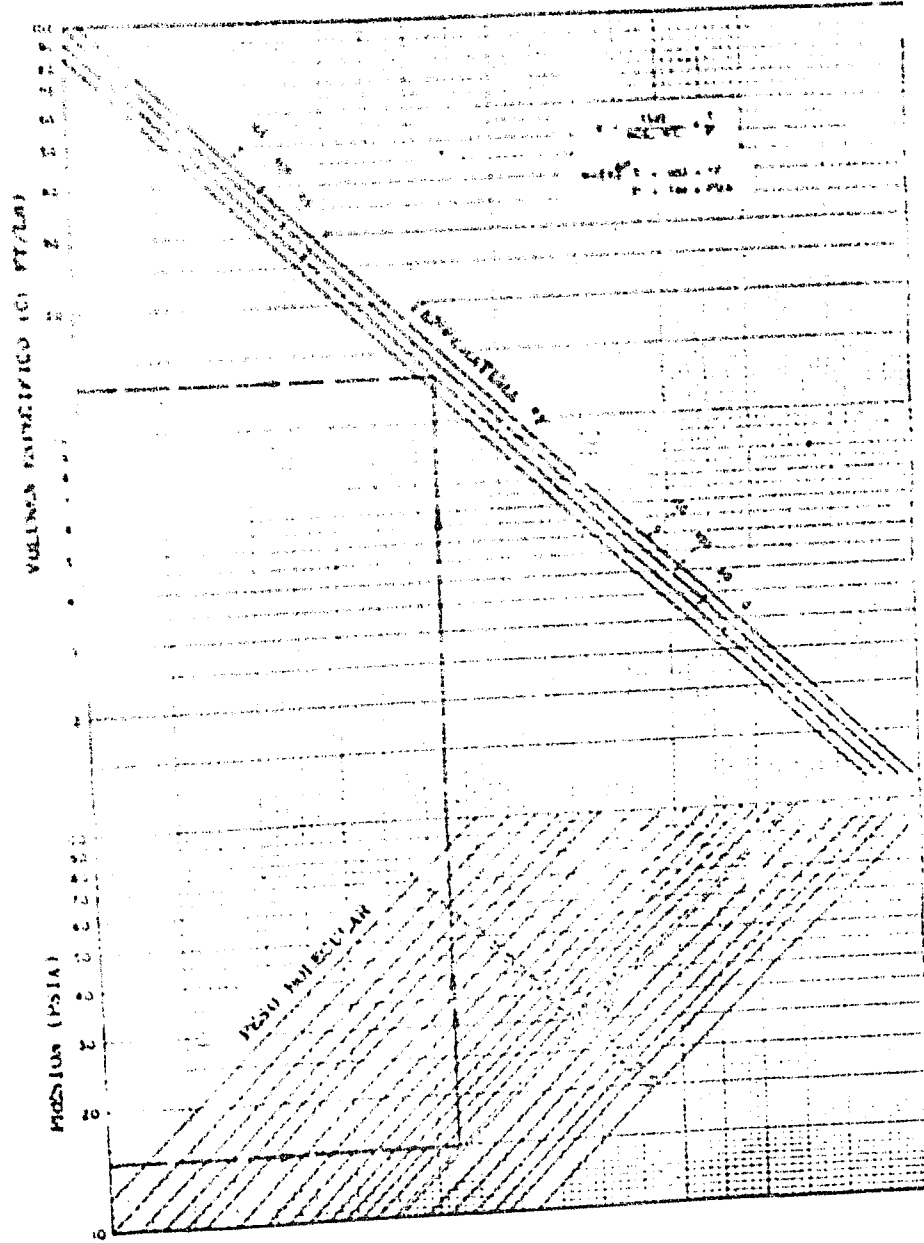
p descarga psig

Gráfica 11-1

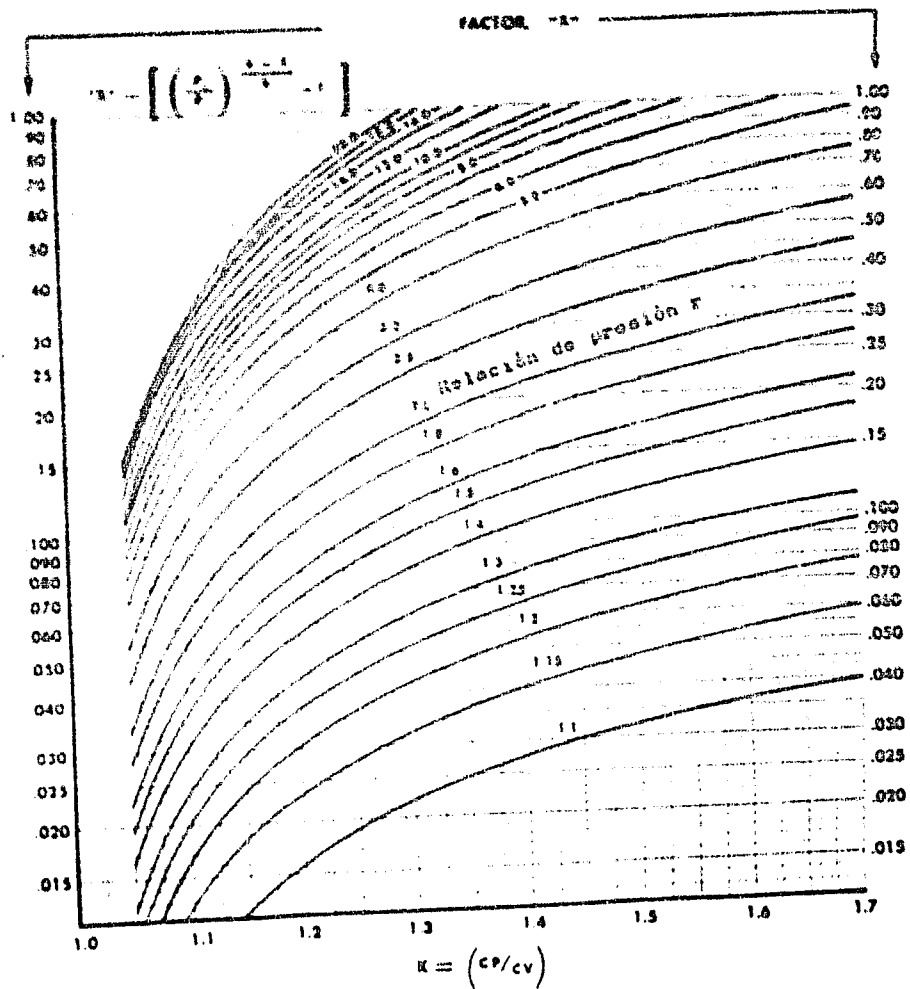


p descarga psig

Gráfica 11-2



Gráfica 12



Gráfica 16

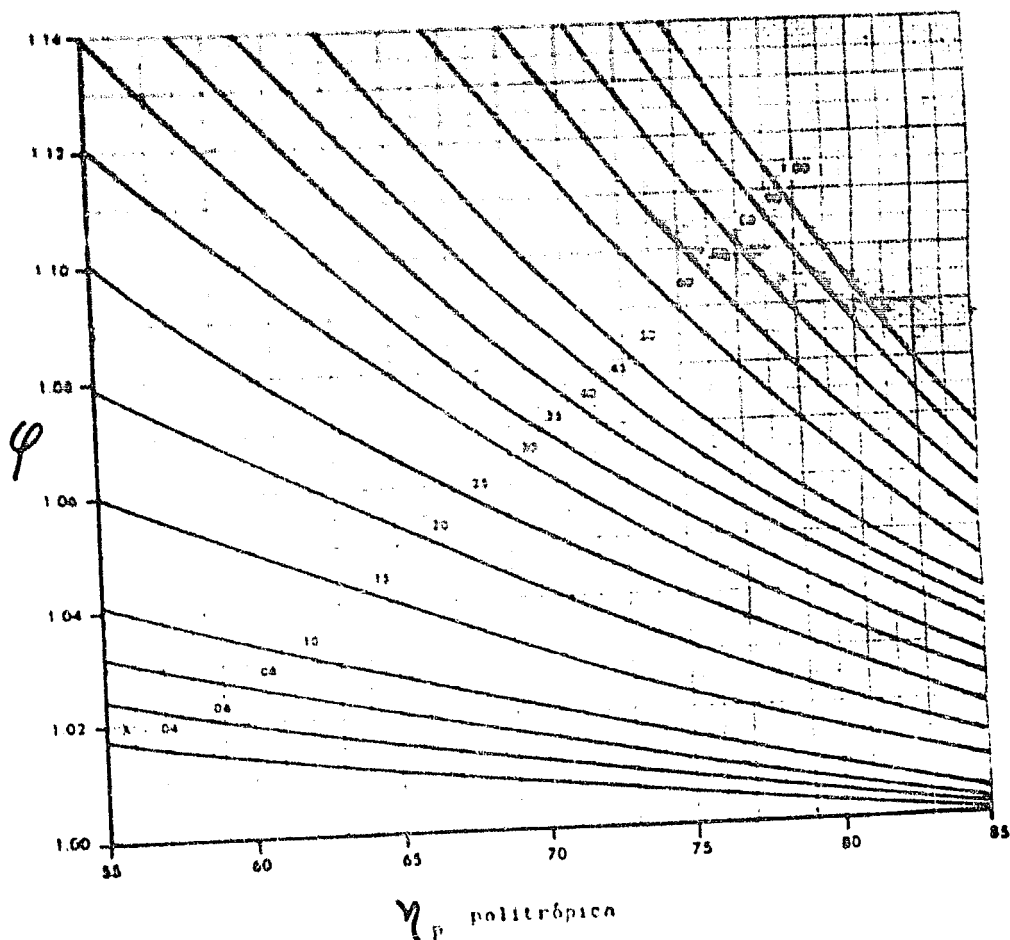
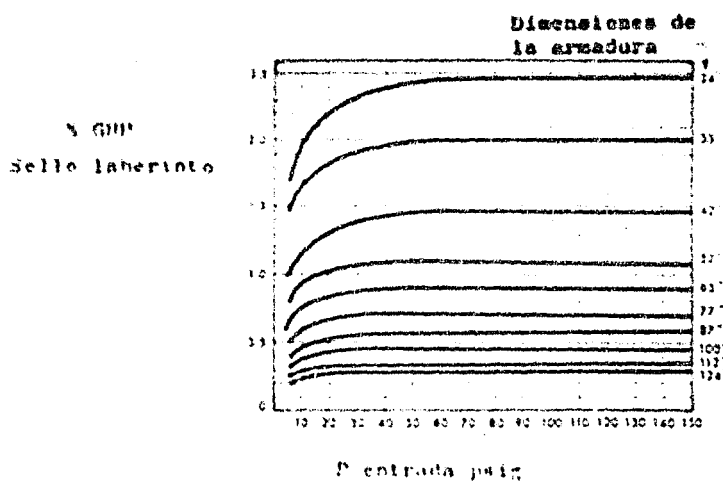
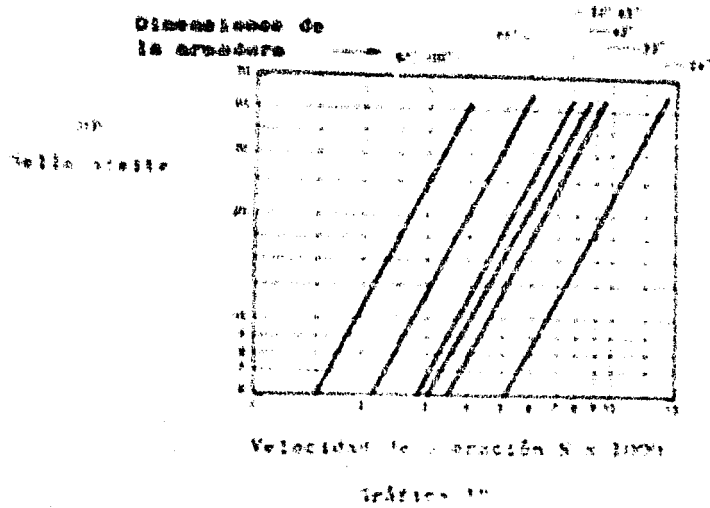
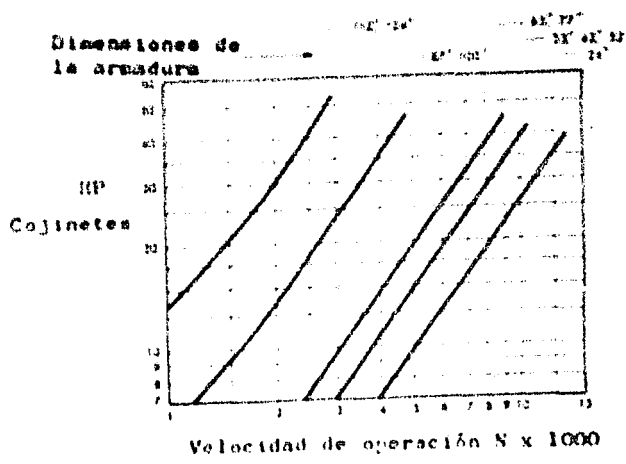
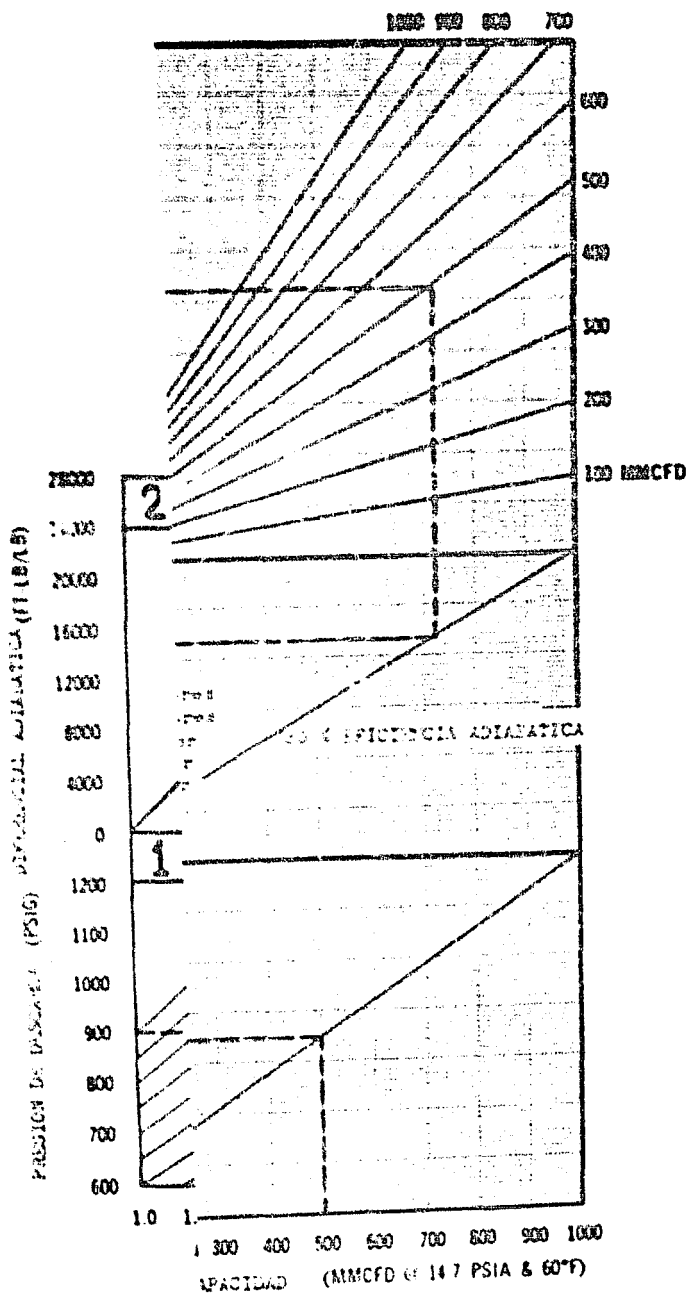


Gráfico 17

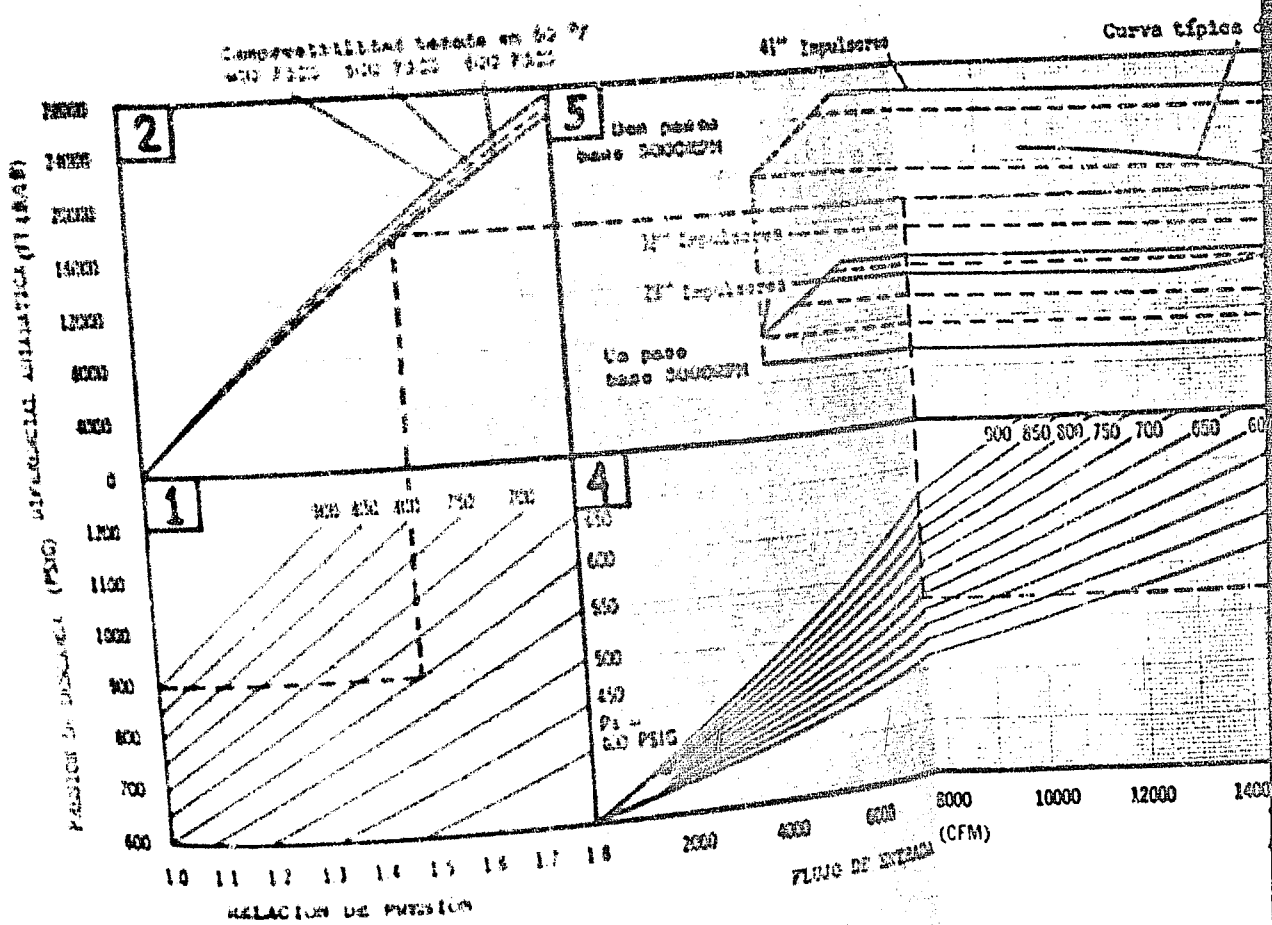




Gráfica 20



ESQUEMA 3



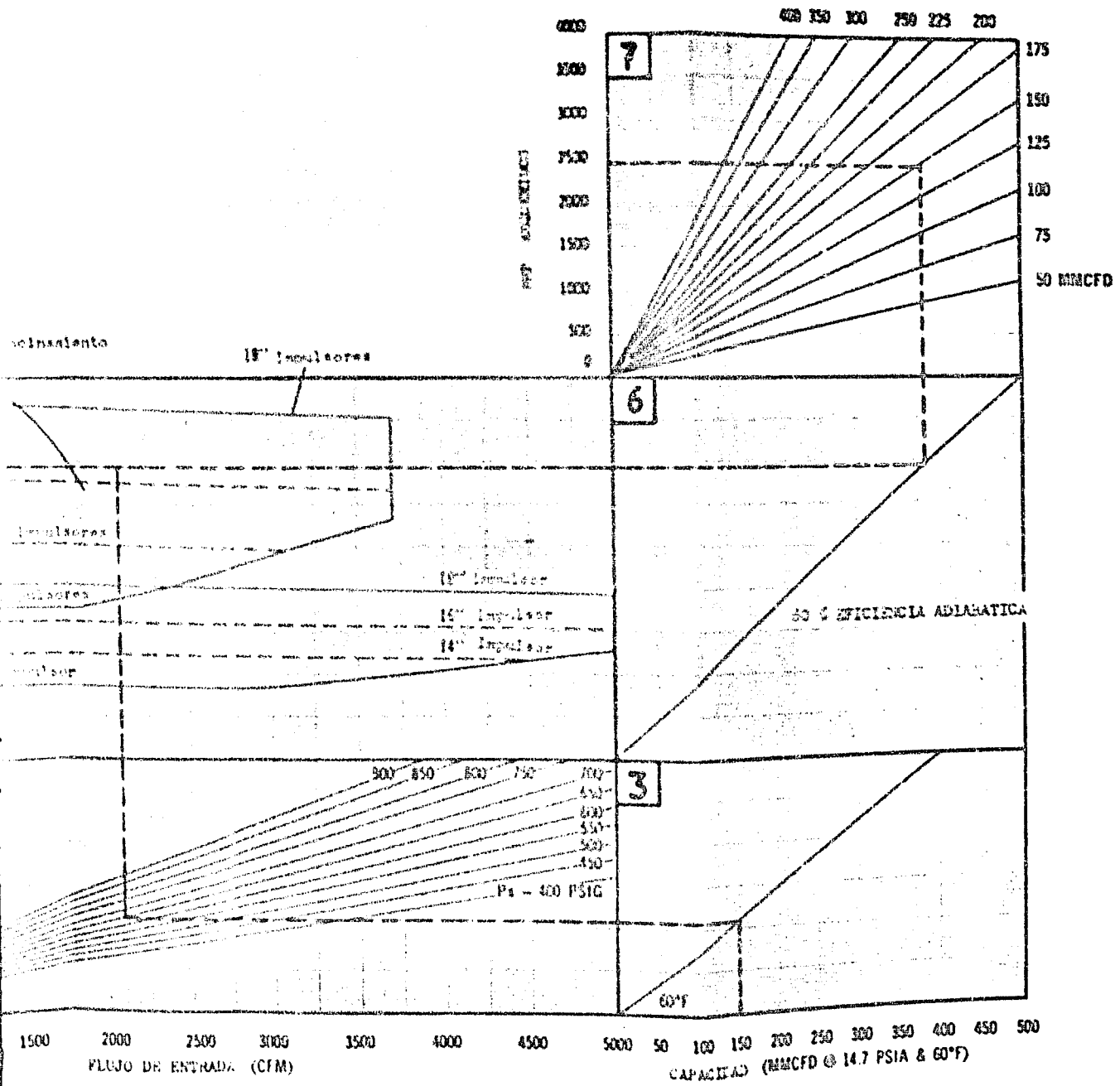


Table II

Constantes de algunas substancias

	n	P_0 pato	P_0 estn	$T_0 \cdot 10^2$	$T_0 \cdot 10^3$	$B \cdot 10^{-6} \text{°C}$ 1 atm
stibogena	S_2	1.016	188	12.6	60.3	33.3 1.410
oxygeno	O_2	31.600	720	49.7	270.3	154.4 1.403
nitrogeno	N_2	31.716	632	33.5	227.3	125.2 1.401
argon	A	19.964	708	46.0	272.0	161.3 1.397
cloro	Cl	70.914	1120	78.1	720.0	617.1 1.390
flor	F_2	16.015	2200	218.3	1165.0	667.6 1.340
azoto	N_2O	26.900	567	37.5	220.7	132.1 1.410
aire						
ammonia	NH_3	17.322	1622	111.3	751.0	403.6 1.310
cloruro de aluminio	$AlCl_3$	24.465	1375	61.5	563.1	320.6 1.400
nitroblasto de carbono	CO	28.570	508	34.5	282.1	133.1 1.402
nitroblasto de carbono	CO_2	44.010	1073	72.0	260.1	304.2 1.301
nitroblasto de carbono	NO_2	44.07	1102	77.5	273.1	630.7 1.350
sulfuro de zinc	ZnS	26.076	1305	89.0	673.7	376.1 1.323
sulfuro de zinc	ZnS					
nitrobenzo	$C_6H_5NO_2$	15.052	673.1	49.5	243.0	160.7 1.310
benzene	C_6H_6	25.000	126.2	46.2	260.1	237.1 1.192
propano	C_3H_8	44.000	417.6	42.0	460.5	270.1 1.439
butano	C_4H_{10}	50.120	501.7	37.5	760.0	420.0 1.093
isobutano	C_4H_{10}	50.120	520.1	34.0	730.0	400.0 1.19
pentano	C_5H_{12}	72.146	471.0	31.5	265.0	370.2 1.073
hexano	C_6H_{14}	72.146	473.0	33.5	200.0	402.1 1.076
heptano	C_7H_{16}	86.171	458.7	29.5	814.0	538.0 1.062
octano	C_8H_{18}	100.196	394.3	26.5	972.0	561.1 1.063
nonano	C_9H_{20}	116.221	762.1	22.5	620.0	283.1 1.063
decano	$C_{10}H_{22}$	131.246	667.0	20.5	457.0	348.0 1.064
heptadecano	$C_{17}H_{36}$	240.000	1028.0	62.5	600.0	500.0 1.238
octadecano	$C_{18}H_{38}$	260.000	714.0	48.0	1910.0	382.0 1.120
nonadecano	$C_{19}H_{40}$	280.000	968.0	52.5	750.0	410.0 1.100
icosano	$C_{20}H_{42}$	300.000	1068.0	52.5		
icosano de acetileno	$C_{20}H_{42}$					

Tabla XII

Altitudes y presiones atmosféricas

Alto	Altitud	Otro	Pulgadas Hg	mm Hg	Pres.	kg/cm^2
-300		-133	30.47	773.9	14.96	1.032
0		0	29.92	760.0	14.693	1.033
300		133	29.38	746.3	14.43	1.015
600		266	28.86	733.0	14.16	0.996
900		438	28.33	719.6	13.91	0.976
1200		610	27.82	706.0	13.66	0.950
1500		783	27.32	693.0	13.41	0.943
1800		913	26.82	681.2	13.17	0.926
2100		1068	26.33	669.6	12.93	0.909
2400		1230	25.84	658.3	12.69	0.892
2700		1373	25.37	647.4	12.46	0.876
3000	0.93	1520	24.90	636.5	12.23	0.860
4000	1.1	1831	23.62	607.3	11.75	0.828
5000	1.3	2136	23.10	588.7	11.36	0.797
6000	1.5	2441	22.63	566.6	10.91	0.767
7000	1.7	2746	21.30	543.3	10.50	0.738
8000	1.9	3050	20.36	522.7	10.10	0.710
10000	2.8	4377	16.89	429.0	9.29	0.583
20000	3.8	6102	13.76	349.5	6.75	0.478
25000	4.7	7628	11.12	282.4	5.48	0.384
30000	5.7	9153	8.903	226.1	4.37	0.307
35000	6.6	10678	7.050	179.5	3.47	0.244
40000	7.6	12204	5.558	141.2	2.73	0.192
45000	8.5	13730	4.375	111.1	2.18	0.151
50000	9.3	15255	3.464	87.8	1.69	0.110
55000	10.4	16781	2.712	68.0	1.33	0.0935
60000	11.4	18306	2.135	54.2	1.03	0.0738
70000	13.3	21357	1.325	33.7	0.65	0.0456

Table XIII

Postures de R

$\frac{R}{n}$	$\frac{1}{n}$	$\frac{n}{n-1}$	$\frac{n-1}{n}$	$\frac{n-1}{2n-1}$	$\frac{2n-1}{n}$
1.02	0.980	21.000	0.019	0.019	1.019
1.04	0.961	24.000	0.038	0.017	1.038
1.06	0.942	27.660	0.056	0.023	1.056
1.08	0.923	31.500	0.074	0.029	1.074
1.10	0.903	35.000	0.090	0.033	1.090
1.12	0.882	38.330	0.107	0.036	1.107
1.14	0.861	41.422	0.123	0.109	1.122
1.16	0.842	44.260	0.137	0.131	1.137
1.18	0.822	46.800	0.151	0.132	1.152
1.20	0.803	49.080	0.166	0.162	1.166
1.22	0.784	51.000	0.180	0.152	1.180
1.24	0.764	52.640	0.193	0.162	1.193
1.26	0.744	54.000	0.206	0.171	1.206
1.28	0.724	54.940	0.216	0.179	1.216
1.30	0.703	55.560	0.229	0.187	1.230
1.32	0.682	56.000	0.243	0.193	1.243
1.34	0.661	56.240	0.253	0.202	1.253
1.36	0.641	56.277	0.266	0.209	1.264
1.38	0.620	56.100	0.273	0.215	1.275
1.40	0.600	55.790	0.285	0.222	1.285
1.42	0.579	55.300	0.295	0.228	1.295
1.44	0.558	54.670	0.303	0.236	1.303
1.46	0.537	53.920	0.313	0.239	1.313
1.48	0.516	53.040	0.324	0.244	1.324
1.50	0.495	51.900	0.333	0.250	1.333
1.52	0.473	50.530	0.342	0.254	1.342
1.54	0.452	49.030	0.350	0.259	1.350
1.56	0.431	47.400	0.358	0.264	1.359
1.58	0.410	45.640	0.367	0.269	1.367
1.60	0.389	43.750	0.375	0.272	1.375
1.62	0.368	41.740	0.382	0.276	1.382
1.64	0.347	39.600	0.390	0.280	1.390
1.66	0.326	37.330	0.397	0.284	1.397
1.68	0.305	34.930	0.404	0.288	1.404
1.70	0.284	32.400	0.411	0.291	1.411
1.72	0.263	29.740	0.418	0.293	1.418
1.74	0.242	26.940	0.425	0.296	1.425
1.76	0.221	23.990	0.431	0.301	1.431
1.78	0.200	20.900	0.438	0.304	1.438
1.80	0.179	17.770	0.444	0.307	1.446
1.82	0.158	14.500	0.450	0.310	1.450
1.84	0.137	11.100	0.456	0.313	1.456
1.86	0.116	7.560	0.462	0.316	1.462
1.88	0.095	3.900	0.468	0.318	1.466
1.90	0.074	-0.111	0.473	0.321	1.473
1.92	0.053	-2.088	0.479	0.323	1.479
1.94	0.032	-4.063	0.484	0.326	1.484
1.96	0.011	-6.041	0.489	0.328	1.489
1.98	-0.003	-8.020	0.494	0.331	1.494
2.00	0.500	-2.000	0.500	0.333	1.500

Table XIV

NAME	ADDRESS	PHONE NUMBER	TYPE OF BUSINESS	DESCRIPTION
John Doe	123 Main Street	555-1234	General Merchandise	Small grocery store selling various household items.
Jane Smith	456 Elm Street	555-2345	Food Service	Local restaurant serving breakfast, lunch, and dinner.
Mike Johnson	789 Oak Street	555-3456	Automotive Repair	Mechanic specializing in car repairs and maintenance.
Sarah Williams	210 Pine Street	555-4567	Healthcare	Nursing home providing long-term care for elderly residents.
David Brown	321 Cedar Street	555-5678	Construction	General contractor involved in residential building projects.
Emily Davis	546 Maple Street	555-6789	Retail	Department store offering clothing, shoes, and accessories.
Frank White	765 Birch Street	555-7890	Manufacturing	Factory producing electronic components for various industries.
Gwen Lee	987 Spruce Street	555-8901	Transportation	Delivery service for packages and goods.
Howard Green	101 Chestnut Street	555-9876	Finance	Bank branch offering banking services to local community.
Irene Taylor	202 Hickory Street	555-0987	Real Estate	Realty agent managing property rentals and sales.
James Parker	303 Locust Street	555-1023	Manufacturing	Factory producing pharmaceuticals and medical supplies.
Karen Clark	404 Locust Street	555-2103	Food Service	Local cafe serving coffee, tea, and light meals.
Laura Jones	505 Locust Street	555-3210	Retail	Clothing store specializing in women's apparel.
Marcus Wilson	606 Locust Street	555-4321	Automotive Repair	Mechanic working on vehicles for local drivers.
Nancy Miller	707 Locust Street	555-5432	Food Service	Local eatery serving breakfast and lunch.
Oscar Lewis	808 Locust Street	555-6543	Manufacturing	Factory producing steel products for construction.
Peter Jackson	909 Locust Street	555-7654	Transportation	Trucking company transporting goods across the state.
Quinton Williams	1010 Locust Street	555-8765	Retail	Large supermarket chain with multiple locations.
Ronald Thompson	1111 Locust Street	555-9876	Automotive Repair	Mechanic providing maintenance services for cars.
Sophia Hayes	1212 Locust Street	555-0987	Food Service	Local sandwich shop serving fresh ingredients.
Thomas Green	1313 Locust Street	555-1023	Manufacturing	Factory producing electronic components for computers.
Ursula Parker	1414 Locust Street	555-2103	Food Service	Local diner serving breakfast, lunch, and dinner.
Vincent Wilson	1515 Locust Street	555-3210	Retail	Clothing store specializing in men's apparel.
Wendy Clark	1616 Locust Street	555-4321	Automotive Repair	Mechanic working on vehicles for local drivers.
Xavier Lewis	1717 Locust Street	555-5432	Food Service	Local eatery serving breakfast and lunch.
Yvonne Miller	1818 Locust Street	555-6543	Manufacturing	Factory producing steel products for construction.
Zachary Jackson	1919 Locust Street	555-7654	Transportation	Trucking company transporting goods across the state.

Table XV

	PULSE FREQUENCY		PULSE LENGTH		PULSE AMPLITUDE	
50	1.1	2.6	2.1	3.6	0.5	0.6
60	0.7	2.0	1.6	3.1	0.5	0.6
70	0.6	1.7	1.3	2.8	0.5	0.6
80	0.5	1.4	1.1	2.5	0.5	0.6
90	0.4	1.2	0.9	2.3	0.5	0.6
100	0.3	1.0	0.8	2.1	0.5	0.6
110	0.2	0.9	0.7	2.0	0.5	0.6
120	0.2	0.8	0.6	1.9	0.5	0.6
130	0.1	0.7	0.5	1.8	0.5	0.6
140	0.1	0.6	0.5	1.7	0.5	0.6
150	0.1	0.5	0.5	1.6	0.5	0.6
160	0.1	0.5	0.5	1.5	0.5	0.6
170	0.1	0.5	0.5	1.4	0.5	0.6
180	0.1	0.5	0.5	1.3	0.5	0.6
190	0.1	0.5	0.5	1.2	0.5	0.6
200	0.1	0.5	0.5	1.1	0.5	0.6
210	0.1	0.5	0.5	1.0	0.5	0.6
220	0.1	0.5	0.5	0.9	0.5	0.6
230	0.1	0.5	0.5	0.8	0.5	0.6
240	0.1	0.5	0.5	0.7	0.5	0.6
250	0.1	0.5	0.5	0.6	0.5	0.6
260	0.1	0.5	0.5	0.5	0.5	0.6
270	0.1	0.5	0.5	0.4	0.5	0.6
280	0.1	0.5	0.5	0.3	0.5	0.6
290	0.1	0.5	0.5	0.2	0.5	0.6
300	0.1	0.5	0.5	0.1	0.5	0.6